

Lávka pro pěší přes kolejiště nádrazí v Chebu

Základní korozní průzkum



Číslo zakázky: 18-B-079
Praha, červenec 2018

Vypracoval:

JEKU s.r.o.
Limuzská 8, 100 00
Praha 10 – Strašnice
+272 011 090, JEKU@JEKU.CZ

*Ing. Bohumil Kučera
Ing. Stanislav Novák
Pavel Ježek
Radek Dustor*

Rozsah zprávy:

Celkem 71 stran

výkresová část: schéma orientace bludných proudů

Rozdělovník:

4 výtisky MĚSTO CHEB, náměstí Krále Jiřího z Poděbrad 14, 350 20 Cheb

1 výtisk JEKU s.r.o., Limuzská 8, 100 00 Praha 10 – Strašnice

Obsah:

1.	Úvod.....	3
2.	Podmínky měření	3
3.	Použité přístroje.....	9
4.	Metodika měření a vyhodnocování	10
5.	Stanovení stupně ochranných opatření proti škodlivým vlivům bludných proudů pro železobetonovou stavbu	12
6.	Měření směsného potenciálu U_z	13
7.	Hodnocení výsledků měření ve vztahu ke zpracování projektové dokumentaci stavby.....	15

Seznam výkresů:

1. Situace, umístění bodu M1, M2, M3, M4 a M5

Seznam tabulek:

1. Záznam údajů ΔU , stanoviště M1, měření po 5
2. Záznam údajů ΔU , stanoviště M2, měření po 5
3. Záznam údajů ΔU , stanoviště M3, měření po 5
4. Záznam údajů ΔU , stanoviště M4, měření po 5
5. Záznam údajů ΔU , stanoviště M5, měření po 5
6. Zdánlivý měrný odpor půdy v místech M1 až M5
7. Výpočet pole bludných proudů v bodě M1 až M5
8. Průběh směsného potenciálu

1. Úvod

Na základě objednávky Městského úřadu Cheb, provedla firma JEKU s.r.o. elektrická a geofyzikální měření pro zjištění přítomnosti stejnosměrných bludných proudů v místě budoucí výstavby nové lávky pro pěší vedoucí přes kolejiště vlakového nádraží v Chebu. Tento základní korozní průzkum provedený ve smyslu ČSN 03 8372 a norem souvisejících je jedním z podkladů pro návrh projektové dokumentace stavby z hlediska ochrany nelineových zařízení uložených v zemi proti korozním účinkům bludných proudů. Výsledky základního korozního průzkumu jsou vyhodnoceny z hlediska ochrany železobetonové stavby proti účinkům bludných proudů.

Jednotlivá měření a vyhodnocení byla provedena dle metodiky odpovídající ČSN 03 8363, ČSN 03 8365 a ČSN 03 8372. Základní korozní průzkum byl proveden v rozsahu pěti měřených bodů v místě plánované výstavby lávky. Umístění měřených bodů bylo zvoleno s ohledem na uspořádání terénu a celkové rozložení budoucí stavby. Zpracovatel na základě dispozičního upořádání budoucí stavby volil měření v pěti bodech tak, aby bylo možno pomocí výpočtů s dostatečnou přesností stanovit stupně agresivity prostředí dle následující specifikace:

- 1.1. Stanovení zdánlivého měrného odporu půdy Wennerovou metodou dle ČSN 03 8363.
- 1.2. Zjišťování napětového spádu ΔU , vždy na dvou kolmých dipólech a na třech stanovištích s technickou úpravou v návaznosti na ČSN 03 8365.
- 1.3. Vyhodnocení hustoty a směru bludných proudů s technickou úpravou v návaznosti na ČSN 03 8365.

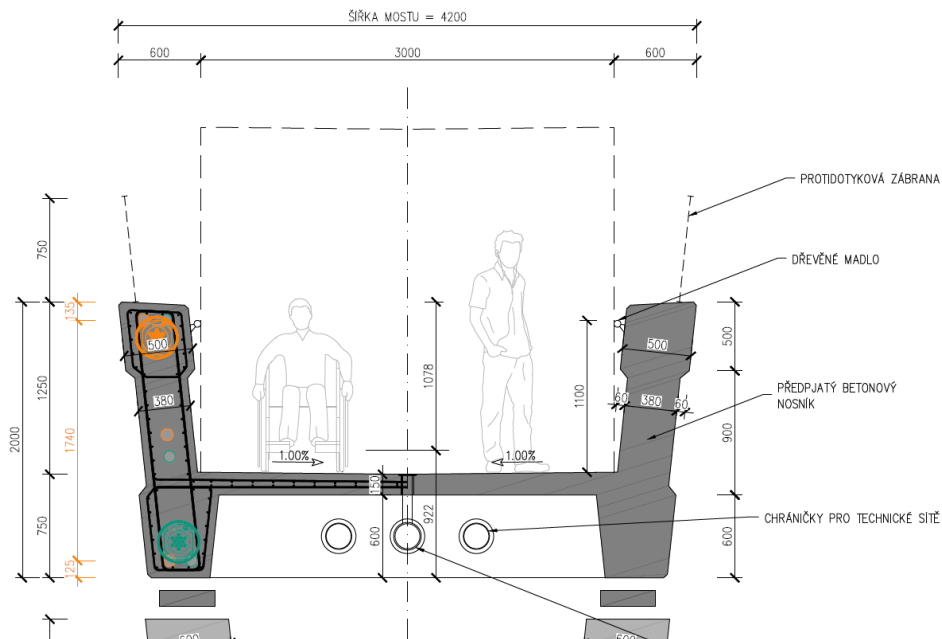
2. Podmínky měření

2.1. Místní podmínky, charakteristika posuzovaného objektu

2.1.1. Stavba objektu – předpokládaná podoba nové lávky pro pěší

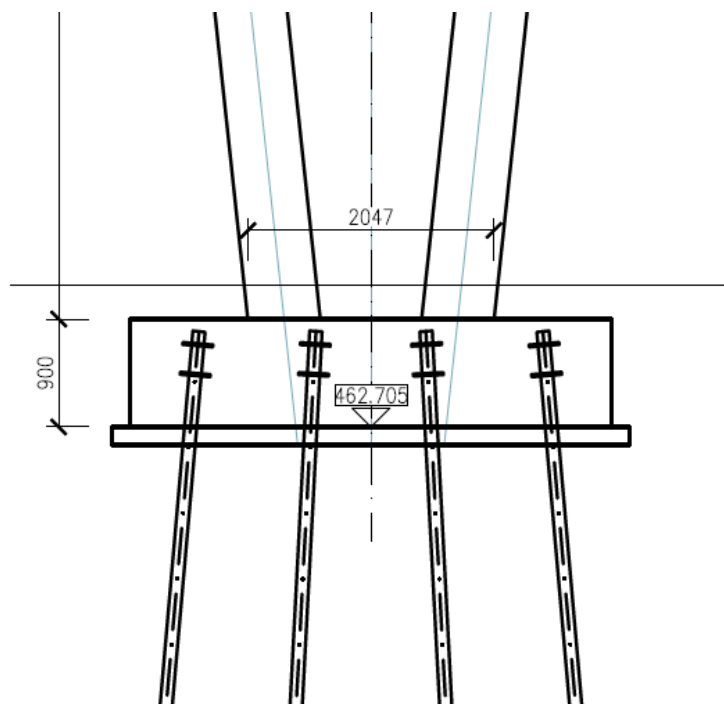
Pro hodnocení ZKP se uvádí základní informace o navrhované podobě lávky pro pěší – mostní stavby. Základní korozní průzkum je proveden v místě základů nové konstrukce.

Nosná konstrukce je tvořena **předpjatým železobetonovým nosníkem** šířky 3700 mm a výškou 2000 mm. Konstrukce lávky je v části zavěšena na ocelové pylony šest a sedm, pomocí nosných lan. Celková délka nosné konstrukce je **398 m**. Na NK jsou umístěny, v místech nad troleji SŽDC, **protidotykové zábrany délky 77 a 85 m**. Pod nosnou konstrukcí jsou umístěny chráničky pro **cizí (blíže nespecifikované) inženýrské sítě**.

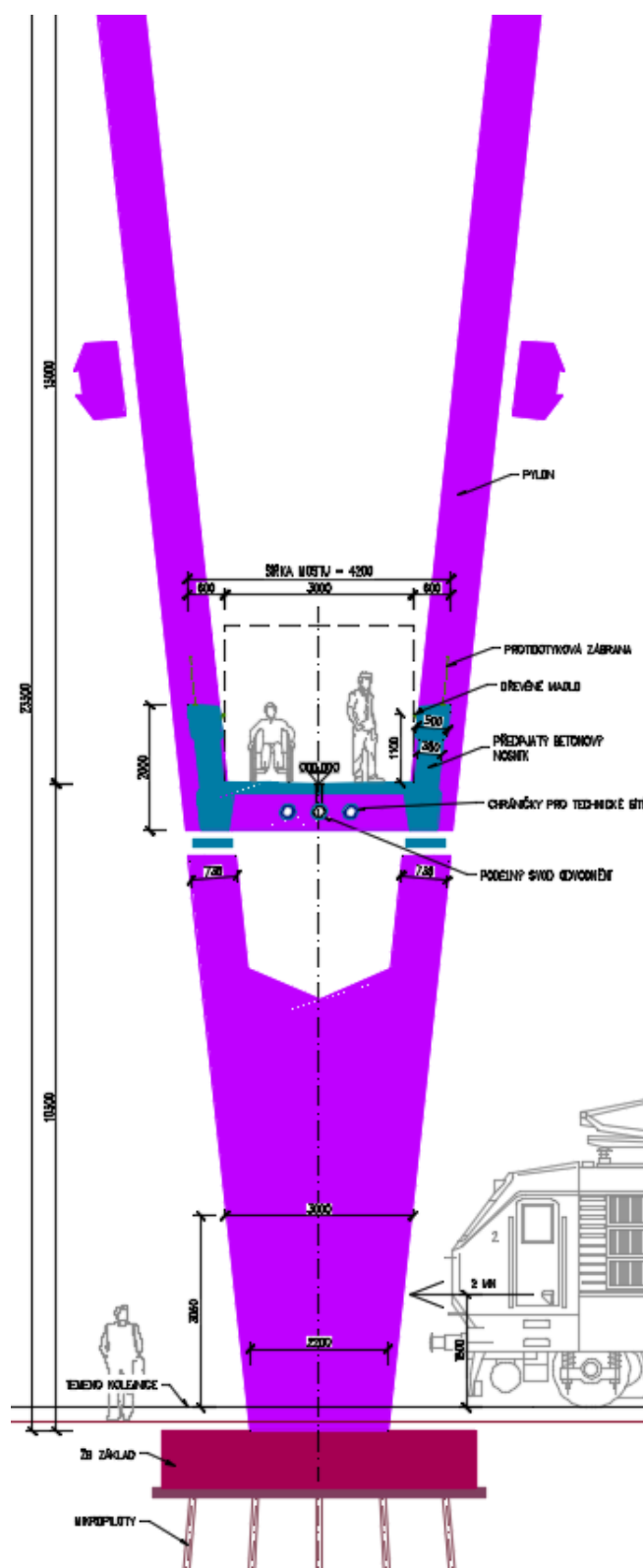


Obrázek 1 – Příčný řez nosnou konstrukcí

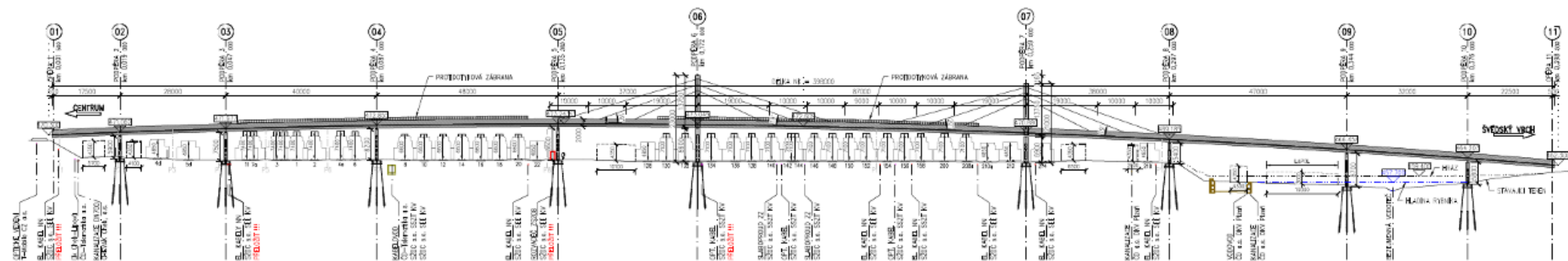
Spodní stavbu tvoří dvě opěry na obou koncích mostního objektu a devět železobetonových podpěr. Pilíře jsou tvořeny dvojicí monolitický železobetonových sloupů, které jsou vetknuté do společného základu. Nové pilíře budou založeny plošně na železobetonových monolitických patkách, podporovaných systémem vrtaných mikropilot.



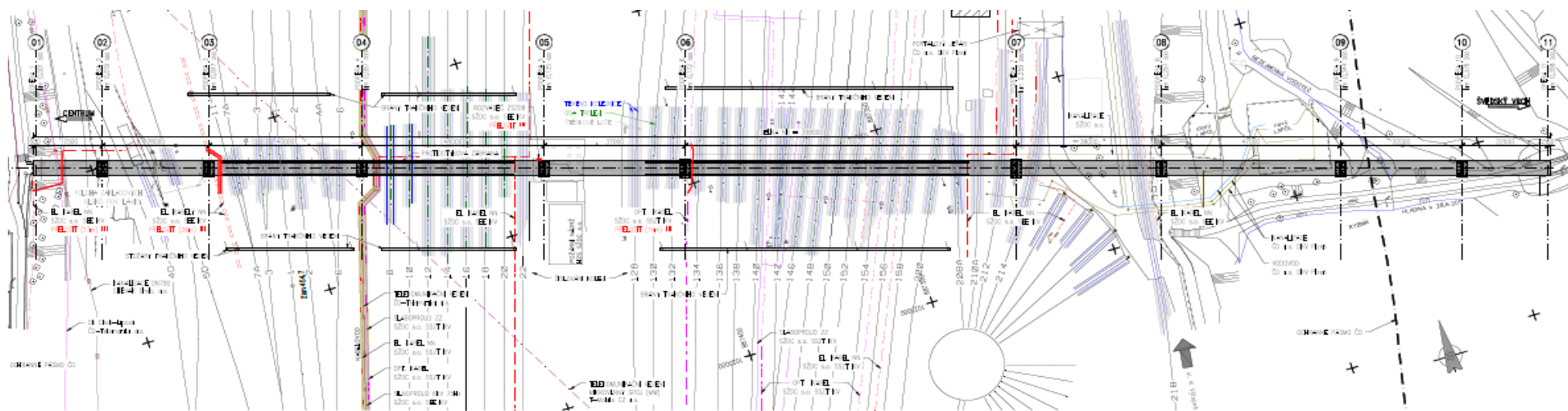
Obrázek 2 – Příčný řez základem pilíře



Obrázek 3 – Příčný řez v místě pylonu



Obrázek 4 – Podélný řez novou konstrukcí lávky



Obrázek 5 – Půdorys nové konstrukce lávky

2.1.2. Podrobný průzkum

Nad rámec standardního rozsahu ZKP byl proveden podrobný průzkum ve smyslu ČSN 03 8370, část II.

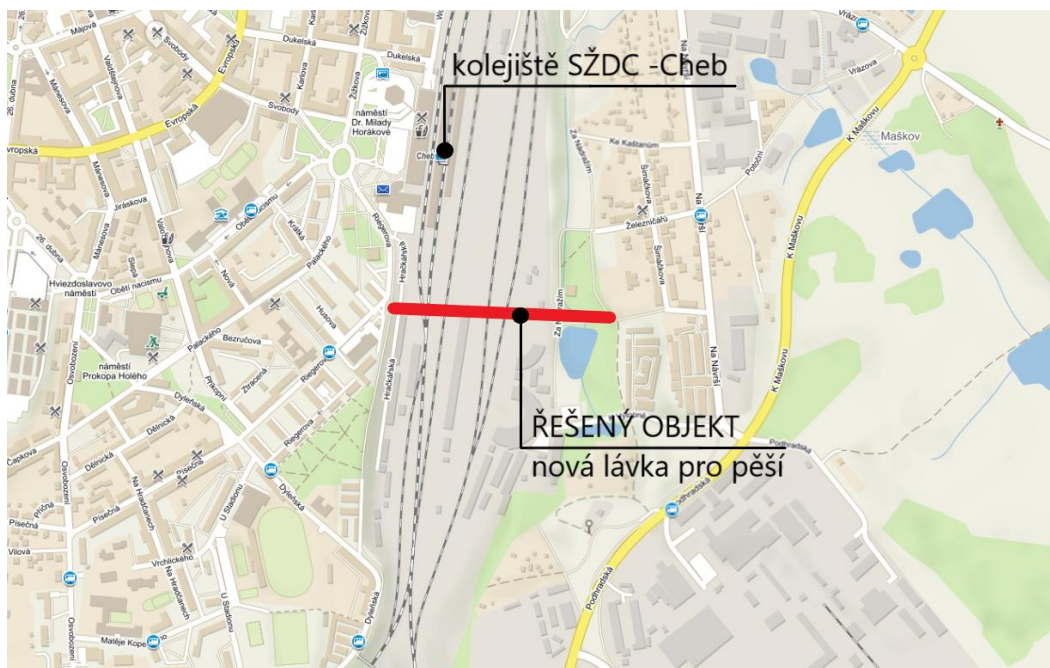
- a) Řešený objekt se nachází nad **kolejištěm SŽDC v železniční stanici Cheb**. V tomto místě se sbíhají tratě č. 140, 148, 146, 170 a 179. Tratě ve správě SŽDC jsou v daném úseku napájené jednofázovou proudovou trakční soustavou 25kV/50 Hz. Oblast kolejiště Cheb je napájena z TT Jindřichov, umístěné severně ve vzdálenosti cca 3 km od řešeného území. V dané lokalitě je železniční trať nejvýznamnějším zdrojem bludných proudů.

(Dle ČSN 03 8372 se posuzují vlivy do 500 m od střídavě elektrizované železnice).

- b) Jako zařízení, které zprostředkovává šíření bludných proudů je uzemňovací soustava **ČEZ Di** a případně uzemňovací soustava veřejného osvětlení.
- c) Pod předpjatým železobetonovým nosníkem mostovky budou procházet sítě technické infrastruktury, které na sebe mohou vázat bludné proudy.
- d) V bezprostředním okolí objektu se nenachází aktivně chráněné vysokotlaké plynovody. V přilehlých ulicích, na začátku a na konci lávky, se nachází plynovodní řady STL. Nejsou k dispozici informace o aktivní ochraně (typu katodické) v místě stavby. (zdroj: digitální technická mapa Města Cheb)



Obrázek 6 - Vyznačení polohy mostního objektu vůči okolním trakčním transformovny



Obrázek 7 - Umístění stavby s vyznačením zdrojů bludných proudů



Obrázek 8 – Technická infrastruktura v místech řešené lokality (zdroj: digitální technická mapa Cheb)

Pozn.: **žlutě** je vyznačen plyn, **modře** voda, **hnědá** kanalizace, **fialová** komunikační síť, **červeně** podzemní vedení vysokého napětí a **zeleně** teplovodní síť

2.1.3. Klimatické podmínky měření

Teplota vzduchu v průběhu dne dosahovala +20°C, jasno, zem suchá, hlinitá, šterkovitá.

Měření se uskutečnilo ve všední, za běžného provozu všech zdrojů bludných proudů, v úterý 29.5.2018 od 10:00 do 15:00 hod.

3. Použité přístroje

Pro níže specifikovaná měření byly použity následující přístroje:

Měření napětí a proudu: **Owon B35T+** s bezdrátovým datovým přenosem

DC napětí:	60,00mV/600,0mV 0,01mV $\pm(0,5\%+2\text{dig})$ V 60,00mV/600,0mV/6,000V/60,00V 0,1mV 600,0V/1000V 0,1V
AC napětí:	60,00mV/600,0mV 0,01mV $\pm(0,8\%+2\text{dig})$ V 60,00mV/600,0mV/6,000V/60,00V 1mV $\pm(0,8\%+2\text{dig})$ 600,0V/750V 0,1V $\pm(1\%+3\text{dig})$
DC proud:	600.0μA 0.1μA $\pm(0,8\%+2\text{dig})$ mA 600.0μA/6.000mA/60.00mA/600.0mA/6.000A 0.01mA $\pm(0,8\%+2\text{dig})$ A 20.00A 1mA $\pm(1,2\%+3\text{dig})$
AC proud:	600.0μA 0.1μA $\pm(1\%+3\text{dig})$ mA 600.0μA/6.000mA/60.00mA/600.0mA/6.000A 0.01mA $\pm(0,8\%+2\text{dig})$ A 20.00A 1mA $\pm(2\%+3\text{dig})$

měření dalších veličin: elektrický odpor, kapacita, frekvence, teplota

Měření zemního odporu: **MRU-200**

rozsah:	0,000Ω až 19,99 kΩ přepínání rozsahů automatické, USB přesnost měřených veličin ± 2 až 5 %, 4 digity
---------	--

Víceúčelový přístroj: **HIOKI LR8515 – 2 DC kanály**

rozsah:	± 50 V, mezikáňalově 70 V DC -200 až 999,9 °C
rozlišení:	0,01 mV; 0,1 °C
přesnost:	$\pm 0,05$ mV (při rozsahu 50 mV); $\pm 0,8$ °C
kapacita:	500 000 hodnot/ kanál
kommunikace:	wireless – bluetooth

HIOKI LR5042 – 1 DC kanál

rozsah:	-5,0 až +5,0 V
přesnost:	$\pm 0,5\% \pm 5\text{d}$
kapacita:	60 000 hodnot

HIOKI LR5043 – 1 DC kanál

rozsah:	-50,0 až +50,0 V
přesnost:	$\pm 0,5\% \pm 5\text{d}$
kapacita:	60 000 hodnot

4. Metodika měření a vyhodnocování

4.1. Stanovení zdánlivého měrného odporu

Tato hodnota umožňuje výpočet proudových hustot pro stanovení korozní agresivity prostředí dle ČSN 03 8372, tab. 1. Byla použita Wennerova metoda dle ČSN 03 8363, umožňující interpretaci zvolených odporových vrstev. Při této čtyřelektrodové metodě se hloubkový dosah získává zvětšováním vzdálenosti elektrod. Pro daný případ byly měřeny hodnoty v jednotlivých místech s rozestupem elektrod $a = 1, 3$ a 5 m, což odpovídá měřeným vrstvám půdy hb takto:

$$0,75 \text{ hb} \leq a \leq 1,25 \text{ hb}$$

Pro měření byl zvolen měřicí přístroj MRU-200 pro odporová měření s použitím vnějšího zdroje proudu. Výstupní napětí zdroje má střídavý charakter s frekvencí 128 Hz. Odečtené hodnoty na přístroji v ohmech byly podkladem pro výpočet zdánlivého měrného odporu půdy dle rovnice:

$$\rho = 2 \pi a R [\Omega\text{m}]$$

Pro výpočet proudových hustot byl zvolen nejnižší měrný odpor, zjištěný u jednotlivých vrstev půdy v daném místě měření potenciálových spádů ΔU_1 a ΔU_2 .

Místa měření a výsledky zdánlivého měrného odporu jsou uvedeny na situaci. Naměřené údaje jsou uvedeny v tabulce č. 6. Pro přehled jsou naměřené hodnoty měrného zemního odporu vyneseny graficky v příloze.

Zjištěné hodnoty rezistivity půdy v závislosti na měřené ekvivalentní hloubce:

Měřicí bod	Rezistivita půdy
M1	15,4 – 138,6 Ωm
M2	69,4 – 104,6 Ωm
M3	70,5 – 80,9 Ωm
M4	78,4 – 308,7 Ωm
M5	78,0 – 184,3 Ωm

Z hlediska ČSN 03 8372, tab. 1, na základě měrného odporu horniny, se stanovuje agresivita prostředí ve stupni č. II. – střední

Výjimku tvoří pouze měřicí bod M1, kde dosahuje agresivita IV. stupně (velmi vysoká). Není vyloučeno, že měření bylo provedeno nad některou z inženýrských sítí (potrubí, uzemnění). Obecně platí, že rezistivity půdy jsou v lokalitě kolejiště Cheb spíše vyšší a prostředí je tak z hlediska korozního namáhání vlivem bludných proudů příznivější.

4.2. Stanovení přítomnosti bludných proudů v zemi

Pro tato měření byly použity napěťové datalogery HIOKI a ve funkci doplňkových a ověřovacích přístrojů elektrické měřicí digitální přístroje typu Owon B35T+ se vstupním odporem 10 M Ω . Před vlastním měřením a po něm byla zjišťována polarizace použitých elektrod Cu/CuSO₄, tj. rozdíl potenciálů mezi jednotlivými elektrodami pro každou sadu elektrod. Při zpracování výsledků se případné rozdíly polarizace elektrod (v rozmezí dovolené tolerance) odečítají. Rovněž v souladu s ČSN byla před měřením provedena kontrola elektrolytu.

Kontrolní měření polarizace jednotlivých používaných sad elektrod – potenciály naměřené proti ocelové elektrodě ve vzdálenosti 1 m:

V bodě M1		V bodě M2	
el. č. 1	-210 mV	el. č. 1	-102 mV
el. č. 2	-204 mV	el. č. 2	-109 mV
el. č. 3	-197 mV	el. č. 3	-107 mV

V bodě M3		V bodě M4	
el. č. 1	-217 mV	el. č. 1	-120 mV
el. č. 2	-211 mV	el. č. 2	-117 mV
el. č. 3	-216 mV	el. č. 3	-112 mV

V bodě M5	
el. č. 1	-232 mV
el. č. 2	-226 mV
el. č. 3	-222 mV

Diferenciál napětí mezi jednotlivými elektrodami v dané sadě splňuje ustanovení ČSN 03 8362 a je menší než 50 mV. Krom standardního měření dle shora uvedené tabulky, bylo provedeno i porovnání chybových potenciálů mezi jednotlivými elektrodami. Pro konkrétní měření byly použity všechny sady elektrod.

Pole bludných proudů v zemi bylo stanoveno z hodnot získaných při současném měření časového průběhu potenciálu na dvou kolmých dipólech pro každé stanoviště. Celková doba měření bodu byla více než 30 minut. Z naměřených hodnot se uvádí výběr údajů v tabulce, přičemž výpočty byly provedeny ze všech získaných hodnot, v grafech je uveden průběh napětí po celou dobu.

Zapojení měřicích přístrojů a elektrod Cu/CuSO₄ bylo následující: záporný pól přístroje byl na elektrodě umístěné v bodě 2, kladný pól přístroje na elektrodách v místech bodů 1, 3, (viz situace). Údaje naměřených hodnot dvojic ΔU jednotlivých stanovišť přiřazených do kvadrantů ”++ (0 - 90°)”, ”+ - (90 - 180°)”, ”- - (180 - 270°)”, ”-+ (270 - 360°)”, jsou uvedeny v tabulce č. 1.2.3,4 a 5. Základní operace s naměřenými hodnotami pro každý bod jsou provedeny v týchž tabulkách pod naměřenými hodnotami. Prvním údajem jsou průměrné hodnoty U1 a U2 po opravě na polarizaci elektrod (pokud se provádí), na dalším řádku je proveden jejich přepočet na 1 m délky (tj. průměrná intenzita elektrického pole v zemi). Tyto hodnoty jsou stanoveny pro každou polaritu jednotlivých složek snímaného napětí, tj. matematicky ve čtyřech kvadrantech a v dalším řádku je vyhodnocován jejich procentní podíl v každém kvadrantu z celkového počtu naměřených hodnot. V předposledním řádku s označením Ep je uvedena absolutní hodnota vektoru intenzity elektrického pole pro příslušný kvadrant a na posledním řádku úhel tohoto vektoru vztažený k umístění sond v terénu.

Výsledné hodnoty proudových hustot v tabulce č. 7 jsou vypočteny z intenzity elektrického pole Ep a z hodnot zdánlivého měrného odporu půdy dle vzorce:

$$J[A.m^{-2}] = \frac{E_p [V.m^{-1}]}{\rho [\Omega m]}$$

Průměrné hodnoty stejnosměrných proudových hustot v jednotlivých bodech a jednotlivých směrech dosahují hodnot:

$$J \in < 7,51 \cdot 10^{-6}; 1,90 \cdot 10^{-4} > [\text{A} \cdot \text{m}^{-2}]$$

Průměrné hodnoty střídavých proudových hustot v jednotlivých bodech a jednotlivých směrech dosahují hodnot:

$$J \in < 1,53 \cdot 10^{-5}; 3,25 \cdot 10^{-4} > [\text{A} \cdot \text{m}^{-2}]$$

***Dle dosažených výsledků průměrných hodnot jsou hustoty proudu dle ČSN 03 8372
tabl. ve IV. stupni korozní agresivity***

Na situaci jsou uvedeny směry výsledných proudových hustot (nikoli elektrického pole v zemi). Ke každému směru jsou připsány základní informace o velikosti proudové hustoty $J [\text{A} \cdot \text{m}^{-2}]$ a výskyt daného směru v procentech. Šipkou je označen směr toku proudu. Pokud v některém směru dosáhla četnost výskytu hustoty bludných proudů pod deset procent, není vektor v tomto směru v situaci zobrazen, je však uveden v tab. 7.

Konečné hodnoty bludných proudů jsou ovlivněny rezistivitou půdy, v bodě M1 lze hovořit o nižších hodnotách, než jsou typické pro oblast Chebu (vyplývající z předchozích měření v daném území např. v roce 2014 SO 101 – Most v km 232,992 a v roce 2018 most přes trať ČD v ulici Osvobození). V ostatních měřených bodech jsou hodnoty rezistivity půdy naopak spíše typické.

V březnu roku 2018 byl proveden základní korozní průzkum v místech silničního mostu přes trať ČD v ulici Osvobození (ve vzdálenosti cca 1100 m od řešené lokality – budoucí lávky přes kolejiště Cheb). Byly dosaženy obdobné výsledky (mírně nižší) odpovídající třetímu stupni korozní agresivity $J_v \in < 2,22 \cdot 10^{-5}; 2,88 \cdot 10^{-5} >$.

5. Stanovení stupně ochranných opatření proti škodlivým vlivům bludných proudů pro železobetonovou stavbu

Výsledky měření hustot bludných proudů dle tab. 7 v pěti místech v lokalitě nové stavby dle **TP 124** „Základní ochranná opatření pro omezení vlivu bludných proudů na mostní objekty a ostatní betonové stavby pozemních komunikací, Praha 2009“, tab. 1 jsou hodnoceny:

Stanovení sacího efektu stavby:

$$K_s = k_{sm} + k_k + k_p$$

$$k_{sm} \text{ (vlastní sací koeficient stavby) } \dots 1$$

$$k_k \text{ (konstrukce) } \dots 1$$

$$k_p \text{ (prostředí) } \dots 1$$

$$K_s = 3$$

Výsledná proudová hustota bludného proudu DC:

$$J_v = K_s \cdot J; \quad J_v \in < 2,253 \cdot 10^{-5}; 5,7 \cdot 10^{-4} > [\text{A} / \text{m}^2]$$

Výsledná proudová hustota bludného proudu AC :

$$J_v = K_s \cdot J; \quad J_v \in < 4,59 \cdot 10^{-5}; 9,75 \cdot 10^{-4} > [A/m^2]$$

kde J_v je přepočtená proudová hustota pro stanovení stupně ochranných opatření

Stupeň ochranných opatření pro novou lávku pro pěší přes kolejiště nádraží v Chebu, se dle TP 124, tab. 1 stanovuje na: č. 4

V rámci dosažených výsledků elektrických polí v zemi a skutečnosti křížení mostního objektu s elektrizovaným kolejištěm SŽDC se doporučuje postupovat při návrhu nosné konstrukce v rámci stupně č. 4. ochranných opatření – v souladu s TP 124 MDČR (2009), viz čl. 5.4.2 a SR5/7 (S) v návrhu 2017. Proudové hustoty pro stanovení čtvrtého stupně ochranných opatření byly měřeny ve stejnosměrném i střídavém spektru bludných proudů. Z hlediska korozních účinků je míra koroze způsobené střídavými (AC) bludnými proudy o přibližně 30 % nižší než koroze způsobená stejnosměrnými (DC) bludnými proudy.

6. Měření směsného potenciálu U_z

Nad rámec standardního korozního průzkumu byla provedena měření směsného potenciálu vůči kolejím nacházejících se v kolejišti nádraží Cheb, trakčnímu stožáru, stávající patce staré lávky a uzemnění rozvaděče v kolejišti.

Popis metody:

Metoda spočívá v umístění elektrody $Cu/CuSO_4$ do těsné blízkosti betonové konstrukce (základu) stavby. Měřené body jsou vyznačeny na výkresu situace. Hodnoty byly zaznamenávány pomocí napěťových dataloggerů HIOKI.

Měřený objekt	Směsný potenciál HIOKI [mV] DC	Směsný potenciál Owon B35T+ [mV] AC
kolej 1	-233,99	818,37
kolej 2	-284,24	-
kolej 200	-486,15	403,25
trakční stožár	-435,26	-
stávající patka	-292,70	-
uzem. rozvaděč	-522,51	85,09

Hodnocení:

Hodnocení výsledků je nutné rozdělit do kategorií:

a) KOLEJE.

Elektrizovaná jednofázová kolej je napájena z trakční transformovny Jindřichov (vzdálenost cca 3 km). Stejnosměrná složka naměřeného potenciálu se v ustálené oblasti u koleje 1 a 2 pohybuje na úrovni cca -230 respektive -280 mV. U koleje č. 200 je naměřený stejnosměrný potenciál vyšší směrem k záporným hodnotám a dosahuje velikosti cca -480 mV. Střídavá složka se pohybuje převážně mezi hodnotami mezi 0,5 až 1 V bez významných napěťových špiček.

b) **Objekty nacházející se v kolejišti SŽDC Cheb – TRAKČNÍ STOŽÁR, PATKA STARÉ LÁVKY A UZEMNĚNÍ ROZVADĚČE.**

Směsný potenciál umožňuje zjednodušeným způsobem hodnotit korozní procesy vybraných měřených objektů, popřípadě sledovat změny v chování vlivů elektrických polí cizích zdrojů. Dle MP-DEM (Dokumentace elektrických a geofyzikálních měření betonových mostních objektů a ostatních betonových konstrukcí pozemních komunikací). Pro ocel (ekvivalentně vodič FeZn) uloženou v betonu (půdě) se považuje za standardní interval -650 až -450 mV, v případě blízkých elektrizovaných soustav se hranice intervalu posouvá ke kladnějším hodnotám -500 až -200 mV. Z hlediska korozního namáhání je možné hodnoty považovat za příznivé.

Měření slouží pouze jako orientační a nevypovídá o celkovém stavu potenciálu okolních zařízení.



Obrázek 9 – Měření směsného potenciálu Uz – trakční stožár



Obrázek 10 – Měření směsného potenciálu Uz – stávající patka



Obrázek 11 – Měření směšného potenciálu Uz – rozvaděč

7. Hodnocení výsledků měření ve vztahu ke zpracování projektové dokumentaci stavby

Z výsledků měření provedených v rámci základního korozního průzkumu vyplývá vysoké riziko korozního namáhání železobetonové stavby a je třeba navrhovat zvýšená ochranná opatření snižující působení bludných proudů na stavbu.

Při zpracování projektové dokumentace zejména spodní stavby objektu bude projektant stavební části pro návrh ochranných opatření vycházet z platné normy – ČSN EN 50162, příloha NA, resp. technických podmínek TP 124 MD ČR “Základní ochranná opatření pro omezení vlivu bludných proudů na mostní objekty a ostatní betonové konstrukce pozemních komunikací” (účinnost 1.1.2009).

Hlavními zásadami ochrany proti účinkům bludných proudů jsou:

- **na úrovni primárních ochran:** Stanovení kvality betonů: Navržený beton bude odpovídat dle ČSN EN 206 a ČSN EN 1992-1-1, -2, TKP 18. Pro ŽB konstrukce ve styku se zemí a s ohledem na předpokládanou životnost stavby se navrhuje krytí výztuže ve výši 50 mm při zachování vodonepropustnosti 30 mm (průsak max. 30 mm dle ČSN EN 12 390-8). Ve styku se zeminou budou použity betonové distančníky. Pro mikropiloty se navrhuje vrt v dostatečné šíři, tak aby byla zajištěno krytí cementovým mlékem min. 40 mm.

- **na úrovni sekundárních ochran:** Z hlediska ochrany proti účinkům bludných proudů s uvážením polohy základových konstrukcí mezi elektrizovanými kolejnicemi SŽDC se *stanovuje* požadavek na aplikaci sekundárních ochran základových patek pilířů v podobě systému vodotěsných izolací. Budou navrženy natavované asfaltové pásy.

Systémy vodotěsných izolací na NK budou řešeny standardně dle TKP, jsou navrhovány stříkané izolace. Kontrolu kvality provedení izolace definuje stavební projekt. Z hlediska BP není kontrola požadována.

- **na úrovni konstrukčních opatření:** Z hlediska ochrany před účinky BP se *stanovuje* požadavek na provaření výztuže lávky ve smyslu TP 124. Systém provaření výztuže bude využit pro ochranu stavby před účinky bludných proudů a pro ochranu lávky před atmosférickým přepětím.

- Nosná konstrukce bude elektricky izolačně oddělena od spodní stavby – oddělení bude koordinováno dle konstrukčního návrhu lávky.
- Předpínací výztuž bude přednostně navržena dle kategorie „C“ předpisu ASTRA 12010 resp. dle TP 124 příloha 1 tj. plně izolovaný systém předpětí, minimálně však kategorie „B“ – z hlavice každé kotvy budou připraveny vývody pro měření elektricky izolačního odporu předpjatých lan.
- Všechny podpěry budou vybaveny vývody z provařené výztuže pro účely měření vlivu bludných proudů a vývodů ve funkci jiskřiště v blízkosti ložiska.

- d) V místě dilatací budou navrženy mostní závěry do prostředí s vlivem bludných proudů dle TP 124.
- e) Z hlediska ochrany před bleskem bude využito provaření výztuže NK. Spodní stavba bude tvořit základové zemniče, které budou přes jiskřiště zajišťovat svedení bleskových proudů z NK. Z provařené výztuže NK budou připraveny vývody pro připojení náhodných jímačů na konstrukci – zábradlí, ocelové prvky atd. a dále vývody nad každou podpěrou ve funkci vzduchového jiskřiště.
- f) Konstrukce protidotykové zábrany bude kotvena do nosné konstrukce s využitím elektroizolačních prvků. S uvažováním celkových rozměrů ocelové zábrany budou připraveny vždy na začátku, konci a uprostřed zábrany, vývody z provařené výztuže NK pro připojení zábrany.
- g) Na začátku a konci nosné konstrukce bude připravena pozice pro umístění průrazky s opakovatelnou funkcí např. TSF 100. Požadavek na instalaci průrazky bude stanoven dle výsledků měření v průběhu stavby s vyhodnocením elektrického izolačního odporu nosné konstrukce.

- ostatní požadavky:

a) Inženýrských sítí budou elektroizolačně odděleny od mostní konstrukce, chráničky budou přednostně navrženy z PE materiálu, tak aby sítě jimi vedené, nezavlékaly bludné proudy do konstrukce lávky. V případě návrhu kovových inženýrských sítí – vodovod, plynovod – bude provedeno elektricky izolační ukotvení.

b) Navrhují se trvalé rozvody pro sledování vlivu bludných proudů, ve formě vývodů z hlavičky předpjaté výztuže. Předpokládá se návrh systému nedestruktivní diagnostiky koroze výztuže. Umístění sond pro sledování korozních procesů bude na začátku a konci NK a na vybraných částech spodní stavby v blízkosti elektrizované kolejnice.

c) Žádná aktivní ochrana proti účinkům bludných proudů se pro tuto stavbu nenavrhuje.

d) Výztuž podpěr ani nosné konstrukce lávky nebude ukolejňována.

e) Protidotykové zábrany i ocelová konstrukce pylonů leží mimo POTV dle ČSN EN 50122-1 ed.2 a ČSN 34 1500 ed.2/Z1, nepředpokládá se návrh a provedení ukolejnění neživých částí stavby.

Měření vlivu bludných proudů ve smyslu TP 124 a SR 5/7(S) v návrhu 2017

Stanovuje se požadavek na měření vlivu bludných proudů v průběhu a po dokončení mostní stavby – rozsah bude upřesněn v dalším stupni PD.

- postup při zpracování DPS:

Pro danou mostní stavbu bude zpracována samostatná PD zahrnující řešení ochrany stavby před účinky bludných proudů a ochrany stavby proti blesku dle TP 124 (2009) v koordinaci s ostatními profesemi. Projektant stavební části bude postupovat v koordinaci se specializovaným pracovištěm dle TP 124 a SR 5/7 (S) v návrhu 2017.

tab.1 Záznam údajů dU1 a dU2 v bodě M1 - DC
Lávka pro pěší přes kolejiště nádraží v Chebu

mM1 č.	Stanoviště M1 29.05.2018		údaje v mV							
	délka depolu [m]		pro dU1		8		pro dU2		8	
	dU1	dU2	dU1	dU2	dU1	dU2	dU1	dU2	dU1	dU2
	*	*	*	*	*	*	*	*	*	*
1			6,0	-22,6					6,00	-22,60
2			6,0	-22,8					6,00	-22,80
3			6,0	-22,7					6,00	-22,70
4			6,1	-22,2					6,10	-22,20
5			6,1	-22,8					6,10	-22,80
6			6,3	-22,7					6,30	-22,70
7			7,4	-22,4					7,40	-22,40
8			6,3	-22,4					6,30	-22,40
9			6,2	-22,6					6,20	-22,60
10			6,2	-22,8					6,20	-22,80
11			6,2	-22,7					6,20	-22,70
12			6,1	-22,8					6,10	-22,80
13			6,2	-22,8					6,20	-22,80
14			6,2	-23,1					6,20	-23,10
15			6,1	-22,7					6,10	-22,70
16			6,1	-23,0					6,10	-23,00
17			6,1	-23,6					6,10	-23,60
18			6,2	-23,5					6,20	-23,50
19			6,1	-23,1					6,10	-23,10
20			6,2	-23,0					6,20	-23,00
21			6,3	-23,2					6,30	-23,20
22			6,3	-23,5					6,30	-23,50
23			6,3	-23,3					6,30	-23,30
24			6,3	-23,3					6,30	-23,30
25			6,5	-6,6					6,50	-6,60
26			6,4	-6,7					6,40	-6,70
27			9,4	-11,4					9,40	-11,40
28			6,3	-22,9					6,30	-22,90
29			6,4	-23,5					6,40	-23,50
30			6,5	-22,9					6,50	-22,90
31			6,3	-23,2					6,30	-23,20
32			6,3	-23,4					6,30	-23,40
33			6,3	-23,4					6,30	-23,40
34			6,3	-23,1					6,30	-23,10
35			6,4	-23,1					6,40	-23,10
36			6,2	-23,1					6,20	-23,10
37			6,3	-23,5					6,30	-23,50
38			6,2	-23,6					6,20	-23,60
39			6,2	-23,2					6,20	-23,20
40			6,3	-23,3					6,30	-23,30
41			6,2	-23,0					6,20	-23,00
42			6,1	-23,3					6,10	-23,30
43			6,1	-23,2					6,10	-23,20
44			6,1	-23,1					6,10	-23,10
45			6,2	-23,2					6,20	-23,20
46			6,2	-23,3					6,20	-23,30
47			6,3	-23,0					6,30	-23,00
48			6,2	-23,3					6,20	-23,30
49			6,2	-23,0					6,20	-23,00
50			6,3	-23,2					6,30	-23,20
51			6,3	-23,2					6,30	-23,20
52			6,2	-23,2					6,20	-23,20
53			6,3	-23,6					6,30	-23,60
54			6,3	-23,5					6,30	-23,50
55			6,3	-23,4					6,30	-23,40
56			6,3	-23,4					6,30	-23,40
57			6,3	-23,5					6,30	-23,50
58			6,4	-23,3					6,40	-23,30
59			6,4	-23,0					6,40	-23,00
60			6,3	-23,8					6,30	-23,80
61			6,4	-23,6					6,40	-23,60
62			6,4	-23,2					6,40	-23,20
63			6,4	-23,5					6,40	-23,50
64			6,4	-23,8					6,40	-23,80
65			6,4	-23,0					6,40	-23,00
66			6,5	-23,8					6,50	-23,80
67			6,5	-23,5					6,50	-23,50
68			6,5	-23,0					6,50	-23,00
69			6,5	-23,6					6,50	-23,60
70			6,5	-23,3					6,50	-23,30
71			6,4	-23,5					6,40	-23,50
72			6,5	-23,6					6,50	-23,60
73			6,5	-23,5					6,50	-23,50
74			6,4	-23,5					6,40	-23,50
75			6,5	-23,7					6,50	-23,70
76			6,6	-23,6					6,60	-23,60
77			6,5	-23,5					6,50	-23,50
78			6,4	-23,5					6,40	-23,50
79			6,6	-23,4					6,60	-23,40
80			6,4	-23,5					6,40	-23,50
81			6,5	-23,6					6,50	-23,60
82			6,5	-23,7					6,50	-23,70
83			6,5	-23,5					6,50	-23,50
84			6,6	-23,4					6,60	-23,40
85			6,5	-23,4					6,50	-23,40
86			6,6	-23,4					6,60	-23,40
87			6,5	-24,1					6,50	-24,10
88			6,5	-23,6					6,50	-23,60
89			6,5	-23,4					6,50	-23,40
90			6,5	-23,5					6,50	-23,50
91			6,5	-23,7					6,50	-23,70
92			6,6	-23,5					6,60	-23,50
93			6,6	-23,2					6,60	-23,20
94			6,7	-23,4					6,70	-23,40
95			7,7	-7,2					7,70	-7,20
96			6,7	-23,7					6,70	-23,70
97			6,6	-23,6					6,60	-23,60
98			6,7	-23,3					6,70	-23,30
99			6,7	-23,5					6,70	-23,50
100			6,6	-23,3					6,60	-23,30
101			6,6	-23,2					6,60	-23,20
102			7,0	-23,7					7,00	-23,70
103			6,6	-23,5					6,60	-23,50
104			6,5	-23,4					6,50	-23,40
105			6,7	-23,3					6,70	-23,30
106			6,6	-22,9					6,60	-22,90
107			6,7	-23,6					6,70	-23,60
108			6,7	-23,4					6,70	-23,40
109			6,7	-23,4					6,70	-23,40
110			6,7	-23,5					6,70	-23,50
111			6,8	-23,5					6,80	-23,50
112			6,9	-23,4					6,90	-23,40
113			6,7	-23,5					6,70	-23,50
114			6,7	-23,6					6,70	-23,60
115			6,6	-23,9					6,60	-23,90
116			6,5	-23,5					6,50	-23,50
117			6,6	-23,8					6,60	-23,80
118			6,6	-23,5					6,60	-23,50
119			6,6	-23,4					6,60	-23,40
120			6,5	-23,5					6,50	-23,50

774	6,7	-20,6	6,70	-20,60
775	6,8	-20,5	6,80	-20,50
776	6,8	-20,4	6,80	-20,40
777	6,7	-20,6	6,70	-20,60
778	6,7	-20,4	6,70	-20,40
779	6,7	-20,5	6,70	-20,50
780	6,6	-20,4	6,60	-20,40
781	6,6	-20,6	6,60	-20,60
782	6,8	-20,7	6,80	-20,70
783	6,8	-20,5	6,80	-20,50
784	6,6	-20,6	6,60	-20,60
785	6,7	-20,3	6,70	-20,30
786	6,6	-20,4	6,60	-20,40
787	6,7	-20,5	6,70	-20,50
788	6,7	-20,5	6,70	-20,50
789	6,6	-20,4	6,60	-20,40
790	6,6	-20,6	6,60	-20,60
791	6,7	-20,5	6,70	-20,50
792	6,6	-20,3	6,60	-20,30
793	6,6	-20,2	6,60	-20,20
794	6,6	-20,3	6,60	-20,30
795	6,6	-20,4	6,60	-20,40
796	6,7	-20,3	6,70	-20,30
797	6,7	-20,2	6,70	-20,20
798	6,6	-19,8	6,60	-19,80
799	6,8	-20,5	6,80	-20,50
800	6,7	-20,1	6,70	-20,10
801	6,5	-20,5	6,50	-20,50
802	6,5	-20,9	6,50	-20,90
803	6,3	-21,0	6,30	-21,00
804	6,2	-21,6	6,20	-21,60
805	6,5	-21,1	6,50	-21,10
806	6,5	-20,9	6,50	-20,90
807	6,7	-20,0	6,70	-20,00
808	6,8	-20,2	6,80	-20,20
809	6,8	-20,3	6,80	-20,30
810	6,7	-20,0	6,70	-20,00
811	6,8	-20,0	6,80	-20,00
812	6,9	-20,2	6,90	-20,20
813	6,8	-20,2	6,80	-20,20
814	6,7	-20,0	6,70	-20,00
815	6,2	-19,8	6,20	-19,80
816	6,7	-19,9	6,70	-19,90
817	7,0	-20,0	7,00	-20,00
818	6,7	-20,0	6,70	-20,00
819	6,8	-20,0	6,80	-20,00
820	6,9	-20,0	6,90	-20,00
821	6,7	-20,2	6,70	-20,20
822	6,8	-20,1	6,80	-20,10
823	6,8	-19,8	6,80	-19,80
824	6,7	-20,0	6,70	-20,00
825	6,8	-19,6	6,80	-19,60
826	6,8	-19,2	6,80	-19,20
827	6,9	-19,7	6,90	-19,70
828	6,7	-19,3	6,70	-19,30
829	6,8	-19,5	6,80	-19,50
830	6,7	-19,6	6,70	-19,60
831	6,7	-19,7	6,70	-19,70
832	6,6	-19,4	6,60	-19,40
833	6,7	-19,4	6,70	-19,40
834	6,7	-19,4	6,70	-19,40
835	6,7	-19,4	6,70	-19,40
836	6,7	-19,4	6,70	-19,40
837	6,7	-19,4	6,70	-19,40
838	6,7	-19,4	6,70	-19,40
839	6,7	-19,4	6,70	-19,40
840	6,7	-19,4	6,70	-19,40
841	6,7	-19,4	6,70	-19,40
842	6,7	-19,4	6,70	-19,40
843	6,7	-19,4	6,70	-19,40
844	6,7	-19,4	6,70	-19,40
845	6,7	-19,4	6,70	-19,40
846	6,7	-19,4	6,70	-19,40
847	6,7	-19,4	6,70	-19,40
848	6,7	-19,4	6,70	-19,40
849	6,7	-19,4	6,70	-19,40
850	6,7	-19,4	6,70	-19,40
851	6,7	-19,4	6,70	-19,40
852	6,7	-19,4	6,70	-19,40
853	6,7	-19,4	6,70	-19,40
854	6,7	-19,4	6,70	-19,40
855	6,7	-19,4	6,70	-19,40
856	6,7	-19,4	6,70	-19,40
857	6,7	-19,4	6,70	-19,40
858	6,7	-19,4	6,70	-19,40
859	6,7	-19,4	6,70	-19,40
860	6,7	-19,4	6,70	-19,40
861	6,7	-19,4	6,70	-19,40
862	6,7	-19,4	6,70	-19,40
863	6,7	-19,4	6,70	-19,40
864	6,7	-19,4	6,70	-19,40
865	6,7	-19,4	6,70	-19,40
866	6,7	-19,4	6,70	-19,40
867	6,7	-19,4	6,70	-19,40
868	6,7	-19,4	6,70	-19,40
869	6,7	-19,4	6,70	-19,40
870	6,7	-19,4	6,70	-19,40
871	6,7	-19,4	6,70	-19,40
872	6,7	-19,4	6,70	-19,40
873	6,7	-19,4	6,70	-19,40
874	6,7	-19,4	6,70	-19,40
875	6,7	-19,4	6,70	-19,40
876	6,7	-19,4	6,70	-19,40
877	6,7	-19,4	6,70	-19,40
878	6,7	-19,4	6,70	-19,40
879	6,7	-19,4	6,70	-19,40
880	6,7	-19,4	6,70	-19,40
881	6,7	-19,4	6,70	-19,40
882	6,7	-19,4	6,70	-19,40
883	6,7	-19,4	6,70	-19,40
884	6,7	-19,4	6,70	-19,40
885	6,7	-19,4	6,70	-19,40
886	6,7	-19,4	6,70	-19,40
887	6,7	-19,4	6,70	-19,40
888	6,7	-19,4	6,70	-19,40
889	6,7	-19,4	6,70	-19,40
890	6,7	-19,4	6,70	-19,40
891	6,7	-19,4	6,70	-19,40
892	6,7	-19,4	6,70	-19,40
893	6,7	-19,4	6,70	-19,40
894	6,7	-19,4	6,70	-19,40
průměr	0,00	0,00	6,35	-22,45
mV.m-1	0,00	0,00	0,79	-2,81
procent	0,00	100,00	0,00	0,00
Ep	0,000	2,916	0,000	0,000
uhel st.	0,0	285,8	0,0	0,0

tab.2 Záznam údajů dU1 a dU2 v bodě M2 - DC
Lávka pro pěší přes kolejiště nádraží v Chebu

mél. č.	Stavení M2		údaje v mV		5		5		5	
	29.05.2018		pro dU1		pro dU2		pro dU1		pro dU2	
	dU1	dU2	dU1	dU2	dU1	dU2	dU1	dU2	dU1	dU2
1					13.0	1.5			-13.01	-1.50
2					14.0	-1.9			-13.97	-1.87
3					13.9	-1.5			-13.94	-1.53
4					-13.5	-1.7			-13.54	-1.69
5					13.8	-1.9			-13.81	-1.93
6					-13.8	-1.3			-13.76	-1.26
7					13.7	-1.9			-13.74	-1.86
8					13.8	-1.6			-13.79	-1.62
9					-13.7	-1.9			-13.73	-1.89
10					13.6	-1.6			-13.83	-1.62
11					-13.7	-1.7			-13.75	-1.72
12					-13.6	-2.0			-13.64	-1.98
13					-13.7	-1.8			-13.75	-1.81
14					-13.8	-1.9			-13.77	-1.89
15					-13.5	-2.0			-13.47	-2.02
16					-13.8	-1.6			-13.84	-1.64
17					-13.7	-1.8			-13.72	-1.78
18					-13.6	-1.7			-13.59	-1.72
19					-13.7	-1.6			-13.70	-1.61
20					-13.8	-1.6			-13.78	-1.60
21					-13.8	-1.7			-13.79	-1.71
22					-13.7	-1.8			-13.73	-1.83
23					-13.7	-1.8			-13.75	-1.85
24					-13.6	-1.5			-13.61	-1.46
25					-13.6	-1.8			-13.64	-1.83
26					-13.8	-1.7			-13.84	-1.71
27					-13.6	-1.9			-13.64	-1.89
28					-13.7	-1.6			-13.73	-1.64
29					-13.8	-1.9			-13.75	-1.92
30					-13.8	-1.8			-13.76	-1.80
31					-13.9	-2.1			-13.93	-2.13
32					-13.6	-1.8			-13.56	-1.80
33					-13.8	-1.6			-13.83	-1.55
34					-13.6	-1.7			-13.58	-1.72
35					-13.7	-1.6			-13.72	-1.58
36					-13.6	-1.9			-13.60	-1.86
37					-13.7	-1.7			-13.70	-1.66
38					-13.8	-1.6			-13.80	-1.64
39					-13.7	-1.7			-13.73	-1.74
40					-13.7	-1.4			-13.74	-1.45
41					-13.6	-1.7			-13.63	-1.68
42					-13.7	-1.7			-13.75	-1.74
43					-13.6	-1.9			-13.63	-1.89
44					-13.8	-1.6			-13.79	-1.62
45					-13.7	-1.7			-13.71	-1.73
46					-13.7	-1.7			-13.68	-1.69
47					-13.8	-1.9			-13.77	-1.94
48					-13.9	-1.7			-13.86	-1.73
49					-13.9	-1.7			-13.92	-1.73
50					-13.8	-1.8			-13.77	-1.81
51					-13.8	-1.8			-13.83	-1.84
52					-13.8	-1.9			-13.79	-1.90
53					-14.3	-1.9			-14.28	-1.88
54					-13.5	-1.7			-13.47	-1.75
55					-13.8	-1.6			-13.82	-1.62
56					-13.8	-1.8			-13.76	-1.63
57					-13.8	-1.8			-13.83	-1.75
58					-13.5	-1.7			-13.54	-1.69
59					-13.4	-1.5			-13.38	-1.54
60					-13.9	-1.6			-13.94	-1.62
61					-13.8	-1.6			-13.84	-1.64
62					-13.9	-1.8			-13.92	-1.59
63					-13.7	-1.9			-13.75	-1.87
64					-13.6	-1.7			-13.65	-1.72
65					-13.9	-1.7			-13.88	-1.68
66					-13.9	-1.6			-13.89	-1.61
67					-13.8	-1.7			-13.82	-1.74
68					-13.7	-1.7			-13.75	-1.74
69					-13.7	-1.9			-13.71	-1.88
70					-14.0	-1.8			-14.04	-1.64
71					-13.8	-1.8			-13.83	-1.62
72					-13.7	-2.0			-13.72	-1.98
73					-13.8	-1.9			-13.76	-1.90
74					-13.8	-1.7			-13.77	-1.73
75					-13.8	-1.6			-13.78	-1.57
76					-13.7	-1.6			-13.74	-1.59
77					-13.8	-1.8			-13.78	-1.79
78					-13.9	-1.5			-13.90	-1.53
79					-13.6	-1.5			-13.64	-1.46
80					-13.6	-1.7			-13.62	-1.69
81					-13.7	-1.8			-13.72	-1.78
82					-13.7	-1.9			-13.70	-1.86
83					-13.9	-1.7			-13.85	-1.69
84					-13.7	-1.7			-13.73	-1.74
85					-13.8	-1.8			-13.78	-1.57
86					-13.6	-1.8			-13.58	-1.80
87					-13.6	-1.4			-13.56	-1.65
88					-13.8	-1.8			-13.83	-1.78
89					-14.0	-1.9			-13.98	-1.86
90					-13.6	-1.8			-13.62	-1.63
91					-13.5	-1.5			-13.52	-1.52
92					-13.6	-1.9			-13.64	-1.92
93					-13.6	-1.8			-13.62	-1.79
94					-13.7	-1.8			-13.75	-1.82
95					-13.8	-1.6			-13.83	-1.63
96					-13.7	-1.8			-13.69	-1.85
97					-13.6	-1.4			-13.60	-1.42
98					-13.7	-1.9			-13.75	-1.86
99					-13.6	-1.8			-13.62	-1.59
100					-13.7	-1.6			-13.72	-1.63
101					-13.8	-1.8			-13.83	-1.59
102					-13.6	-1.8			-13.57	-1.81
103					-13.5	-1.8			-13.52	-1.84
104					-13.7	-1.4			-13.68	-1.41
105					-13.3	-1.8			-13.26	-1.78
106					-13.7	-1.8			-13.67	-1.75
107					-13.5	-1.3			-13.49	-1.27
108					-13.3	-1.5			-13.29	-1.47
109					-13.2	-1.4			-13.15	-1.37
110					-13.9	-1.7			-13.91	-1.72
111					-13.8	-1.8			-13.80	-1.82
112					-13.7	-1.8			-13.65	-1.84
113					-13.5	-1.6			-13.49	-1.62
114					-13.7	-1.7			-13.72	-1.72
115					-13.7	-1.7			-13.66	-1.68
116					-13.6	-1.8			-13.63	-1.82
117					-13.6	-1.5			-13.64	-1.50
118					-13.5	-1.8			-13.53	-1.84
119					-13.6	-1.9			-13.62	-1.87
120					-13.5	-1.7			-13.52	-1.68

688				-13.6	-1.0			-13.60	-0.96	
689				-13.7	-1.2			-13.72	-1.16	
690				-13.5	0.9			-13.55	-0.89	
691				-13.7	1.2			-13.72	-1.16	
692				-13.7	1.0			-13.74	-1.03	
693				-13.7	1.2			-13.74	-1.18	
694				-13.7	1.0			-13.66	-1.03	
695				-13.9	1.2			-13.93	-1.19	
696				-13.9	-0.9			-13.90	-0.88	
697				-13.7	-1.1			-13.72	-1.07	
698				-13.7	-1.1			-13.72	-1.08	
699				-13.9	-1.1			-13.90	-1.13	
700				-13.7	1.0			-13.66	-0.98	
701				-13.7	1.2			-13.66	-1.22	
702				-13.7	1.0			-13.68	-0.99	
703				-13.7	-1.2			-13.73	-1.20	
704				-13.9	-1.0			-13.95	-0.96	
705				-13.8	-1.0			-13.79	-1.01	
706				-13.8	-1.0			-13.85	-0.97	
707				-13.7	-1.0			-13.75	-0.98	
708				-13.7	-1.0			-13.72	-0.98	
709				-13.4	-0.9			-13.42	-0.89	
710				-13.8	-1.0			-13.82	-1.04	
711				-13.7	-1.1			-13.66	-1.12	
712				-13.8	-1.0			-13.75	-0.97	
713				-13.7	-1.0			-13.72	-0.96	
714				-13.8	-1.0			-13.78	-1.04	
715				-13.8	-1.0			-13.80	-1.04	
716				-13.8	-0.9			-13.80	-0.89	
717				-13.8	-1.1			-13.81	-1.11	
718				-13.8	-0.9			-13.84	-0.87	
719				-13.7	-1.2			-13.69	-1.18	
720				-13.7	-1.0			-13.75	-1.04	
721				-13.6	-1.2			-13.62	-1.18	
722				-13.7	-1.2			-13.73	-1.22	
723				-13.8	-0.9			-13.85	-0.95	
724				-13.8	-1.2			-13.79	-1.16	
725				-13.8	-1.0			-13.84	-0.97	
726				-13.7	-1.1			-13.72	-1.06	
727				-13.9	-1.1			-13.89	-1.08	
728				-13.8	-1.1			-13.75	-1.14	
729				-13.7	-1.1			-13.68	-1.10	
730				-13.8	-0.9			-13.80	-0.92	
731				-13.8	-1.0			-13.77	-1.00	
732				-13.7	-1.1			-13.71	-1.09	
733				-13.9	-1.0			-13.92	-0.96	
734				-13.8	-1.2			-13.78	-1.19	
735				-13.8	-1.0			-13.83	-1.00	
736				-13.8	-1.0			-13.77	-1.01	
737				-13.9	-1.1			-13.88	-1.13	
738				-14.0	-1.0			-13.96	-0.97	
739				-13.9	-0.9			-13.85	-0.90	
740				-13.8	-0.9			-13.78	-0.87	
741				-13.9	-1.2			-13.95	-1.17	
742				-13.8	-1.0			-13.80	-1.05	
743				-13.8	-1.0			-13.80	-0.97	
744				-14.0	-1.0			-14.00	-1.04	
745				-13.8	-1.2			-13.84	-1.18	
746				-13.8	-0.9			-13.75	-0.93	
747				-13.9	-1.1			-13.89	-1.14	
748				-13.8	-1.2			-13.78	-1.19	
749				-13.9	-1.1			-13.87	-1.13	
750				-13.8	-1.2			-13.81	-1.20	
751				-13.7	-1.0			-13.73	-1.02	
752				-13.7	-1.1			-13.71	-1.09	
753				-13.7	-1.2			-13.55	-1.16	
754				-13.8	-1.1			-13.76	-1.11	
755				-13.8	-0.9			-13.79	-0.94	
756				-13.8	-1.1			-13.81	-1.06	
757				-13.8	-1.0			-13.81	-0.96	
758				-13.9	-1.2			-13.85	-1.20	
759				-13.7	-1.1			-13.71	-1.12	
760				-13.9	-1.0			-13.93	-0.96	
761				-13.8	-0.9			-13.81	-0.86	
762				-13.7	-1.0			-13.72	-1.02	
763				-13.8	-1.1			-13.85	-1.10	
764				-13.8	-1.1			-13.80	-1.13	
765				-13.8	-0.9			-13.82	-0.92	
766				-13.8	-0.9			-13.78	-0.88	
767				-13.8	-1.1			-13.77	-1.11	
768				-14.0	-0.9			-13.95	-0.93	
769				-14.1	-1.2			-14.12	-1.18	
770				-14.0	-1.1			-14.05	-1.09	
771				-13.8	-1.1			-13.85	-1.12	
772				-14.0	-0.7			-13.95	-0.73	
773				-14.0	-1.0			-13.97	-0.96	
774				-13.9	-0.9			-13.94	-0.87	
775				-13.9	-1.2			-13.90	-1.16	
776				-13.9	-1.1			-13.88	-1.06	
777				-13.8	-0.9			-13.85	-0.94	
778				-13.9	-0.8			-13.88	-0.83	
779				-13.9	-1.0			-13.95	-1.00	
780				-13.9	-1.1			-13.91	-1.05	
781				-13.8	-1.0			-13.82	-0.96	
782				-13.9	-0.8			-13.94	-0.76	
783				-13.8	-1.1			-13.76	-1.12	
784				-13.9	-0.9			-13.90	-0.84	
785				-13.8	-1.1			-13.84	-1.07	
786				-13.9	-1.0			-13.88	-1.05	
787				-13.9	-1.0			-13.90	-0.97	
788				-13.9	-0.9			-13.90	-0.91	
789				-13.9	-0.9			-13.92	-0.92	
790				-13.9	-0.9			-13.87	-0.91	
791				-13.8	-0.9			-13.79	-0.91	
792				-14.0	-0.9			-14.00	-0.85	
793				-13.8	-0.9			-13.75	-0.93	
794				-13.7	-1.0			-13.73	-1.05	
795				-13.8	-0.8			-13.81	-0.78	
796				-13.7	-1.0			-13.66	-0.99	
797				-13.9	-0.7			-13.87	-0.73	
798				-14.0	-0.9			-13.96	-0.93	
799				-13.7	-1.0			-13.70	-0.99	
800				-13.9	-0.8			-13.85	-0.80	
801				-13.9	-0.9			-13.93	-0.95	
802				-13.8	-1.2			-13.85	-1.16	
803				-13.7	-1.2			-13.75	-1.16	
804				-13.8	-1.1			-13.76	-1.05	
805				-14.0	-0.8			-13.97	-0.80	
806				-13.8	-1.0			-13.82	-0.99	
807				-13.9	-0.9			-13.87	-0.90	
808				-13.9	-0.8			-13.86	-0.84	
průměr	0.00	0.00	0.00	0.00	-13.70	-1.43	0.00	0.00	-13.70	-1.43
mV m-1	0.00	0.00	0.00	0.00	-2.74	-0.29	0.00	0.00	-2.74	-0.29
procent	0.00	0.00	0.00	100.00			0.00	100		
Ep	0.000		0.000	2.755			0.000			
úhel st	0.0		0.0	185.9			0.0			

tab.3 Záznam údajů dU1 a dU2 v bodě M3 - DC
Lávka pro pěší přes kolejiště nádraží v Chebu

mátr č.	Stanoviště M3		údaje v mV			
	29.05.2018		10		10	
	dU1	dU2	dU1	dU2	dU1	dU2
1			13,0	1,5		-13,01
2			-14,0	1,9		-13,97
3			-13,9	1,5		-13,94
4			13,5	-1,7		-13,54
5			13,8	-1,9		-13,81
6			13,8	-1,3		-13,76
7			-13,7	-1,9		-13,74
8			13,8	-1,6		-13,79
9			-13,7	-1,9		-13,73
10			-13,8	-1,6		-13,83
11			-13,7	-1,7		-13,75
12			-13,6	-2,0		-13,64
13			-13,7	-1,8		-13,75
14			-13,8	-1,9		-13,77
15			-13,5	-2,0		-13,47
16			-13,8	-1,6		-13,84
17			-13,7	-1,8		-13,72
18			-13,6	-1,7		-13,59
19			-13,7	-1,6		-13,70
20			-13,8	-1,8		-13,78
21			-13,8	-1,7		-13,79
22			-13,7	-1,8		-13,73
23			-13,7	-1,8		-13,75
24			-13,8	-1,5		-13,81
25			-13,6	-1,8		-13,64
26			-13,8	-1,7		-13,84
27			-13,6	-1,9		-13,64
28			-13,7	-1,6		-13,73
29			-13,8	-1,9		-13,75
30			-13,8	-1,8		-13,76
31			-13,9	-2,1		-13,93
32			-13,6	-1,8		-13,56
33			-13,8	-1,6		-13,83
34			-13,6	-1,7		-13,58
35			-13,7	-1,6		-13,72
36			-13,6	-1,9		-13,60
37			-13,7	-1,7		-13,70
38			-13,8	-1,6		-13,80
39			-13,7	-1,7		-13,73
40			-13,7	-1,4		-13,74
41			-13,6	-1,7		-13,63
42			-13,7	-1,7		-13,75
43			-13,6	-1,9		-13,63
44			-13,8	-1,6		-13,79
45			-13,7	-1,7		-13,71
46			-13,7	-1,7		-13,68
47			-13,8	-1,9		-13,77
48			-13,9	-1,7		-13,86
49			-13,9	-1,7		-13,92
50			-13,8	-1,8		-13,77
51			-13,8	-1,8		-13,83
52			-13,8	-1,9		-13,79
53			-14,3	-1,9		-14,28
54			-13,5	-1,7		-13,47
55			-13,8	-1,6		-13,82
56			-13,6	-1,6		-13,76
57			-13,8	-1,8		-13,83
58			-13,5	-1,7		-13,54
59			-13,4	-1,5		-13,38
60			-13,9	-1,8		-13,94
61			-13,8	-1,6		-13,84
62			-13,8	-1,6		-13,92
63			-13,7	-1,9		-13,75
64			-13,6	-1,7		-13,65
65			-13,9	-1,7		-13,88
66			-13,9	-1,8		-13,89
67			-13,8	-1,7		-13,82
68			-13,7	-1,7		-13,75
69			-13,7	-1,9		-13,71
70			-14,0	-1,8		-14,04
71			-13,8	-1,8		-13,83
72			-13,7	-2,0		-13,72
73			-13,8	-1,9		-13,76
74			-13,8	-1,7		-13,77
75			-13,8	-1,6		-13,78
76			-13,7	-1,6		-13,74
77			-13,8	-1,8		-13,78
78			-13,9	-1,5		-13,90
79			-13,6	-1,5		-13,64
80			-13,6	-1,7		-13,62
81			-13,7	-1,8		-13,72
82			-13,7	-1,9		-13,70
83			-13,9	-1,7		-13,86
84			-13,7	-1,7		-13,73
85			-13,8	-1,6		-13,78
86			-13,6	-1,8		-13,58
87			-13,6	-1,6		-13,56
88			-13,8	-1,8		-13,83
89			-14,0	-1,9		-13,98
90			-13,6	-1,6		-13,62
91			-13,5	-1,5		-13,52
92			-13,6	-1,9		-13,64
93			-13,6	-1,8		-13,62
94			-13,7	-1,8		-13,75
95			-13,8	-1,6		-13,83
96			-13,7	-1,8		-13,69
97			-13,6	-1,4		-13,80
98			-13,7	-1,9		-13,75
99			-13,6	-1,6		-13,62
100			-13,7	-1,6		-13,72
101			-13,8	-1,6		-13,83
102			-13,6	-1,8		-13,57
103			-13,5	-1,8		-13,52
104			-13,7	-1,4		-13,68
105			-13,3	-1,8		-13,26
106			-13,7	-1,8		-13,67
107			-13,5	-1,3		-13,49
108			-13,3	-1,5		-13,29
109			-13,2	-1,4		-13,15
110			-13,9	-1,7		-13,91
111			-13,8	-1,8		-13,80
112			-13,7	-1,8		-13,65
113			-13,5	-1,6		-13,49
114			-13,7	-1,7		-13,72
115			-13,7	-1,7		-13,66
116			-13,6	-1,8		-13,63
117			-13,6	-1,5		-13,64
118			-13,5	-1,8		-13,53
119			-13,6	-1,9		-13,62
120			-13,5	-1,7		-13,52

312				-13.5	-1.3			-13.53	-1.27		
313				-13.6	-1.6			-13.46	-1.62		
314				-13.5	-1.4			-13.49	-1.44		
315				-13.6	-1.5			-13.60	-1.54		
316				-13.6	-1.5			-13.59	-1.49		
317				-13.5	-1.5			-13.46	-1.54		
318				-13.4	-1.7			-13.38	-1.67		
319				-13.5	-1.6			-13.50	-1.56		
320				-13.6	-1.3			-13.57	-1.30		
321				-13.6	-1.5			-13.63	-1.46		
322				-13.8	-1.6			-13.80	-1.63		
323				-13.6	-1.4			-13.65	-1.38		
324				-13.5	-1.4			-13.49	-1.45		
325				-13.5	-1.6			-13.51	-1.55		
326				-13.7	-1.5			-13.69	-1.47		
327				-13.7	-1.3			-13.68	-1.27		
328				-13.7	-1.3			-13.66	-1.31		
329				-13.6	-1.5			-13.62	-1.55		
330				-13.6	-1.0			-13.59	-0.98		
331				-13.4	-1.6			-13.45	-1.61		
332				-13.5	-1.5			-13.46	-1.54		
333				-13.7	-1.2			-13.73	-1.22		
334				-13.5	-1.4			-13.48	-1.42		
335				-13.6	-1.4			-13.79	-1.43		
336				-13.7	-1.5			-13.67	-1.50		
337				-13.5	-1.5			-13.51	-1.50		
338				-13.6	-1.6			-13.58	-1.57		
339				-13.7	-1.4			-13.67	-1.41		
340				-13.6	-1.6			-13.56	-1.64		
341				-13.6	-1.6			-13.56	-1.64		
342				-13.6	-1.5			-13.56	-1.48		
343				-13.5	-1.7			-13.53	-1.72		
344				-13.6	-1.4			-13.55	-1.40		
345				-13.5	-1.5			-13.52	-1.45		
346				-13.5	-1.8			-13.47	-1.82		
347				-13.4	-1.7			-13.42	-1.68		
348				-13.6	-1.3			-13.58	-1.34		
349				-13.5	-1.5			-13.51	-1.54		
350				-13.5	-1.8			-13.48	-1.61		
351				-13.6	-1.6			-13.60	-1.59		
352				-13.5	-1.2			-13.50	-1.21		
353				-13.7	-1.6			-13.69	-1.63		
354				-13.6	-1.4			-13.57	-1.35		
355				-13.6	-1.5			-13.57	-1.47		
356				-13.6	-1.8			-13.55	-1.65		
357				-13.6	-1.4			-13.57	-1.45		
358				-13.7	-1.4			-13.66	-1.38		
359				-13.6	-1.4			-13.56	-1.45		
360				-13.6	-1.6			-13.57	-1.60		
361				-13.6	-1.3			-13.62	-1.30		
362				-13.5	-1.6			-13.49	-1.62		
363				-13.5	-1.7			-13.53	-1.70		
364				-13.6	-1.6			-13.58	-1.59		
365				-13.6	-1.5			-13.56	-1.51		
366				-13.5	-1.4			-13.47	-1.39		
367				-13.4	-1.8			-13.39	-1.77		
368				-13.6	-1.4			-13.55	-1.38		
369				-13.4	-1.3			-13.45	-1.34		
370				-13.5	-1.3			-13.54	-1.34		
371				-13.6	-1.8			-13.62	-1.59		
372				-13.7	-1.4			-13.66	-1.40		
373				-13.5	-1.4			-13.49	-1.44		
374				-13.5	-1.5			-13.48	-1.52		
375				-13.4	-1.6			-13.38	-1.62		
376				-13.8	-1.3			-13.79	-1.28		
377				-13.5	-1.3			-13.55	-1.33		
378				-13.6	-1.4			-13.60	-1.44		
379				-13.7	-1.4			-13.67	-1.38		
380				-13.5	-1.5			-13.55	-1.48		
381				-13.6	-1.7			-13.57	-1.67		
382				-13.5	-1.6			-13.52	-1.61		
383				-13.5	-1.5			-13.46	-1.52		
384				-13.6	-1.6			-13.56	-1.55		
385				-13.6	-1.3			-13.60	-1.27		
386				-13.6	-1.6			-13.58	-1.57		
387				-13.6	-1.5			-13.62	-1.45		
388				-13.6	-1.6			-13.63	-1.55		
389				-13.6	-1.6			-13.57	-1.56		
390				-13.6	-1.4			-13.58	-1.44		
391				-13.6	-1.6			-13.62	-1.61		
392				-13.6	-1.7			-13.60	-1.68		
393				-13.7	-1.4			-13.66	-1.41		
394				-13.6	-1.4			-13.64	-1.45		
395				-13.7	-1.4			-13.65	-1.39		
396				-13.6	-1.6			-13.56	-1.62		
397				-13.6	-1.6			-13.61	-1.58		
398				-13.6	-1.4			-13.64	-1.41		
399				-13.7	-1.5			-13.74	-1.51		
400				-13.7	-1.6			-13.67	-1.58		
401				-13.8	-1.7			-13.80	-1.66		
402				-13.7	-1.4			-13.73	-1.38		
403				-13.6	-1.8			-13.61	-1.78		
404				-13.4	-1.7			-13.45	-1.67		
405				-13.8	-1.8			-13.82	-1.75		
406				-13.5	-1.4			-13.48	-1.37		
407				-13.5	-1.5			-13.52	-1.49		
408				-13.9	-1.7			-13.85	-1.67		
409				-13.7	-1.6			-13.72	-1.57		
410				-13.9	-1.8			-13.93	-1.79		
411				-14.0	-1.4			-13.97	-1.42		
412				-13.8	-1.8			-13.61	-1.61		
413				-13.7	-1.5			-13.67	-1.52		
414				-13.7	-1.8			-13.72	-1.76		
415				-13.6	-1.5			-13.64	-1.46		
416				-13.6	-1.6			-13.63	-1.65		
417				-13.7	-1.4			-13.65	-1.45		
418				-13.7	-1.6			-13.67	-1.62		
419				-13.6	-1.6			-13.61	-1.56		
420				-13.7	-1.5			-13.73	-1.48		
421				-13.7	-1.6			-13.69	-1.64		
422				-13.7	-1.4			-13.74	-1.40		
423				-13.5	-1.8			-13.52	-1.60		
424				-13.8	-1.4			-13.75	-1.42		
425				-13.6	-1.4			-13.76	-1.38		
426				-13.7	-1.4			-13.70	-1.37		
427				-13.9	-1.5			-13.95	-1.46		
428				-13.8	-1.6			-13.78	-1.55		
429				-13.7	-1.4			-13.67	-1.36		
430				-13.7	-1.3			-13.71	-1.34		
431				-13.8	-1.6			-13.79	-1.60		
432				-13.9	-0.8			-13.86	-0.84		
průměr	0.00	0.00	0.00	0.00	0.00	-13.59	-1.55	0.00	0.00	-13.59	-1.55
mV.m-1	0.00	0.00	0.00	0.00	0.00	-1.36	-0.16	0.00	0.00	-1.36	-0.16
procent	0.00		0.00			100.00		0.00		100	
Ep	0.000		0.000			1.368		0.000			
schel.st	0.0		0.0			186.4		0.0			

tab.4 Záznam údajů dU1 a dU2 v bodě M4 - DC
Lávka pro pěší přes kolejiště nádraží v Chebu

mátr	Starověká 144		údaje v mV					
	29.05.2018		5		5			
	délka dipolu [m]		pro dU1		pro dU2			
	dU1	dU2	dU1	dU2	dU1	dU2	dU1	dU2
1				-9,0	-11,5		-9,00	-11,50
2				-9,0	-11,5		-9,00	-11,50
3				-9,0	-11,5		-9,00	-11,50
4				-9,0	-11,5		-9,00	-11,50
5				-9,0	-11,5		-9,00	-11,50
6				-9,0	-11,6		-9,00	-11,60
7				-9,0	-11,5		-9,00	-11,50
8				-9,0	-11,5		-9,00	-11,50
9				-8,9	-11,6		-8,90	-11,60
10				-9,0	-11,6		-9,00	-11,60
11				-9,0	-11,6		-9,00	-11,60
12				-8,9	-11,5		-8,90	-11,50
13				-7,0	-13,7		-7,00	-13,70
14				-9,0	-11,6		-9,00	-11,60
15				-9,0	-11,6		-9,00	-11,60
16				-8,8	-11,5		-8,80	-11,50
17				-8,9	-11,6		-8,90	-11,60
18				-9,0	-11,6		-9,00	-11,60
19				-9,0	-11,7		-9,00	-11,70
20				-9,0	-11,7		-9,00	-11,70
21				-9,0	-11,7		-9,00	-11,70
22				-8,9	-11,7		-8,90	-11,70
23				-8,9	-11,6		-8,90	-11,60
24				-9,0	-11,7		-9,00	-11,70
25				-9,0	-11,7		-9,00	-11,70
26				-9,0	-11,7		-9,00	-11,70
27				-8,9	-11,7		-8,90	-11,70
28				-8,9	-11,7		-8,90	-11,70
29				-8,9	-11,7		-8,90	-11,70
30				-9,0	-11,7		-9,00	-11,70
31				-8,9	-11,7		-8,90	-11,70
32				-9,0	-11,7		-9,00	-11,70
33				-8,9	-11,7		-8,90	-11,70
34				-8,9	-11,7		-8,90	-11,70
35				-9,0	-11,7		-9,00	-11,70
36				-9,0	-11,8		-9,00	-11,80
37				-9,0	-11,8		-9,00	-11,80
38				-9,0	-11,8		-9,00	-11,80
39				-8,9	-11,8		-8,90	-11,80
40				-9,0	-11,8		-9,00	-11,80
41				-9,0	-13,0		-9,00	-13,00
42				-9,0	-11,8		-9,00	-11,80
43				-8,9	-11,7		-8,90	-11,70
44				-9,0	-11,8		-9,00	-11,80
45				-8,9	-11,8		-8,90	-11,80
46				-8,9	-11,8		-8,90	-11,80
47				-8,9	-11,8		-8,90	-11,80
48				-8,9	-11,8		-8,90	-11,80
49				-9,0	-11,8		-9,00	-11,80
50				-8,9	-11,7		-8,90	-11,70
51				-8,9	-11,8		-8,90	-11,80
52				-8,9	-11,8		-8,90	-11,80
53				-8,9	-12,7		-8,90	-12,70
54				-8,9	-11,8		-8,90	-11,80
55				-8,9	-11,8		-8,90	-11,80
56				-8,9	-11,7		-8,90	-11,70
57				-8,9	-11,8		-8,90	-11,80
58				-8,9	-11,7		-8,90	-11,70
59				-8,9	-11,7		-8,90	-11,70
60				-8,8	-11,7		-8,80	-11,70
61				-8,9	-11,8		-8,90	-11,80
62				-8,9	-11,8		-8,90	-11,80
63				-8,9	-11,8		-8,90	-11,80
64				-8,9	-11,8		-8,90	-11,80
65				-8,9	-11,8		-8,90	-11,80
66				-8,9	-11,7		-8,90	-11,70
67				-8,9	-11,8		-8,90	-11,80
68				-8,9	-11,8		-8,90	-11,80
69				-8,9	-11,8		-8,90	-11,80
70				-8,9	-11,8		-8,90	-11,80
71				-8,8	-11,8		-8,80	-11,80
72				-8,8	-11,7		-8,80	-11,70
73				-8,8	-11,7		-8,80	-11,70
74				-8,7	-11,7		-8,70	-11,70
75				-8,6	-11,7		-8,60	-11,70
76				-8,7	-11,7		-8,70	-11,70
77				-8,8	-11,7		-8,80	-11,70
78				-8,9	-11,7		-8,90	-11,70
79				-8,6	-11,5		-8,60	-11,50
80				-8,6	-11,6		-8,60	-11,60
81				-8,6	-11,5		-8,60	-11,50
82				-8,5	-11,8		-8,50	-11,80
83				-8,6	-11,6		-8,60	-11,60
84				-8,5	-11,5		-8,50	-11,50
85				-8,5	-11,5		-8,50	-11,50
86				-8,5	-11,5		-8,50	-11,50
87				-8,3	-11,5		-8,30	-11,50
88				-8,5	-11,5		-8,50	-11,50
89				-8,4	-11,4		-8,40	-11,40
90				-8,2	-11,4		-8,20	-11,40
91				-8,4	-11,3		-8,40	-11,30
92				-8,3	-11,3		-8,30	-11,30
93				-8,4	-11,4		-8,40	-11,40
94				-8,4	-11,4		-8,40	-11,40
95				-8,4	-11,4		-8,40	-11,40
96				-8,3	-11,4		-8,30	-11,40
97				-8,4	-11,4		-8,40	-11,40
98				-8,4	-11,3		-8,40	-11,30
99				-8,4	-11,4		-8,40	-11,40
100				-8,4	-11,4		-8,40	-11,40
101				-8,4	-11,4		-8,40	-11,40
102				-8,4	-11,4		-8,40	-11,40
103				-8,4	-11,4		-8,40	-11,40
104				-8,4	-11,4		-8,40	-11,40
105				-8,4	-11,4		-8,40	-11,40
106				-8,3	-11,3		-8,30	-11,30
107				-8,3	-11,4		-8,30	-11,40
108				-8,3	-11,3		-8,30	-11,30
109				-8,4	-11,3		-8,40	-11,30
110				-8,4	-11,4		-8,40	-11,40
111				-8,3	-11,3		-8,30	-11,30
112				-8,4	-11,3		-8,40	-11,30
113				-8,3	-11,3		-8,30	-11,30
114				-8,4	-11,3		-8,40	-11,30
115				-8,3	-11,4		-8,30	-11,40
116				-8,3	-11,3		-8,30	-11,30
117				-8,3	-11,3		-8,30	-11,30
118				-8,3	-11,3		-8,30	-11,30
119				-8,3	-11,3		-8,30	-11,30
120				-8,3	-11,3		-8,30	-11,30

764				-9.0	-10.6			-9.00	-10.60	
765				-9.0	-10.6			-9.00	-10.60	
766				-9.0	-10.6			-9.00	-10.60	
767				-9.0	-10.6			-9.00	-10.60	
768				-9.0	-10.6			-9.00	-10.60	
769				-9.0	-10.6			-9.00	-10.60	
770				-9.0	-10.6			-9.00	-10.60	
771				-9.0	-10.6			-9.00	-10.60	
772				-9.0	-10.6			-9.00	-10.60	
773				-9.0	-10.6			-9.00	-10.60	
774				-9.0	-10.6			-9.00	-10.60	
775				-9.0	-10.6			-9.00	-10.60	
776				-9.0	-10.6			-9.00	-10.60	
777				-9.0	-10.6			-9.00	-10.60	
778				-9.0	-10.6			-9.00	-10.60	
779				-9.0	-10.6			-9.00	-10.60	
780				-9.0	-10.6			-9.00	-10.60	
781				-9.0	-10.6			-9.00	-10.60	
782				-9.0	-10.6			-9.00	-10.60	
783				-9.1	-10.5			-9.10	-10.50	
784				-9.0	-10.5			-9.00	-10.50	
785				-9.0	-10.6			-9.00	-10.60	
786				-9.0	-10.6			-9.00	-10.60	
787				-9.0	-10.6			-9.00	-10.60	
788				-9.0	-10.6			-9.00	-10.60	
789				-9.0	-10.6			-9.00	-10.60	
790				-9.0	-10.6			-9.00	-10.60	
791				-9.1	-10.6			-9.10	-10.60	
792				-9.1	-10.6			-9.10	-10.60	
793				-9.0	-10.5			-9.00	-10.50	
794				-9.0	-10.6			-9.00	-10.60	
795				-9.0	-10.5			-9.00	-10.50	
796				-9.1	-10.6			-9.10	-10.60	
797				-9.1	-10.6			-9.10	-10.60	
798				-9.1	-10.6			-9.10	-10.60	
799				-9.1	-10.6			-9.10	-10.60	
800				-9.1	-10.6			-9.10	-10.60	
801				-9.0	-10.6			-9.00	-10.60	
802				-9.1	-10.6			-9.10	-10.60	
803				-9.1	-10.5			-9.10	-10.50	
804				-9.1	-10.5			-9.10	-10.50	
805				-9.1	-10.6			-9.10	-10.60	
806				-9.1	-10.5			-9.10	-10.50	
807				-9.1	-10.6			-9.10	-10.60	
808				-9.1	-10.6			-9.10	-10.60	
809				-9.1	-10.6			-9.10	-10.60	
810				-9.1	-10.6			-9.10	-10.60	
811				-9.1	-10.6			-9.10	-10.60	
812				-9.1	-10.6			-9.10	-10.60	
813				-9.1	-10.6			-9.10	-10.60	
814				-9.1	-10.6			-9.10	-10.60	
815				-9.1	-10.6			-9.10	-10.60	
816				-9.1	-10.6			-9.10	-10.60	
817				-9.1	-10.6			-9.10	-10.60	
818				-9.1	-10.6			-9.10	-10.60	
819				-9.1	-10.6			-9.10	-10.60	
820				-9.1	-10.6			-9.10	-10.60	
821				-9.1	-10.6			-9.10	-10.60	
822				-9.1	-10.6			-9.10	-10.60	
823				-9.1	-10.6			-9.10	-10.60	
824				-9.1	-10.5			-9.10	-10.50	
825				-9.1	-10.6			-9.10	-10.60	
826				-9.1	-10.5			-9.10	-10.50	
827				-9.1	-10.5			-9.10	-10.50	
828				-9.1	-10.6			-9.10	-10.60	
829				-9.1	-10.5			-9.10	-10.50	
830				-9.1	-10.5			-9.10	-10.50	
831				-9.1	-10.5			-9.10	-10.50	
832				-9.1	-10.6			-9.10	-10.60	
833				-9.1	-10.6			-9.10	-10.60	
834				-9.1	-10.5			-9.10	-10.50	
835				-9.1	-10.6			-9.10	-10.60	
836				-9.1	-10.6			-9.10	-10.60	
837				-9.1	-10.6			-9.10	-10.60	
838				-9.1	-10.6			-9.10	-10.60	
839				-9.1	-10.5			-9.10	-10.50	
840				-9.0	-10.6			-9.00	-10.60	
841				-9.1	-10.5			-9.10	-10.50	
842				-9.1	-10.6			-9.10	-10.60	
843				-9.1	-10.6			-9.10	-10.60	
844				-9.1	-10.5			-9.10	-10.50	
845				-9.1	-10.6			-9.10	-10.60	
846				-9.1	-10.6			-9.10	-10.60	
847				-9.1	-10.6			-9.10	-10.60	
848				-9.1	-10.5			-9.10	-10.50	
849				-9.1	-10.6			-9.10	-10.60	
850				-9.1	-10.5			-9.10	-10.50	
851				-9.1	-10.6			-9.10	-10.60	
852				-9.1	-10.5			-9.10	-10.50	
853				-9.1	-10.6			-9.10	-10.60	
854				-9.1	-10.6			-9.10	-10.60	
855				-9.1	-10.6			-9.10	-10.60	
856				-9.3	-10.6			-9.30	-10.60	
857				-9.3	-10.6			-9.30	-10.60	
858				-9.3	-10.6			-9.30	-10.60	
859				-9.3	-10.6			-9.30	-10.60	
860				-9.3	-10.6			-9.30	-10.60	
861				-9.3	-10.6			-9.30	-10.60	
862				-9.2	-10.5			-9.20	-10.50	
863				-9.2	-10.6			-9.20	-10.60	
864				-9.3	-10.6			-9.30	-10.60	
865				-9.2	-10.1			-9.20	-10.10	
866				-9.2	-10.6			-9.20	-10.60	
867				-9.2	-10.6			-9.20	-10.60	
868				-9.2	-10.6			-9.20	-10.60	
869				-9.2	-10.6			-9.20	-10.60	
870				-9.2	-10.5			-9.20	-10.50	
871				-9.2	-10.6			-9.20	-10.60	
872				-9.2	-10.6			-9.20	-10.60	
873				-9.2	-10.5			-9.20	-10.50	
874				-9.2	-10.5			-9.20	-10.50	
875				-9.1	-10.5			-9.10	-10.50	
876				-9.0	-10.5			-9.00	-10.50	
877				-8.9	-10.4			-8.90	-10.40	
878				-9.1	-10.5			-9.10	-10.50	
879				-9.1	-10.5			-9.10	-10.50	
880				-9.1	-10.5			-9.10	-10.50	
881				-9.1	-10.5			-9.10	-10.50	
882				-9.1	-10.5			-9.10	-10.50	
883				-9.0	-10.5			-9.00	-10.50	
884				-9.0	-10.5			-9.00	-10.50	
průměr	0.00	0.00	47.40	-2.30	-8.88	-11.17	0.00	0.00	-8.82	-11.16
mV/m-1	0.00	0.00	9.48	-0.46	1.76	2.23	0.00	0.00	1.76	2.23
percent	0.00		0.11		99.89		0.00		100	
Ep	0.000		9.491		2.854		0.000			
Uhof et.	0.0		357.2		231.4		0.0			

Lávka pro pěší přes kolejiště nádraží v Chebu

Lávka pro pěší přes kolejiště nádraží v Chebu

322				9,6	14,6			-9,55	-14,63	
323				9,6	14,6			-9,59	-14,63	
324				9,5	14,6			-9,53	-14,60	
325				9,6	14,6			-9,58	-14,60	
326				9,6	14,6			-9,58	-14,62	
327				9,6	14,6			-9,58	-14,64	
328				9,6	14,7			-9,64	-14,70	
329				9,6	14,7			-9,64	-14,67	
330				9,7	14,7			-9,67	-14,71	
331				-9,6	14,7			-9,58	-14,65	
332				9,6	14,7			-9,55	-14,65	
333				9,7	14,7			-9,66	-14,72	
334				-9,7	15,0			-9,65	-14,97	
335				-9,7	14,8			-9,65	-14,75	
336				9,7	14,8			-9,67	-14,80	
337				9,7	14,8			-9,65	-14,79	
338				-9,6	14,8			-9,64	-14,75	
339				9,7	14,9			-9,68	-14,85	
340				-9,7	-14,8			-9,74	-14,78	
341				-9,7	-14,8			-9,67	-14,81	
342				-9,7	-14,9			-9,70	-14,85	
343				-9,8	-14,9			-9,76	-14,90	
344				-9,7	-14,9			-9,73	-14,90	
345				-9,7	-15,0			-9,65	-14,88	
346				-9,7	-15,0			-9,74	-14,96	
347				-9,7	-15,0			-9,69	-14,99	
348				-9,7	-15,0			-9,70	-15,04	
349				-9,8	-15,0			-9,81	-15,04	
350				-9,9	-15,1			-9,88	-15,13	
351				-9,8	-15,1			-9,80	-15,06	
352				-9,8	-15,1			-9,77	-15,12	
353				-9,8	-15,0			-9,84	-15,04	
354				-9,8	-15,1			-9,80	-15,13	
355				-9,8	-15,2			-9,84	-15,18	
356				-9,8	-15,1			-9,81	-15,09	
357				-9,8	-15,1			-9,81	-15,09	
358				-9,8	-15,2			-9,79	-15,15	
359				-9,9	-15,5			-9,86	-15,49	
360				-9,9	-15,2			-9,86	-15,17	
361				-9,9	-15,2			-9,93	-15,19	
362				-9,8	-15,2			-9,84	-15,22	
363				-9,9	-15,2			-9,87	-15,20	
364				-9,8	-15,2			-9,81	-15,22	
365				-9,8	-15,2			-9,83	-15,18	
366				-9,8	-15,3			-9,82	-15,25	
367				-9,8	-15,2			-9,82	-15,24	
368				-9,8	-15,3			-9,83	-15,27	
369				-9,9	-15,3			-9,85	-15,28	
370				-9,8	-15,3			-9,78	-15,25	
371				-9,8	-15,3			-9,82	-15,25	
372				-9,8	-15,1			-9,82	-15,05	
373				-9,9	-15,3			-9,86	-15,26	
374				-9,9	-15,3			-9,87	-15,28	
375				-10,0	-15,4			-10,02	-15,39	
376				-9,9	-15,3			-9,88	-15,32	
377				-9,9	-15,3			-9,87	-15,33	
378				-9,9	-15,4			-9,93	-15,37	
379				-9,9	-15,4			-9,91	-15,39	
380				-9,9	-15,4			-9,87	-15,38	
381				-9,8	-15,4			-9,87	-15,41	
382				-9,9	-15,4			-9,90	-15,44	
383				-9,8	-15,4			-9,93	-15,42	
384				-10,0	-15,4			-9,97	-15,42	
385				-9,9	-15,5			-9,88	-15,48	
386				-9,9	-15,5			-9,91	-15,51	
387				-10,0	-15,5			-9,95	-15,50	
388				-10,0	-15,5			-10,00	-15,54	
389				-9,9	-15,5			-9,94	-15,49	
390				-10,0	-15,5			-9,95	-15,50	
391				-9,9	-15,6			-9,94	-15,55	
392				-9,9	-15,5			-9,93	-15,52	
393				-9,9	-15,5			-9,89	-15,51	
394				-9,9	-15,6			-9,91	-15,55	
395				-9,9	-15,6			-9,93	-15,56	
396				-10,0	-15,6			-9,95	-15,56	
397				-9,9	-15,5			-9,90	-15,54	
398				-10,0	-15,6			-9,95	-15,57	
399				-10,0	-15,6			-9,95	-15,58	
400				-10,0	-15,6			-9,96	-15,63	
401				-10,0	-15,7			-9,97	-15,66	
402				-9,9	-15,7			-9,93	-15,66	
403				-9,9	-15,7			-9,92	-15,67	
404				-10,0	-15,6			-9,95	-15,64	
405				-10,0	-15,7			-9,95	-15,71	
406				-9,9	-15,7			-9,92	-15,70	
407				-9,9	-15,7			-9,91	-15,72	
408				-9,9	-15,7			-9,91	-15,72	
409				-9,9	-15,7			-9,88	-15,72	
410				-9,9	-15,7			-9,89	-15,70	
411				-9,7	-15,7			-9,74	-15,74	
412				-9,9	-15,7			-9,86	-15,74	
413				-9,9	-15,8			-9,87	-15,75	
414				-9,9	-15,7			-9,94	-15,74	
415				-9,9	-15,8			-9,89	-15,76	
416				-9,9	-15,7			-9,91	-15,74	
417				-9,9	-15,8			-9,91	-15,79	
418				-9,9	-15,8			-9,89	-15,78	
419				-9,9	-15,9			-9,94	-15,79	
420				-10,0	-15,9			-9,98	-15,79	
421				-9,9	-15,9			-9,92	-15,81	
422				-10,0	-15,8			-9,96	-15,84	
423				-10,0	-15,9			-9,98	-15,85	
424				-10,0	-15,8			-9,95	-15,80	
425				-10,0	-15,8			-9,96	-15,81	
426				-10,0	-15,9			-9,99	-15,85	
427				-10,0	-15,9			-9,95	-15,88	
428				-10,1	-15,9			-10,05	-15,87	
429				-10,0	-15,9			-9,97	-15,88	
430				-10,0	-15,9			-9,95	-15,85	
431				-10,0	-15,9			-9,96	-15,90	
432				-10,0	-15,9			-9,99	-15,91	
433				-9,9	-15,9			-9,92	-15,86	
434				-10,0	-15,9			-10,03	-15,93	
435				-10,1	-15,9			-10,06	-15,94	
436				-10,0	-15,9			-9,98	-15,90	
437				-10,0	-15,9			-10,01	-15,94	
438				-10,0	-16,0			-9,99	-15,96	
439				-10,0	-15,9			-10,00	-15,92	
440				-10,0	-15,9			-9,98	-15,94	
441				-10,0	-16,0			-10,02	-15,98	
442				-9,9	-16,0			-9,93	-15,95	
průměr	0,00	0,00	4,73	-3,45	-8,79	13,73	0,00	0,00	-8,76	-13,71
mV m-1	0,00	0,00	0,47	-0,35	-0,88	1,37	0,00	0,00	-0,88	1,37
procent	0,00		0,23		99,77		0,00		100	
Ep	0,000		0,585		1,631		0,000			
úhel st	0,0		323,9		237,3		0,0			

tab. 6 Zdánlivý měrný odpor půdy v místech M1 až M5

podmínky: jasno, teplota +20 °C, zem suchá, hlinitá, šterkovitá
datum měření: 29.5.2018

Lávka pro pěší přes kolejiště nádraží v Chebu

bod M1 SONEL MRU 200				
vzdál elektrod [m]	R [ohm]	koeficient	ρ_r [ohm.m]	stupeň agresivity
1	16,97	1,3	138,6	I.
3	1,27	1,3	31,1	III.
5	0,38	1,3	15,4	IV.

bod M2 SONEL MRU 200				
vzdál elektrod [m]	R [ohm]	koeficient	ρ_r [ohm.m]	stupeň agresivity
1	12,80	1,3	104,6	I.
3	2,90	1,3	71,1	II.
5	1,70	1,3	69,4	II.

bod M3 SONEL MRU 200				
vzdál elektrod [m]	R [ohm]	koeficient	ρ_r [ohm.m]	stupeň agresivity
1	9,91	1,3	80,9	II.
3	3,28	1,3	80,4	II.
5	1,73	1,3	70,5	II.

bod M4 SONEL MRU 200				
vzdál elektrod [m]	R [ohm]	koeficient	ρ_r [ohm.m]	stupeň agresivity
1	37,79	1,3	308,7	I.
3	6,44	1,3	157,8	I.
5	1,92	1,3	78,4	II.

bod M5 SONEL MRU 200				
vzdál elektrod [m]	R [ohm]	koeficient	ρ_r [ohm.m]	stupeň agresivity
1	22,56	1,3	184,3	I.
3	4,59	1,3	112,5	I.
5	1,91	1,3	78,0	II.

tab. 7 Výpočet pole bludných proudů v bodech M1 až M5 - DC

	četnost [%]	E_p [mV.m-1]	směr [st.]	ρ_r [ohm.m]	I [A.m-2]	stupeň agresivity
M1 I.kv. ++	0,0	0,0	0,0	15,4	0,00E+00	-
	0,0	0,0	0,0	15,4	0,00E+00	-
	0,0	0,0	0,0	15,4	0,00E+00	-
	100,0	2,9	285,8	15,4	1,90E-04	IV.
M2 I.kv. ++	0,0	0,0	0,0	69,4	0,00E+00	-
	0,0	0,0	0,0	69,4	0,00E+00	-
	100,0	2,8	185,9	69,4	3,97E-05	III.
	0,0	0,0	0,0	69,4	0,00E+00	-
M3 I.kv. ++	0,0	0,0	0,0	70,5	0,00E+00	-
	0,0	0,0	0,0	70,5	0,00E+00	-
	100,0	1,4	186,4	70,5	1,94E-05	III.
	0,0	0,0	0,0	70,5	0,00E+00	-
M4 I.kv. ++	0,0	0,0	0,0	78,4	0,00E+00	-
	0,0	0,0	0,0	78,4	0,00E+00	-
	99,9	2,9	231,4	78,4	3,64E-05	III.
	0,1	9,5	357,2	78,4	1,21E-04	IV.
M5 I.kv. ++	0,0	0,0	0,0	78,0	0,00E+00	-
	0,0	0,0	0,0	78,0	0,00E+00	-
	99,8	1,6	237,3	78,0	2,09E-05	III.
	0,2	0,6	323,9	78,0	7,51E-06	III.

tab. 8 Průběh potenciálu vůči elektrodě Cu/CuSO₄ (E_{Cu}) - DC
akce: Lávka pro pěší přes kolejiště nádraží v Chebu
29.05.2018

	kolej 5 mV	kolej 6 mV	trakční stožár mV	stávající patka mV	kolej 29 mV	uzem. rozvaděč mV
1	-207,34	-440,37	-435,50	-290,09	-485,70	-522,40
2	-253,09	-439,41	-438,77	-290,11	-485,30	-522,30
3	-237,21	-448,20	-436,68	-290,23	-485,20	-523,00
4	-245,68	-439,54	-443,99	-290,04	-485,20	-522,70
5	-259,88	-430,94	-434,73	-289,92	-485,10	-522,50
6	-234,41	-440,98	-435,99	-290,56	-485,20	-522,40
7	-257,94	-429,06	-438,67	-290,02	-485,20	-521,10
8	-243,86	-444,82	-445,04	-290,16	-485,30	-522,00
9	-243,92	-430,39	-433,74	-290,24	-485,50	-521,90
10	-195,49	-433,49	-456,85	-290,41	-485,50	-522,10
11	-82,19	-445,41	-434,83	-290,40	-485,40	-521,90
12	-71,54	-423,79	-432,38	-290,30	-485,40	-521,90
13	-31,10	-430,78	-429,46	-290,39	-485,40	-522,00
14	-61,90	-413,74	-395,52	-290,57	-485,40	-522,30
15	-55,16	-416,26	-430,21	-289,93	-485,80	-522,60
16	-55,97	-433,63	-427,92	-290,20	-485,90	-522,50
17	-71,66	-423,05	-432,64	-290,24	-485,80	-522,50
18	-185,35	-434,83	-431,38	-290,30	-485,40	-522,30
19	-154,18	-433,84	-436,09	-290,40	-485,30	-522,30
20	-220,32	-448,88	-444,33	-290,55	-485,40	-522,20
21	-244,22	-435,07	-436,35	-290,34	-485,50	-522,60
22	-277,29	-428,63	-435,30	-290,37	-485,50	-522,80
23	-226,18	-450,12	-443,62	-290,33	-485,50	-522,50
24	-255,73	-433,65	-437,22	-290,55	-485,60	-522,10
25	-256,88	-442,30	-433,39	-290,32	-485,90	-522,30
26	-251,43	-429,64	-433,39	-290,43	-486,00	-522,40
27	-240,47	-448,54	-441,18	-290,44	-486,00	-522,10
28	-130,12	-446,65	-444,57	-290,59	-485,90	-522,10
29	-170,72	-432,13	-434,97	-290,47	-486,00	-522,30
30	-188,79	-441,20	-439,27	-290,51	-486,20	-521,30
31	-255,06	-432,98	-441,32	-290,44	-486,20	-523,30
32	-240,47	-441,51	-440,96	-290,39	-486,20	-522,00
33	-238,06	-440,92	-437,36	-290,48	-486,50	-522,60
34	-264,45	-440,65	-443,64	-290,45	-486,70	-522,60
35	-207,65	-444,88	-442,75	-290,51	-486,70	-522,30
36	-258,03	-442,52	-446,18	-290,53	-486,40	-521,50
37	-218,14	-441,44	-442,62	-290,49	-485,80	-523,00
38	-260,26	-433,77	-437,97	-290,64	-485,40	-521,90
39	-218,91	-446,39	-440,39	-290,87	-485,40	-521,90
40	-225,00	-454,03	-437,28	-290,57	-485,50	-521,90
41	-266,59	-441,83	-438,44	-290,55	-485,80	-522,10
42	-221,54	-440,16	-442,01	-290,57	-485,80	-522,80
43	-263,44	-429,97	-438,58	-290,57	-485,80	-522,60
44	-244,29	-439,96	-438,87	-290,73	-485,80	-522,70
45	-227,61	-448,66	-445,10	-290,56	-485,90	-522,30
46	-262,78	-436,11	-430,31	-290,76	-486,20	-522,30
47	-237,02	-429,89	-441,44	-290,42	-486,20	-522,60
48	-254,96	-446,47	-444,80	-290,55	-486,10	-522,60
49	-200,02	-448,74	-438,99	-290,79	-486,00	-522,80
50	-278,71	-443,11	-440,47	-290,57	-485,90	-523,20
51	-232,82	-439,76	-441,42	-290,64	-485,80	-522,70
52	-261,67	-447,22	-441,91	-290,75	-485,70	-522,70
53	-249,75	-452,20	-431,57	-290,70	-485,80	-521,90
54	-245,25	-448,42	-441,02	-290,71	-485,70	-522,50
55	-205,60	-441,51	-434,67	-290,76	-485,60	-522,50
56	-245,84	-437,08	-427,58	-290,80	-485,50	-521,00
57	-220,79	-436,03	-437,12	-290,81	-485,50	-522,70
58	-249,50	-435,60	-448,03	-290,48	-485,70	-522,40
59	-195,95	-419,67	-436,92	-290,61	-485,80	-522,30
60	-189,71	-428,29	-424,38	-290,99	-485,70	-522,50
61	-149,54	-430,21	-440,35	-290,74	-485,80	-524,00
62	-152,14	-429,42	-429,97	-290,99	-485,80	-521,50
63	-204,99	-435,28	-437,34	-290,91	-485,60	-522,20
64	-175,87	-442,79	-442,79	-290,76	-485,50	-522,50
65	-218,80	-439,58	-442,18	-290,98	-485,60	-522,80
66	-213,57	-443,46	-438,40	-290,99	-485,50	-523,60
67	-206,96	-433,11	-439,94	-290,71	-485,40	-521,70
68	-228,29	-441,04	-439,31	-290,63	-485,30	-522,80
69	-200,98	-445,77	-436,94	-290,83	-485,00	-523,70
70	-209,14	-444,98	-435,21	-290,91	-485,20	-523,00
71	-203,00	-446,83	-436,78	-290,94	-485,40	-522,90
72	-192,07	-447,89	-448,29	-290,43	-485,50	-521,90
73	-196,71	-455,25	-446,02	-290,28	-485,50	-522,50
74	-187,59	-445,24	-442,64	-290,61	-485,90	-522,40
75	-159,63	-442,95	-436,19	-290,80	-486,00	-522,30
76	-189,94	-443,74	-441,51	-290,71	-485,90	-522,60
77	-199,25	-420,24	-426,89	-291,05	-485,60	-522,40
78	-211,17	-441,32	-441,34	-290,46	-485,10	-521,80
79	-211,83	-444,53	-447,34	-290,71	-485,50	-521,60
80	-238,05	-435,36	-437,08	-290,62	-485,80	-522,60
81	-232,53	-428,93	-433,29	-290,75	-485,70	-522,40
82	-278,60	-429,28	-434,77	-290,66	-485,70	-523,00
83	-255,63	-426,99	-428,39	-290,87	-485,60	-522,60
84	-251,76	-435,66	-441,65	-290,70	-485,40	-522,50
85	-222,08	-427,96	-440,69	-290,66	-485,30	-520,10
86	-180,81	-426,89	-422,36	-291,05	-485,30	-522,10
87	-98,87	-443,98	-443,56	-290,62	-485,20	-522,00
88	-53,41	-396,71	-439,74	-291,15	-485,20	-522,30
89	-50,29	-406,12	-439,35	-291,11	-485,30	-523,80
90	-45,78	-426,18	-442,07	-291,05	-485,70	-522,90
91	-36,99	-433,41	-419,81	-290,83	-485,80	-522,20
92	-81,94	-414,00	-419,83	-290,68	-485,80	-522,30
93	-193,16	-426,30	-437,67	-291,10	-485,70	-522,50
94	-259,69	-428,45	-422,20	-290,99	-485,80	-523,10
95	-212,85	-441,34	-432,62	-291,00	-485,90	-522,40
96	-287,92	-431,18	-432,66	-290,92	-485,90	-522,60
97	-281,94	-422,58	-428,39	-291,09	-485,60	-522,60
98	-266,28	-423,65	-431,08	-291,22	-485,70	-522,60
99	-206,83	-433,77	-433,90	-291,11	-485,70	-522,90
100	-118,53	0,11	-431,44	-291,25	-485,70	-523,10
101	-109,34	-135,49	-433,05	-291,01	-485,60	-521,50
102	-212,46	-179,60	-430,13	-291,05	-485,60	-522,50
103	-202,69	-181,66	-444,82	-290,93	-485,50	-522,50
104	-224,88	-195,60	-429,42	-290,79	-485,40	-523,10
105	-228,38	-215,33	-429,76	-290,96	-485,60	-522,90
106	-224,19	-198,53	-445,04	-291,14	-485,80	-522,40
107	-223,72	-183,68	-430,69	-291,17	-485,40	-522,30
108	-198,11	-139,50	-424,66	-291,17	-484,90	-523,10
109	-196,71	-148,60	-443,70	-290,96	-484,90	-522,10
110	-158,70	-149,45	-432,70	-291,44	-485,00	-522,00
111	-185,47	-158,14	-432,96	-291,23	-485,30	-523,30
112	-136,97	-178,75	-439,92	-291,24	-485,50	-521,90
113	-211,92	-165,19	-447,06	-291,20	-485,80	-522,50
114	-175,92	-169,26	-443,37	-291,35	-485,90	-522,30
115	-163,57	-157,68	-446,24	-291,05	-485,90	-522,30
116	-195,08	-120,65	-431,24	-291,24	-486,00	-522,40
117	-168,12	-129,11	-430,71	-291,57	-485,80	-522,20
118	-190,39	-140,67	-442,87	-291,13	-485,80	-522,40
119	-224,50	-155,80	-426,48	-291,36	-486,00	-522,20
120	-181,87	-166,23	-440,67	-291,29	-486,20	-522,40

Pokračování tab. 8 Průběh potenciálu vůči elektrodě Cu/CuSO₄ (E_{Cu}) - DC
akce: Lávka pro pěší přes kolejiště nádraží v Chebu
29.05.2018

	kolej 5 mV	kolej 6 mV	trakční stožár mV	stávající patka mV	kolej 29 mV	uzem. rozvaděč mV
688	-254,45	-284,77	-423,79	-293,82		
689	-250,73	-284,13	-433,02	-293,78		
690	-210,50	-278,99	-424,39	-293,81		
691	-272,99	-275,66	-428,16	-293,86		
692	-214,02	-291,73	-432,92	-293,86		
693	-253,40	-275,28	-441,74	-293,75		
694	-244,22	-278,04	-423,28	-293,89		
695	-253,23	-280,62	-425,32	-293,81		
696	-212,62	-279,61	-435,63	-293,91		
697	-229,84	-275,41	-442,13	-293,75		
698	-252,21	-270,52	-427,04	-293,96		
699	-282,46	-287,21	-432,55	-293,85		
700	-212,73	-279,44	-435,45	-293,97		
701	-265,51	-270,87	-437,11	-293,76		
702	-227,55	-292,46	-442,53	-293,78		
703	-244,71	-274,97	-431,92	-293,86		
704	-229,35	-282,75	-442,15	-293,87		
705	-237,25	-274,45	-427,67	-294,05		
706	-225,10	-273,04	-424,90	-294,06		
707	-265,63	-267,09	-428,48	-293,95		
708	-228,87	-253,32	-440,99	-293,90		
709	-216,54	-291,25	-439,02	-294,04		
710	-236,56	-216,08	-432,53	-293,95		
711	-214,10	-206,83	-439,47	-293,84		
712	-201,27	-220,51	-432,51	-294,08		
713	-205,20	-268,45	-426,80	-293,95		
714	-228,36	-281,91	-442,41	-293,77		
715	-268,87	-270,26	-442,66	-293,73		
716	-196,42	-225,49	-440,22	-293,78		
717	-218,86	-199,41	-430,28	-293,82		
718	-179,47	-219,60	-437,09	-293,80		
719	-224,87	-206,34	-430,44	-294,09		
720	-218,25	-266,29	-427,06	-294,09		
721	-250,81	-235,17	-439,39	-293,91		
722	-194,62	-241,38	-435,65	-294,01		
723	-233,09	-240,20	-427,61	-294,11		
724	-269,18	-253,38	-432,69	-293,67		
725	-240,59	-273,15	-431,07	-293,98		
726	-245,69	-269,78	-434,25	-293,94		
727	-243,30	-288,43	-438,59	-294,09		
728	-248,06	-266,90	-426,92	-294,07		
729	-235,23	-279,48	-440,85	-293,90		
730	-223,34	-286,80	-431,70	-294,14		
731	-221,47	-282,30	-422,45	-294,09		
732	-215,30	-271,83	-442,86	-294,03		
733	-236,88	-269,89	-440,54	-293,95		
734	-255,75	-265,13	-433,08	-293,95		
735	-208,88	-263,95	-440,02	-293,94		
736	-270,68	-265,70	-419,79	-294,10		
737	-246,08	-260,09	-425,77	-294,03		
738	-249,26	-272,11	-422,59	-294,14		
739	-215,91	-223,90	-426,72	-294,21		
740	-193,81	-189,02	-428,32	-294,18		
741	-231,82	-213,74	-428,80	-294,04		
742	-202,60	-191,28	-436,71	-294,03		
743	-223,41	-224,89	-441,60	-294,07		
744	-254,39	-275,41	-429,78	-294,08		
745	-263,54	-278,22	-431,38	-294,02		
746	-242,52	-275,52	-430,26	-294,28		
747	-274,26	-272,73	-432,88	-294,08		
748	-248,93	-283,22	-437,74	-294,03		
749	-238,31	-235,03	-434,82	-294,09		
750	-222,27	-193,74	-435,92	-294,03		
751	-209,43	-202,56	-443,59	-294,00		
752	-227,82	-254,14	-437,32	-293,97		
753	-253,19	-246,44	-443,12	-294,08		
754	-237,40	-270,16	-429,59	-294,25		
755	-225,13	-296,59	-437,32	-294,22		
756	-269,62	-282,64	-441,62	-294,05		
757	-223,91	-284,39	-428,24	-294,30		
758	-256,04	-278,51	-431,32	-294,04		
759	-257,11	-284,01	-432,82	-294,18		
760	-253,57	-273,47	-424,58	-294,20		
761	-229,50	-299,69	-427,04	-294,32		
762	-217,28	-286,88	-435,71	-294,10		
763	-242,42	-308,26	-447,09	-293,99		
764	-264,95	-282,10	-428,66	-294,39		
765	-203,10	-288,55	-438,09	-294,26		
766	-225,70	-297,88	-433,32	-294,27		
767	-261,58	-290,47	-429,66	-294,36		
768	-269,96	-294,54	-425,61	-294,32		
769	-280,52	-292,22	-431,88	-294,07		
770	-247,34	-276,64	-437,60	-294,27		
771	-281,34	-281,19	-427,81	-294,29		
772	-218,72	-271,62	-436,61	-294,44		
773	-240,11	-262,47	-428,74	-294,34		
774	-270,16	-284,52	-447,25	-294,24		
775	-276,28	-272,29	-438,90	-294,21		
776	-249,91	-266,82	-438,62	-294,38		
777	-218,15	-227,01	-427,83	-294,56		
778	-211,82	-259,71	-435,88	-294,51		
779	-242,86	-231,43	-428,70	-294,49		
780	-232,96	-256,46	-446,33	-294,36		
781	-225,36	-278,00	-438,68	-294,46		
782	-246,09	-286,88	-424,54	-294,11		
783	-245,02	-281,59	-428,72	-294,22		
784	-238,81	-277,80	-423,65	-294,56		
785	-282,98	-280,56	-430,95	-294,45		
786	-258,48	-271,47	-435,76	-294,54		
787	-243,91	-260,68	-438,37	-294,33		
788	-233,48	-224,06	-429,45	-294,52		
789	-236,86	-219,43	-424,58	-294,57		
790	-262,89	-259,87	-441,32	-294,26		
791	-198,24	-217,74	-431,11	-294,58		
792	-218,27	-267,80	-438,31	-294,39		
793	-239,33	-249,51	-437,72	-294,26		
794	-277,60	-263,42	-430,18	-294,62		
795	-227,97	-261,15	-436,53	-294,23		
796	-242,46	-255,24	-434,92	-294,28		
797	-217,85	-285,95	-438,66	-294,25		
798	-250,68	-275,57	-425,53	-294,37		
799	-249,84	-275,25	-438,45	-294,28		
800	-218,04	-288,39	-439,91	-294,23		
801	-242,61	-216,74	-419,87	-294,58		
802	-240,90	-220,48	-437,17	-294,29		
803	-204,33	-221,92	-440,56	-294,25		
804	-233,48	-217,14	-436,77	-294,27		
805	-188,01	-218,01	-440,93	-294,40		
806	-220,97	-221,79	-435,29	-294,25		
807	-280,60	-295,01	-427,81	-294,50		
808	-237,33	-303,81	-440,89	-294,38		
průměr	-233,98	-284,24	-436,26	-292,70	-486,16	-522,51

Graf č. 1

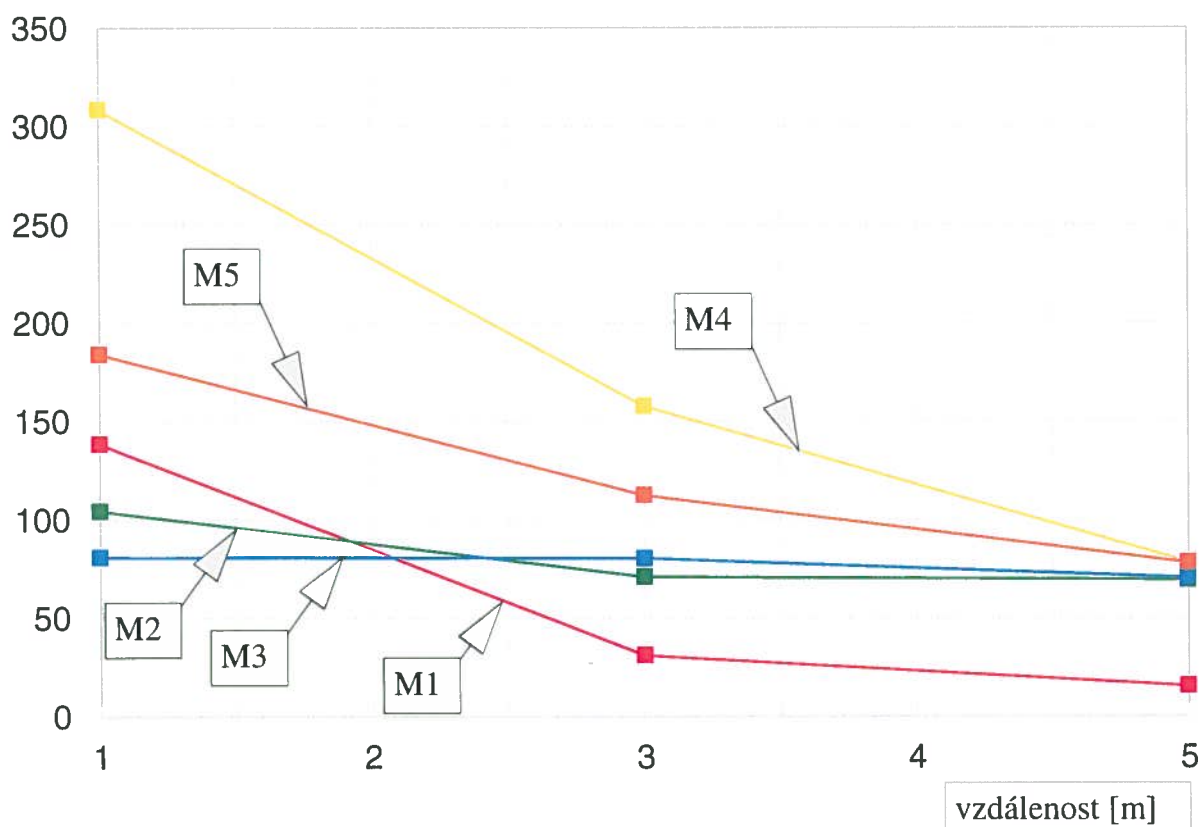
Grafický záznam hodnot měrného odporu

Lávka pro pěší přes kolejiště nádraží v Chebu

29.5.2018

body M1 až M5

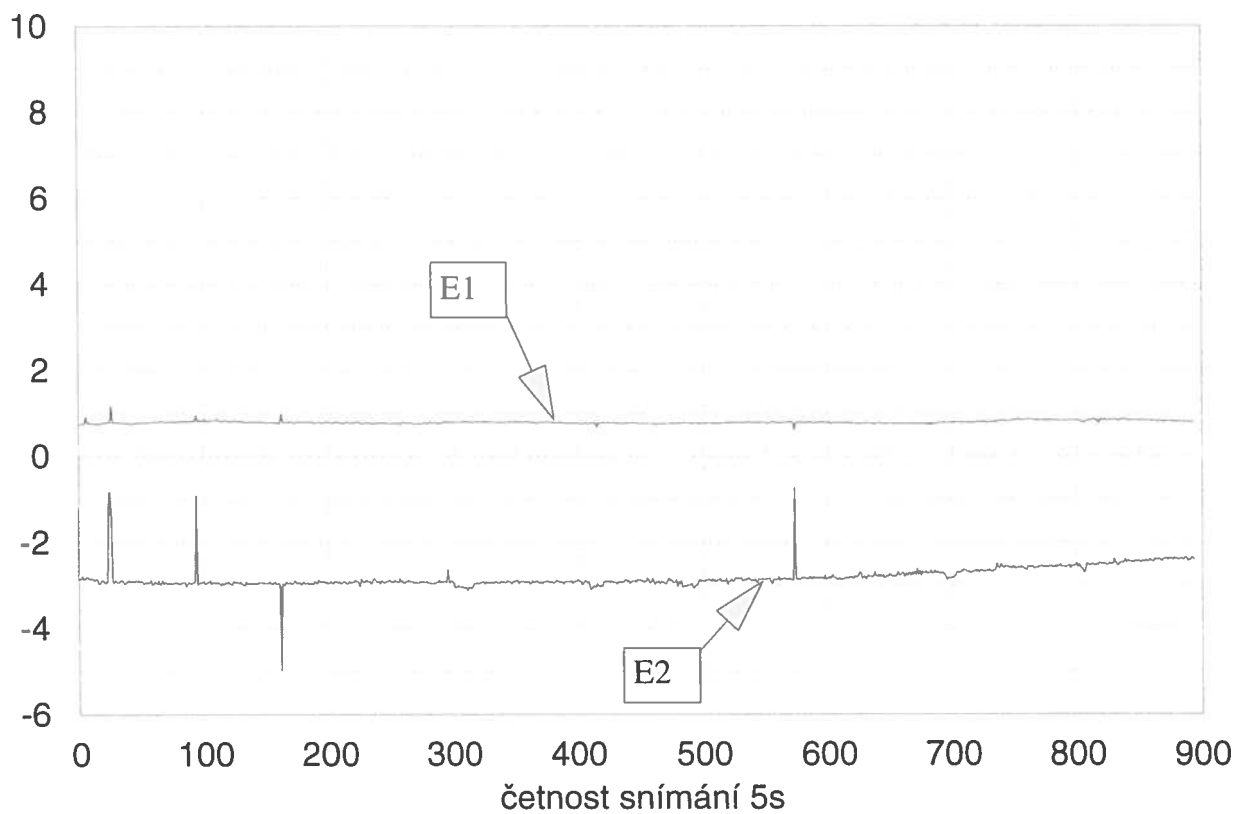
r_o [ohm.m]



E
[mV/m]

Graf č. 2 Záznam údajů M1, 29.5.2018, DC

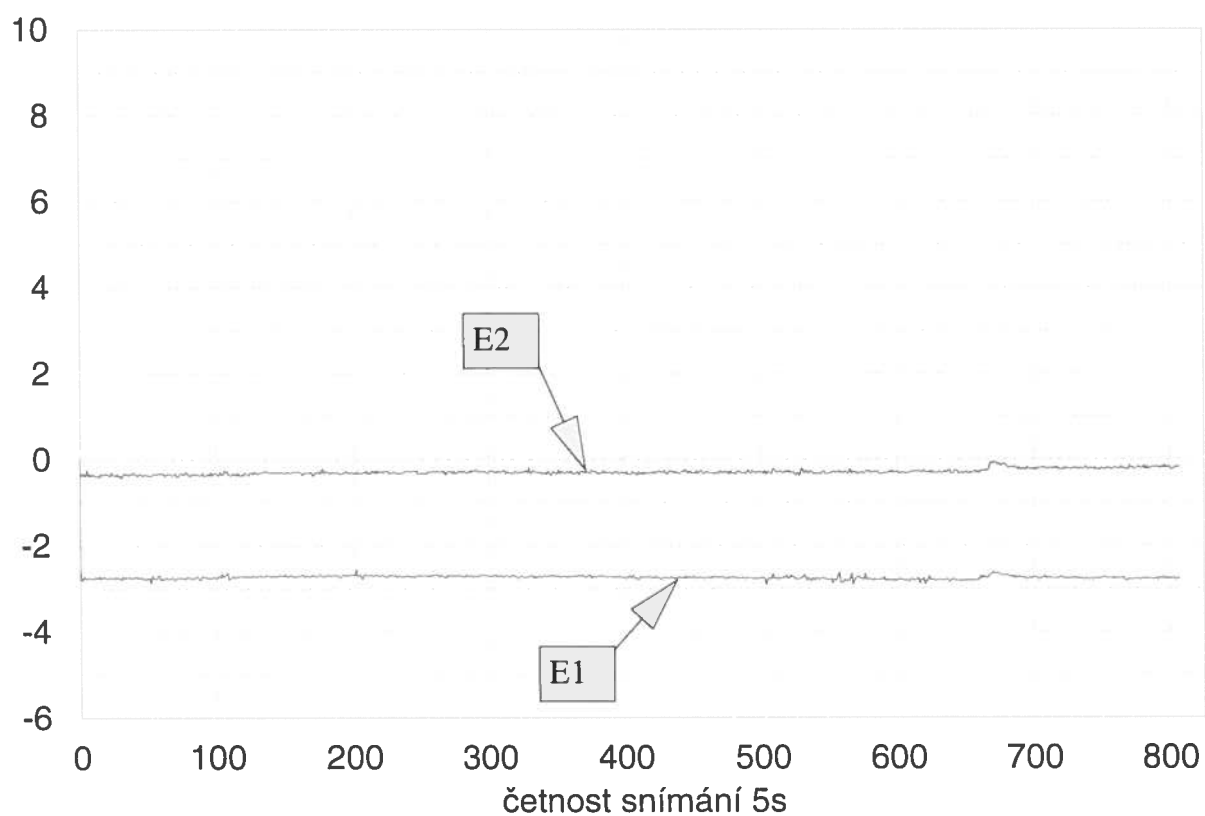
Intenzita elektrického pole v zemi
(přepočteno z naměřených hodnot na mV/m)
Lávka pro pěší přes kolejiště nádraží v Chebu



E
[mV/m]

Graf č. 3 Záznam údajů M2, 29.5.2018, DC

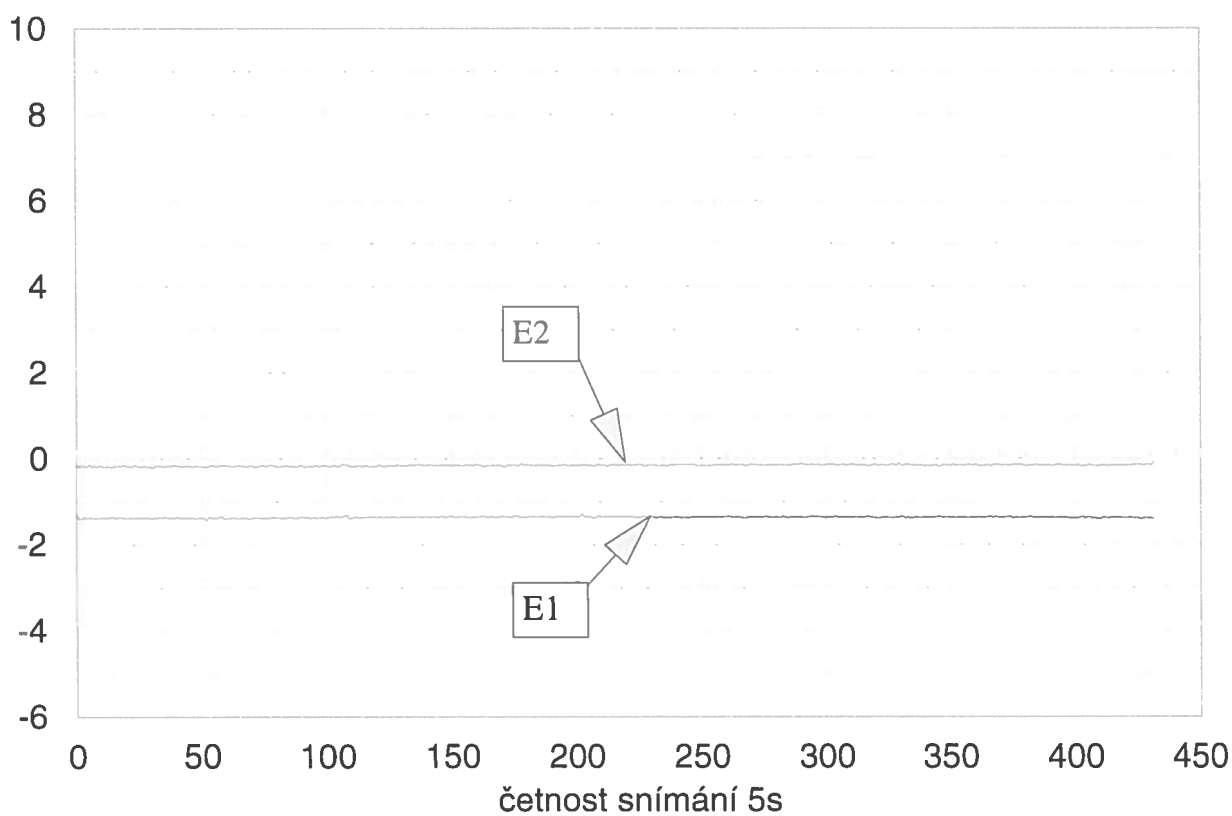
Intenzita elektrického pole v zemi
(přepočteno z naměřených hodnot na mV/m)
Lávka pro pěší přes kolejiště nádraží v Chebu



E
[mV/m]

Graf č. 4 **Záznam údajů M3, 29.5.2018, DC**

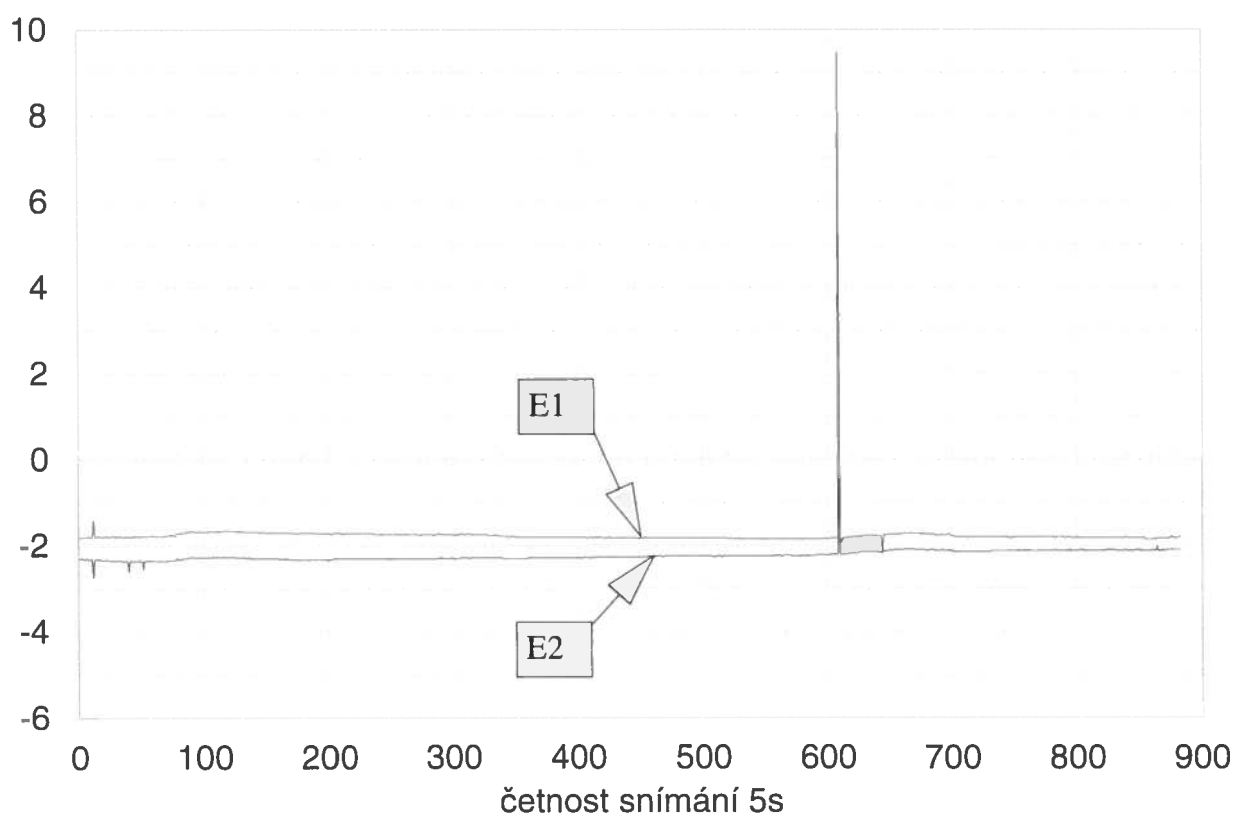
Intenzita elektrického pole v zemi
(přepočteno z naměřených hodnot na mV/m)
Lávka pro pěší přes kolejiště nádraží v Chebu



E
[mV/m]

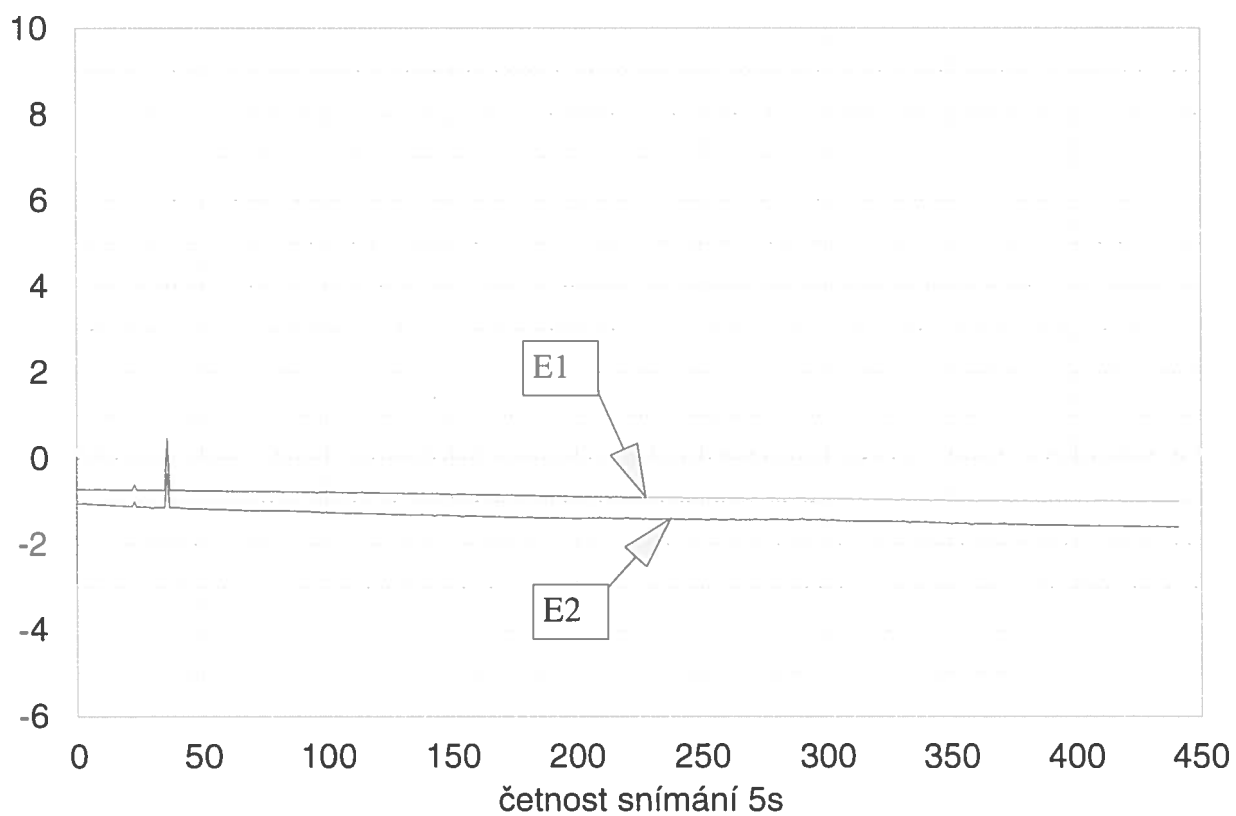
Graf č. 5 Záznam údajů M4, 29.5.2018, DC

Intenzita elektrického pole v zemi
(přepočteno z naměřených hodnot na mV/m)
Lávka pro pěší přes kolejiště nádraží v Chebu

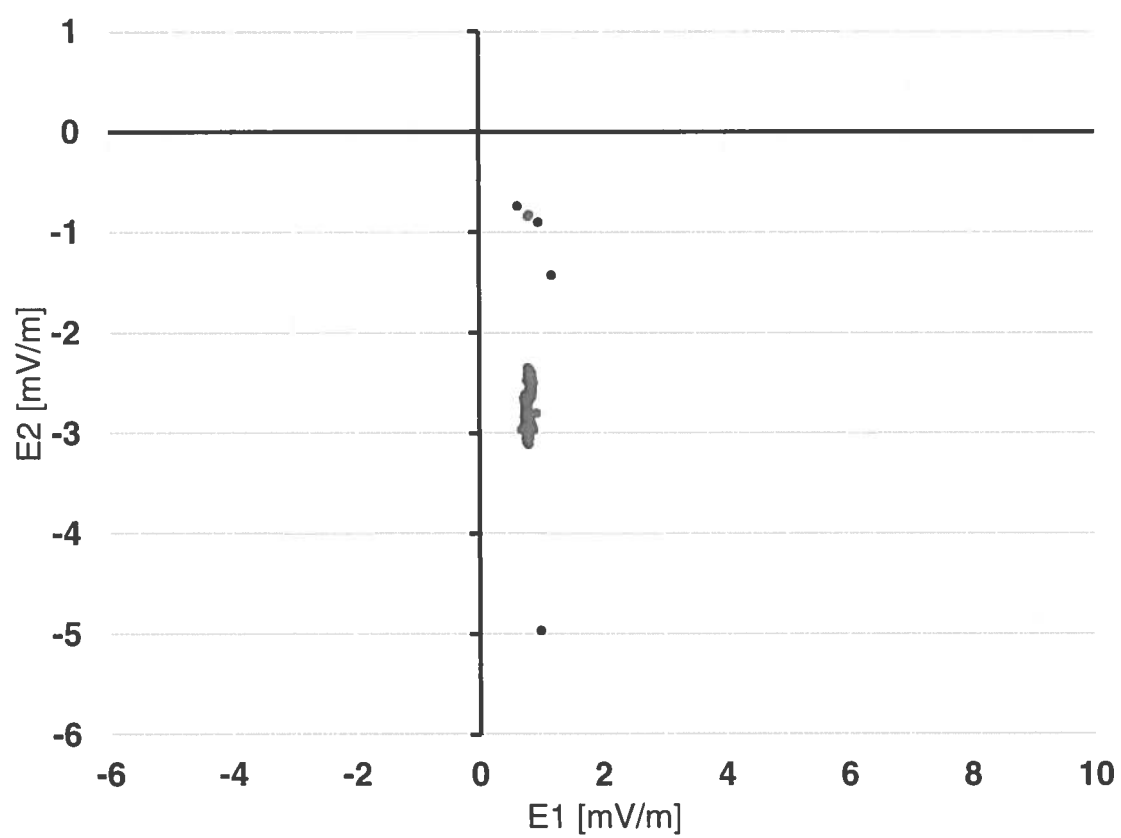


E
[mV/m]

Graf č. 6
Záznam údajů M5, 29.5.2018, DC
Intenzita elektrického pole v zemi
(přepočteno z naměřených hodnot na mV/m)
Lávka pro pěší přes kolejiště nádraží v Chebu



Graf č. 7
Histogram měřených hodnot v bodě M1, DC
Lávka pro pěší přes kolejiště nádraží v Chebu
29.5.2018

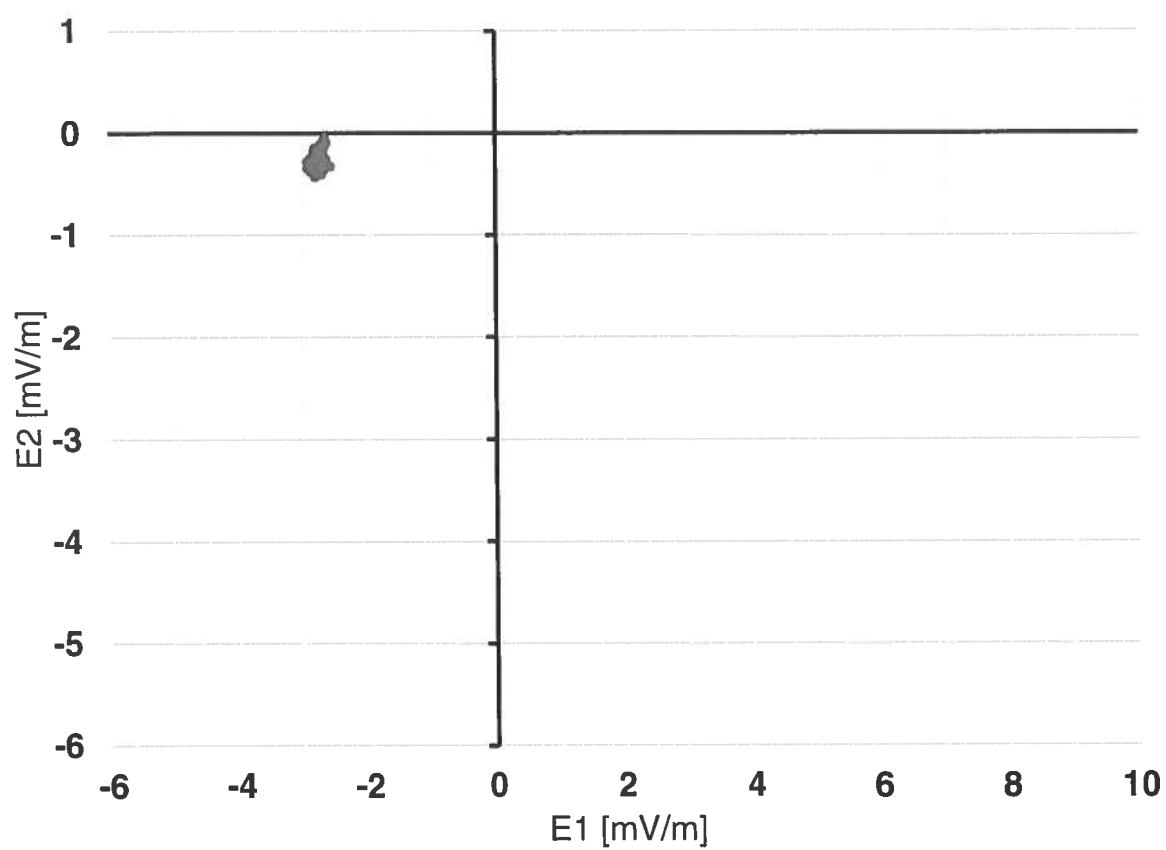


Graf č. 8

Histogram měřených hodnot v bodě M2, DC

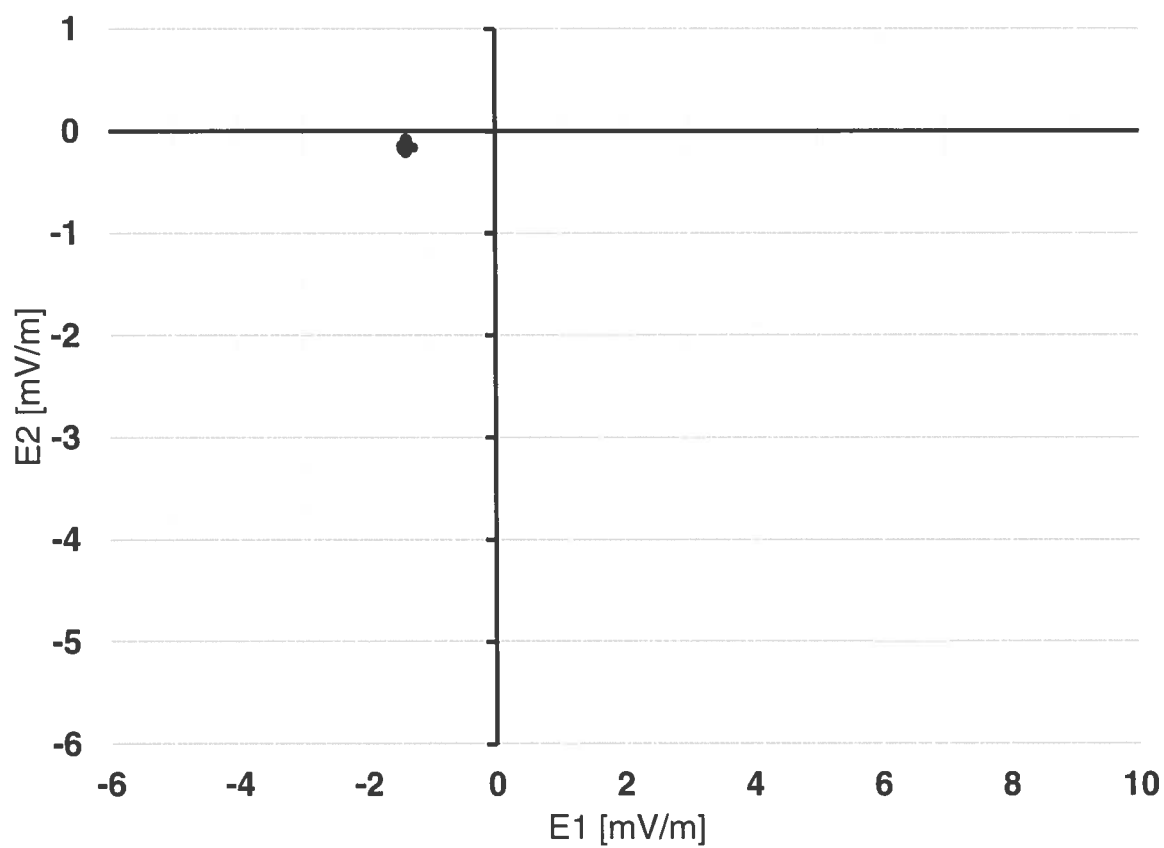
Lávka pro pěší přes kolejiště nádraží v Chebu

29.5.2018



Graf č. 9
Histogram měřených hodnot v bodě M3, DC

Lávka pro pěší přes kolejiště nádraží v Chebu
29.5.2018

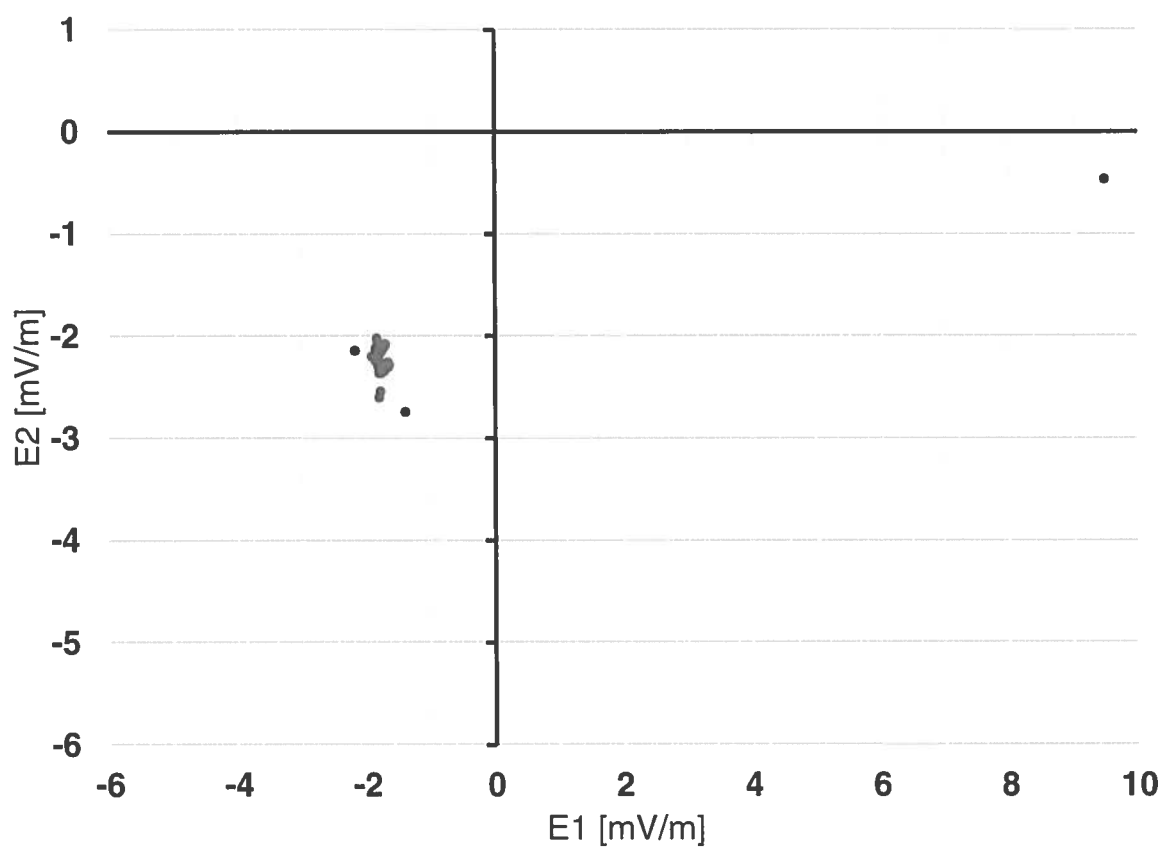


Graf č. 10

Histogram měřených hodnot v bodě M4, DC

Lávka pro pěší přes kolejiště nádraží v Chebu

29.5.2018

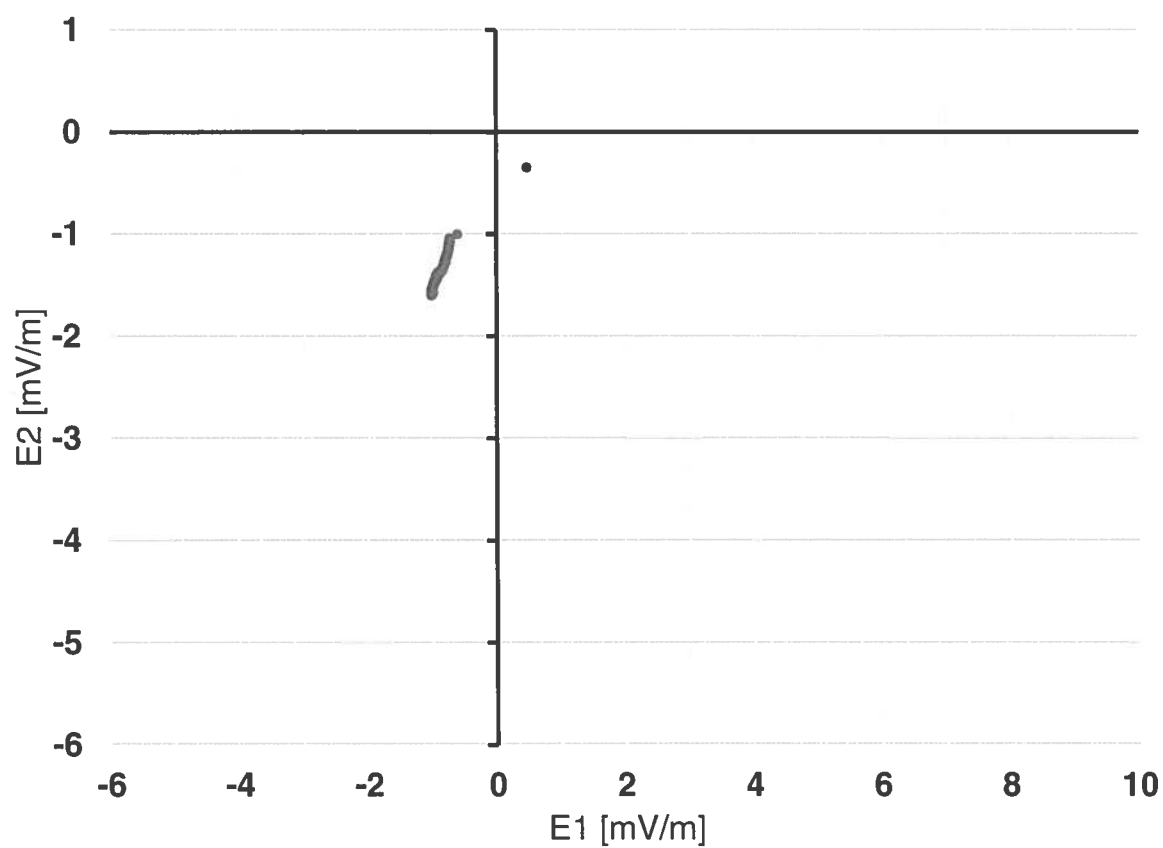


Graf č. 11

Histogram měřených hodnot v bodě M5, DC

Lávka pro pěší přes kolejiště nádraží v Chebu

29.5.2018



Graf č. 12

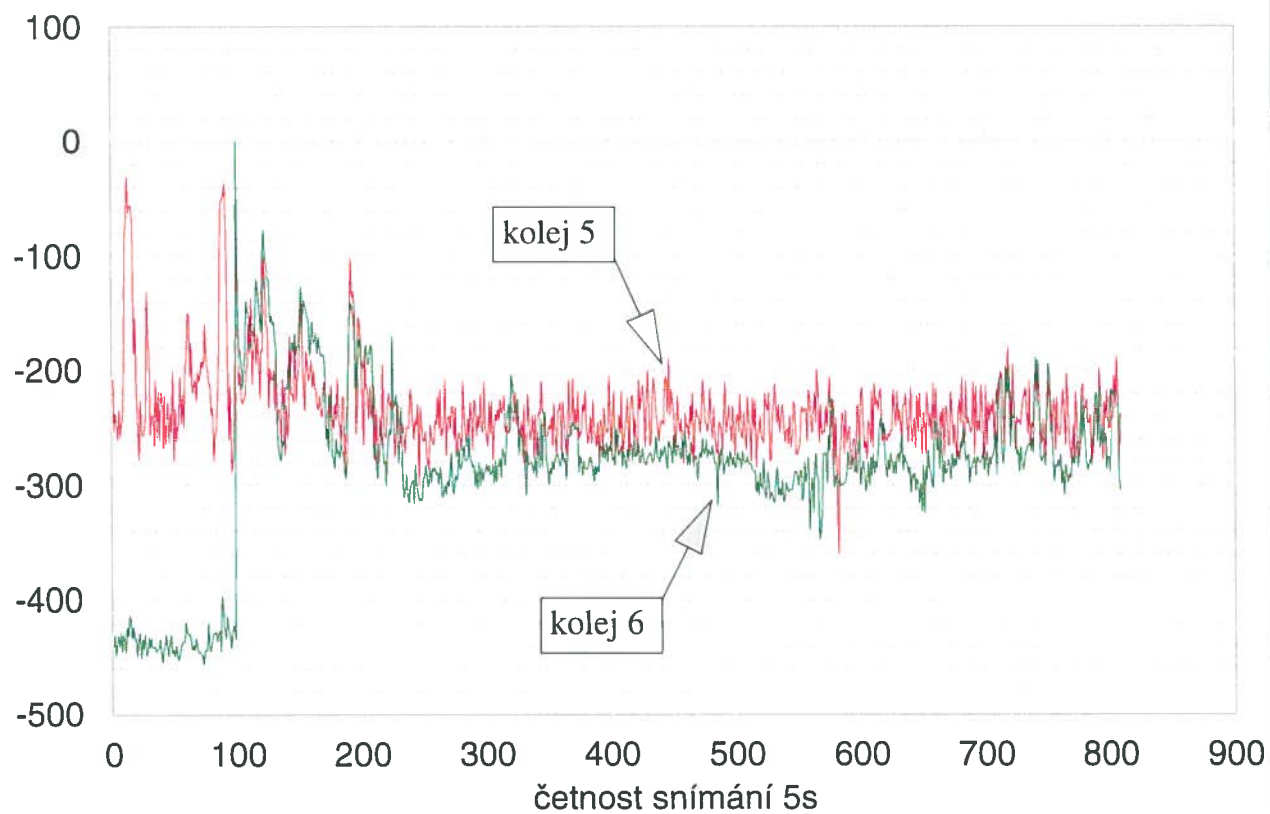
Průběh potenciálu vůči elektrodě Cu/CuSO_4

Lávka pro pěší přes kolejiště nádraží v Chebu

DC

29.5.2018

E_{Cu}
[mV]



Graf č. 13

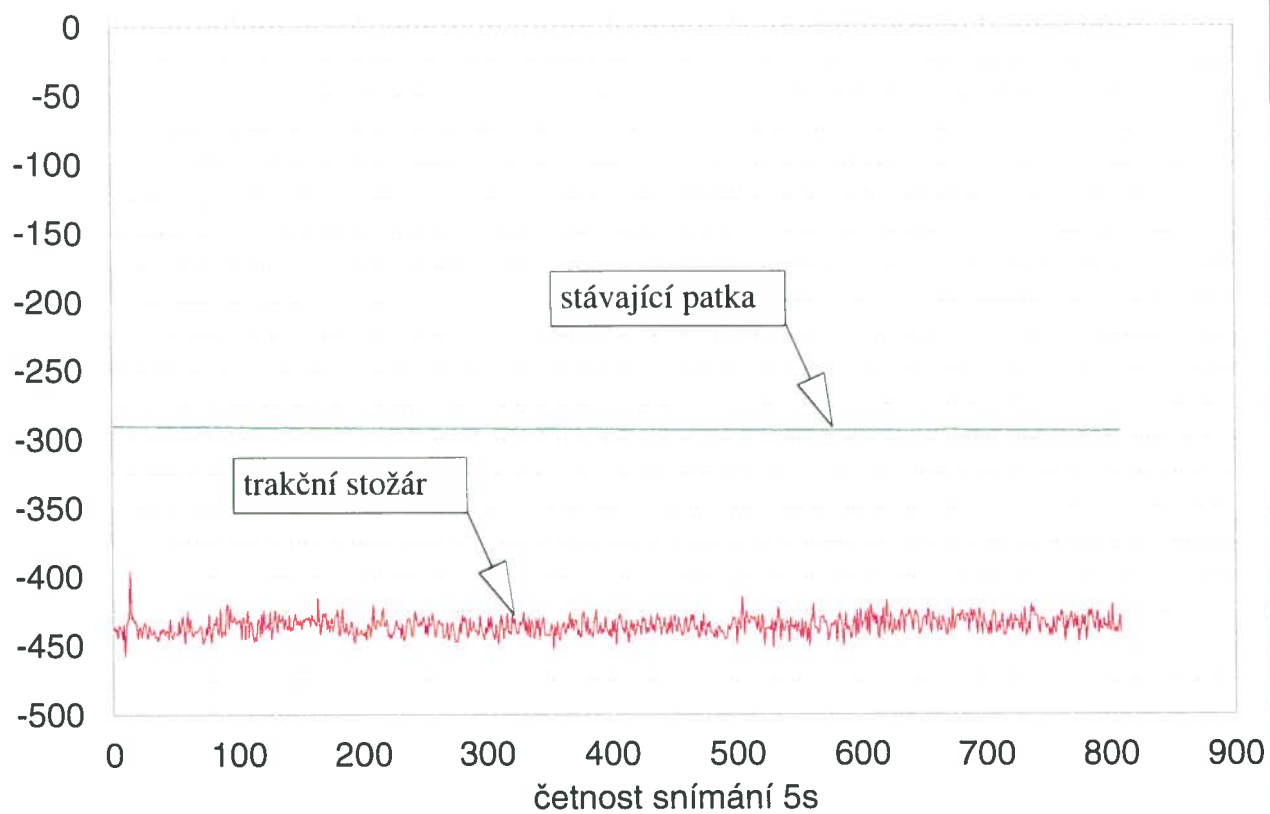
Průběh potenciálu vůči elektrodě Cu/CuSO_4

Lávka pro pěší přes kolejiště nádraží v Chebu

DC

29.5.2018

E_{Cu}
[mV]



Graf č. 14

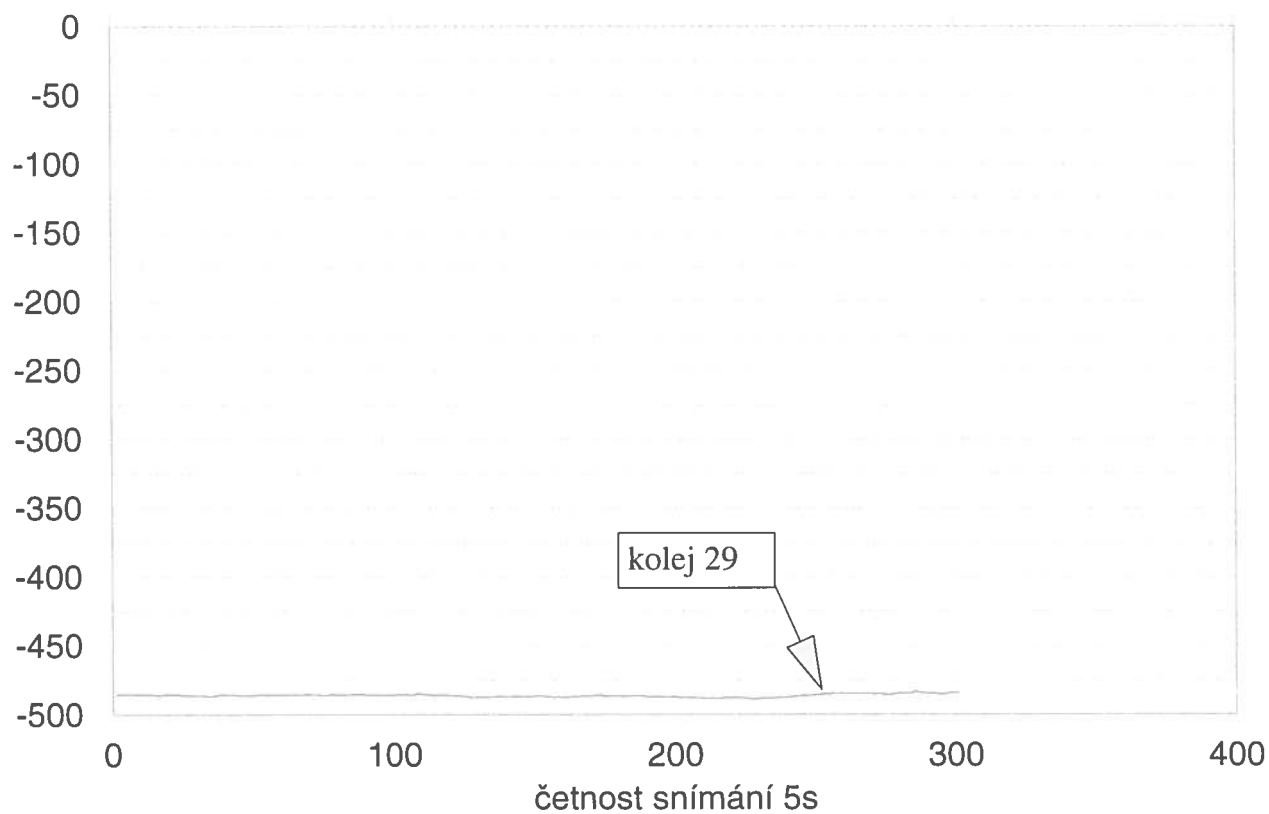
Průběh potenciálu vůči elektrodě Cu/CuSO₄

Lávka pro pěší přes kolejiště nádraží v Chebu

DC

29.5.2018

E_{Cu}
[mV]



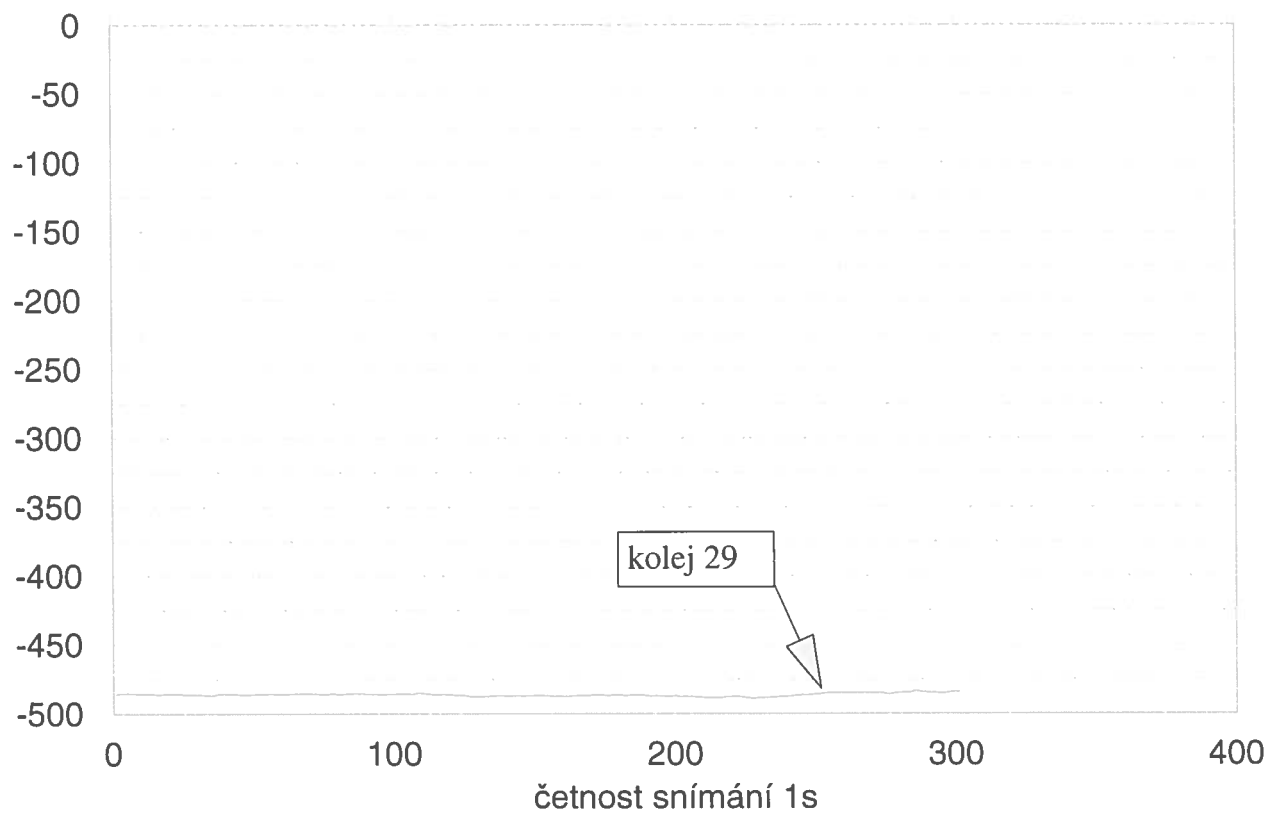
Graf č. 15
Průběh potenciálu vůči elektrodě Cu/CuSO₄

Lávka pro pěší přes kolejiště nádraží v Chebu

DC

29.5.2018

E_{Cu}
[mV]



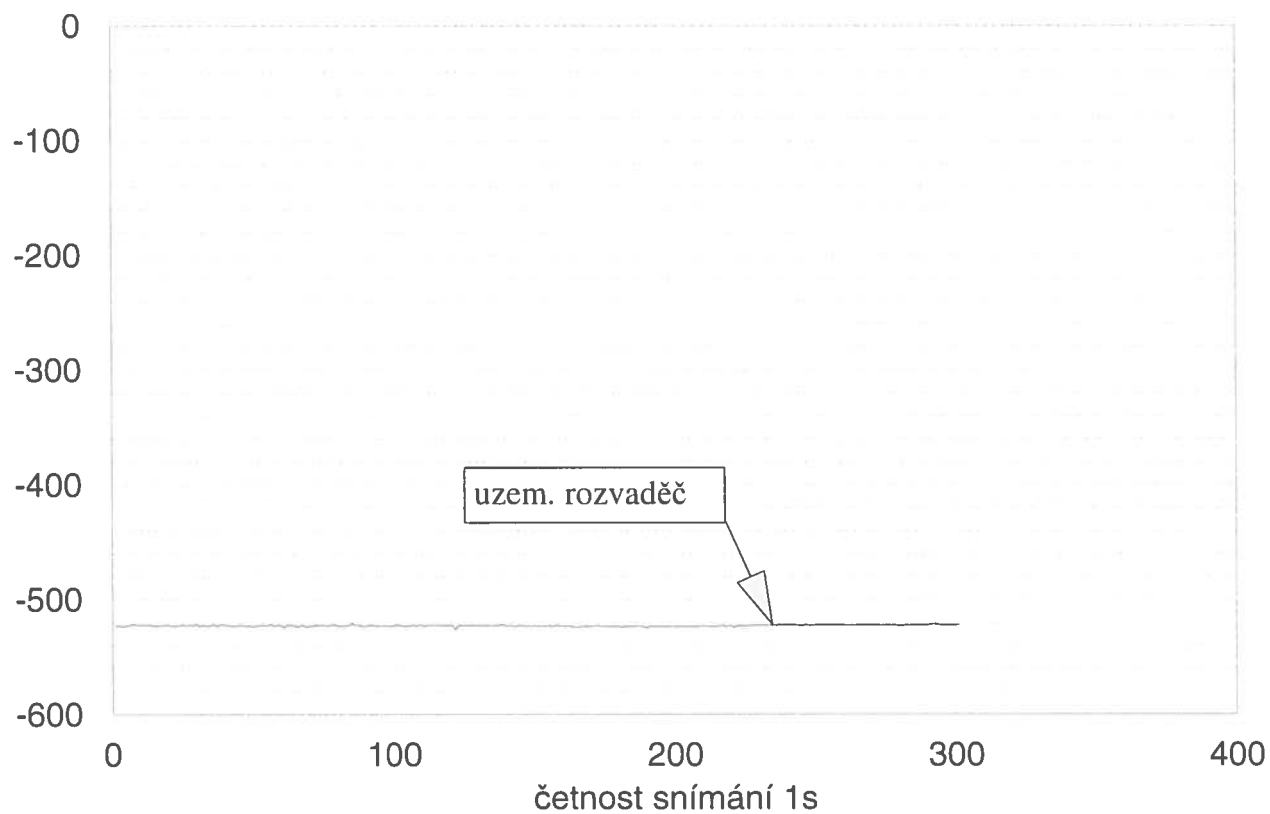
Graf č. 16
Průběh potenciálu vůči elektrodě Cu/CuSO₄

Lávka pro pěší přes kolejiště nádraží v Chebu

DC

29.5.2018

E_{Cu}
[mV]



tab.1 Záznam údajů dU1 a dU2 v bodě M1 - AC
Lávka pro pěší přes kolejiště nádraží v Chebu

míst. č.	Stanoviště M1 29.05.2018		údaje v mV					
	délka dlepu [m]		pro dU1		pro dU2		pro dU2	
	dU1	dU2	dU1	dU2	dU1	dU2	dU1	dU2
	+	+	+	+	+	+	+	+
1	16,9	70,8					16,88	70,80
2	16,4	74,7					16,44	74,70
3	16,3	74,9					16,27	74,90
4	16,6	70,5					16,58	76,50
5	16,7	75,0					16,68	75,00
6	17,0	73,2					17,01	73,20
7	16,7	68,3					16,69	68,30
8	17,3	75,6					17,27	75,60
9	17,7	75,7					17,70	75,70
10	17,8	74,4					17,77	74,40
11	18,0	74,1					18,03	74,10
12	18,7	67,9					18,69	67,90
13	18,5	71,7					18,48	71,70
14	18,0	71,9					18,91	71,90
15	18,6	72,8					18,62	72,80
16	18,6	67,6					18,59	67,60
17	18,8	67,0					18,76	67,00
18	18,5	69,6					18,46	69,60
19	18,6	73,2					18,59	73,20
20	19,1	68,1					19,08	68,10
21	18,9	71,5					18,90	71,50
22	18,7	72,1					18,74	72,10
23	18,0	68,1					18,94	68,10
24	19,3	65,3					19,25	65,30
25	19,0	68,0					19,03	68,00
26	18,7	67,0					18,67	67,00
27	19,0	64,9					18,97	64,90
28	19,1	61,6					19,14	61,60
29	18,6	63,5					18,51	63,50
30	18,5	63,6					18,49	63,60
31	17,5	61,4					17,50	61,40
32	18,3	57,3					18,31	57,30
33	18,1	60,2					18,12	60,20
34	18,1	56,6					18,07	56,60
35	18,0	62,9					17,95	62,90
36	18,1	63,5					18,12	63,50
37	18,3	59,2					18,28	59,20
38	18,1	62,8					18,06	62,80
39	18,3	60,1					18,28	60,10
40	18,6	60,1					18,77	60,10
41	18,6	61,5					18,57	61,50
42	18,5	60,6					18,48	60,60
43	18,4	67,2					18,37	67,20
44	18,6	63,2					18,59	63,20
45	18,9	63,9					18,87	63,90
46	18,6	65,1					18,82	65,10
47	18,4	67,0					18,37	67,00
48	18,4	68,0					18,36	68,00
49	18,7	66,7					18,67	66,70
50	18,8	66,2					18,84	66,20
51	18,7	67,6					18,68	67,60
52	18,5	67,9					18,48	67,90
53	18,4	66,6					18,44	66,60
54	18,5	69,1					18,48	69,10
55	18,6	68,5					18,62	68,50
56	19,0	69,0					18,99	69,00
57	18,8	68,9					18,84	68,80
58	20,0	68,0					19,96	68,00
59	20,3	69,2					20,26	69,20
60	20,6	68,7					20,57	68,70
61	20,1	67,3					20,12	67,30
62	20,1	68,0					20,07	68,00
63	19,5	69,0					19,48	69,00
64	20,1	67,4					20,13	67,40
65	20,3	65,7					20,30	65,70
66	20,4	61,6					20,36	61,60
67	20,1	54,8					20,12	54,80
68	20,5	71,8					20,51	71,80
69	20,7	72,2					20,66	72,20
70	20,1	71,1					20,07	71,10
71	19,6	60,8					19,64	60,80
72	20,7	70,0					20,65	70,00
73	20,2	67,7					20,15	67,70
74	19,9	72,1					19,85	72,10
75	20,5	71,8					20,52	71,80
76	20,9	70,9					20,86	70,90
77	19,9	68,2					19,93	68,20
78	20,6	64,8					20,80	64,80
79	20,7	65,1					20,65	65,10
80	19,8	66,1					19,78	66,10
81	19,8	67,5					19,75	67,50
82	20,1	57,7					20,05	57,70
83	19,1	58,4					19,12	58,40
84	19,2	71,3					19,16	71,30
85	20,3	66,4					20,30	66,40
86	20,6	66,8					20,58	66,80
87	21,0	70,8					20,97	70,80
88	20,9	69,9					20,85	69,90
89	20,7	71,8					20,65	71,80
90	21,0	70,9					21,04	70,90
91	20,8	71,5					20,89	71,50
92	20,6	69,9					20,64	69,90
93	20,3	71,5					20,27	71,50
94	20,1	68,4					20,10	68,40
95	20,8	71,1					20,77	71,10
96	20,4	72,1					20,35	72,10
97	19,8	71,8					19,84	71,80
98	20,1	72,8					20,11	72,80
99	19,9	71,7					19,93	71,70
100	20,4	72,5					20,37	72,50
101	20,9	70,4					20,93	70,40
102	19,9	68,8					19,88	68,80
103	19,5	64,5					19,51	64,50
104	20,0	61,4					19,95	61,40
105	19,9	55,9					19,85	55,90
106	19,6	56,3					19,61	56,30
107	18,9	68,0					18,92	68,00
108	19,0	64,5					19,03	64,50
109	19,8	62,2					19,76	62,20
110	19,8	60,8					19,79	60,80
111	19,5	63,6					19,45	63,60
112	19,1	62,9					19,11	62,90
113	19,3	61,1					19,25	61,10
114	19,1	60,0					19,09	60,00
115	18,6	62,8					18,55	62,80
116	19,1	60,9					19,07	60,90
117	19,8	61,4					19,63	61,40
118	19,8	63,6					19,79	63,60
119	19,3	60,2					19,32	60,20
120	19,4	61,9					19,41	61,90

256	18 0	8 8					18 02	8 78
257	18 4	8 2					18 35	8 18
258	18 0	10 2					18 03	10 18
259	18 3	9 6					18 32	9 58
260	17 8	10 6					17 82	10 64
261	18 2	11 7					18 21	11 69
262	18 1	8 0					18 10	7 95
263	18 4	7 8					18 41	7 81
264	18 0	4 5					18 01	4 50
265	18 2	4 6					18 16	4 64
266	18 2	7 2					18 15	7 18
267	18 6	5 4					18 55	5 38
268	18 2	5 1					18 23	5 13
269	18 4	4 6					18 35	4 59
270	18 5	8 1					18 52	8 07
271	18 5	7 9					18 45	7 86
272	18 6	7 4					18 56	7 44
273	18 1	5 9					18 07	5 89
274	18 5	5 0					18 53	5 01
275	18 6	5 1					18 60	5 10
276	18 6	4 9					18 64	4 86
277	19 0	3 3					18 95	3 30
278	18 7	6 8					18 70	6 77
279	19 9	8 0					19 92	7 97
280	19 7	5 9					19 69	5 88
281	19 3	8 4					19 33	8 37
282	19 3	4 1					19 25	4 14
283	19 0	5 7					19 03	5 73
284	18 5	7 0					18 48	6 99
285	18 7	4 5					18 65	4 52
286	17 3	3 3					17 34	3 34
287	17 2	11 2					17 19	11 20
288	17 0	15 5					16 97	15 45
289	16 7	43 3					16 66	43 32
290	17 7	37 7					17 72	37 69
291	17 9	24 1					17 91	24 06
292	17 6	5 2					17 57	5 19
293	18 1	4 5					18 05	4 48
294	18 4	2 8					18 39	2 80
295	18 4	4 6					18 42	4 55
296	18 1	6 0					18 11	6 01
297	18 2	5 8					18 23	5 75
298	18 2	3 9					18 15	3 85
299	17 8	3 4					17 78	3 35
300	17 8	4 0					17 84	3 99
301	18 6	5 2					18 55	5 23
302	17 8	5 0					17 83	4 98
303	17 6	4 8					17 59	4 81
304	18 1	8 2					18 10	8 20
305	18 8	5 9					18 61	5 85
306	18 7	3 8					18 66	3 82
307	18 7	6 0					18 69	5 96
308	17 9	4 0					17 93	4 03
309	18 6	5 6					18 64	5 57
310	19 5	4 1					19 50	4 12
311	18 2	3 8					18 16	3 60
312	18 2	4 0					18 20	3 98
313	18 4	4 3					18 44	4 26
314	18 1	7 4					18 12	7 38
315	18 9	4 4					18 94	4 38
316	19 3	2 9					19 33	2 88
317	19 6	3 9					19 61	3 91
318	19 2	3 9					19 22	3 87
319	19 5	4 7					19 49	4 79
320	19 6	5 5					19 55	5 52
321	19 1	2 0					19 12	2 02
322	20 0	3 3					19 99	3 31
323	19 4	4 3					19 43	4 25
324	19 8	6 7					19 77	6 68
325	19 7	7 1					19 74	7 05
326	20 2	3 9					20 18	3 86
327	19 4	3 2					19 41	3 24
328	19 4	2 4					19 44	2 40
329	19 7	3 8					19 73	3 82
330	20 0	7 2					20 02	7 23
331	19 4	3 3					19 40	3 28
332	19 7	3 7					19 71	3 69
333	19 7	3 7					19 72	3 71
334	19 9	2 4					19 86	2 37
335	19 9	5 0					19 92	4 98
336	19 7	4 1					19 70	4 09
337	18 9	3 9					18 93	3 87
338	19 8	3 2					19 81	3 24
339	20 1	4 8					20 10	4 59
340	19 8	5 1					19 77	5 07
341	19 4	5 5					19 42	5 54
342	19 8	6 2					19 77	6 18
343	18 9	6 7					19 92	6 71
344	20 7	8 1					20 68	8 13
345	20 2	4 6					20 21	4 58
346	20 8	3 4					20 84	3 44
347	20 9	3 5					20 90	3 92
348	20 7	7 9					20 74	7 91
349	20 6	11 9					20 59	11 89
350	20 6	7 4					20 56	7 43
351	20 4	7 5					20 40	7 45
352	20 4	10 5					20 40	10 48
353	19 8	11 7					19 77	11 68
354	19 6	12 3					19 59	12 34
355	21 0	11 0					21 03	10 86
356	19 3	14 8					19 28	14 92
357	19 1	15 6					19 11	15 56
358	18 8	19 4					18 84	19 43
359	18 9	19 1					18 91	19 07
360	20 0	18 3					19 95	18 32
361	19 7	16 1					19 70	16 14
362	20 0	16 6					19 96	16 59
363	20 1	19 8					20 10	19 82
364	19 5	16 6					19 46	16 59
365	19 6	14 8					19 63	14 59
366	19 8	20 2					19 80	20 19
367	19 3	16 0					19 31	16 04
368	19 3	10 3					19 34	10 30
369	18 9	11 3					18 86	11 34
370	19 4	11 0					19 43	11 94
371	19 7	19 2					19 69	19 18
372	20 0	11 1					20 03	11 11
373	19 1	6 1					19 12	6 05
374	18 8	4 9					18 77	4 89
375	18 3	3 9					18 31	3 93
376	18 8	3 6					18 77	3 59
průměr	18 83	35 14	0 00	0 00	0 00	0 00	18 83	35 14
mV m-1	2 35	4 39	0 00	0 00	0 00	0 00	2 35	4 39
procent	100 00	0 00	0 00	0 00	0 00	0 00	100	
Ep	4 983	0 000	0 000	0 000	0 000	0 000		
úhel st.	61,8	0 0	0 0	0 0	0 0	0 0		

tab.2 Záznam údajů dU1 a dU2 v bodě M2 - AC
Lávka pro pěší přes kolejiště nádraží v Chebu

mátr č	Staveniště M2		údaje v mV							
	29.05.2018		pro dU1				pro dU2			
	délka dipolu [m]		dU1		dU2		dU1		dU2	
	+	-	+	-	+	-	+	-	+	-
1									0,19	9,75
2	0,2	9,8					2,3	8,2	-2,34	8,15
3							2,5	8,3	-2,52	8,32
4							3,0	7,0	-3,04	7,00
5							3,7	7,7	-3,74	7,65
6							4,2	6,3	-4,24	6,29
7									2,82	8,64
8	2,8	8,6							2,87	11,57
9	2,9	11,6							12,70	16,68
10	12,7	16,7							21,77	24,00
11	21,8	24,0							27,21	37,00
12	27,2	37,0							31,62	32,07
13	31,6	32,1							29,78	31,72
14	29,8	31,7							19,71	31,20
15	19,7	31,2							7,17	18,33
16	7,2	18,3							-0,02	8,61
17							0,0	8,6	-1,27	10,79
18							1,3	10,8	-0,76	10,92
19							0,8	10,9	-3,82	10,01
20							3,8	10,0	2,99	8,26
21	3,0	8,3					-3,5	11,8	-3,52	11,80
22									7,36	17,80
23	7,4	17,8							12,45	21,82
24	12,5	21,8							5,03	14,76
25	5,0	14,8							5,57	11,78
26	5,6	11,8							0,87	9,32
27	0,9	9,3							0,91	9,36
28	0,9	9,4							2,47	11,89
29	2,5	11,9							5,58	14,83
30	5,6	14,8							8,75	17,42
31	8,8	17,4							13,06	19,16
32	13,1	18,2							4,28	17,43
33	4,3	17,4							10,13	19,93
34	10,1	19,9							5,80	16,20
35	5,8	16,2							8,11	13,13
36	8,1	13,1							4,70	16,77
37	4,7	16,8							3,92	15,36
38	3,9	15,4							11,53	16,32
39	11,5	16,3							4,90	16,53
40	4,9	16,5							6,50	18,70
41	6,5	18,7							2,15	15,83
42	2,2	15,8							10,58	15,92
43	10,6	15,9							11,63	20,83
44	11,6	20,8							24,18	27,65
45	24,2	27,7							18,19	33,07
46	18,2	33,1							28,79	28,35
47	28,8	28,4							27,81	24,59
48	27,8	24,6							10,69	20,70
49	10,7	20,7							5,27	18,71
50	5,3	18,7							4,95	16,22
51	5,0	16,2							5,53	15,63
52	5,5	15,6							2,97	16,79
53	3,0	16,6							3,78	16,03
54	3,8	16,0							-0,73	15,37
55							-0,7	15,4	-2,32	6,35
56							-2,3	6,4	-0,53	8,28
57							-0,5	8,3	-3,98	6,98
58							-4,0	7,0	-2,45	7,30
59							-2,5	7,3	-4,11	8,25
60							-4,1	8,3	-1,68	7,67
61							-1,7	7,7	-0,85	8,99
62							-0,9	9,0	-2,34	8,99
63							2,3	9,0	2,24	10,12
64	2,2	10,1							-1,87	10,89
65							-1,9	10,9	-0,53	10,94
66							-0,5	10,9	-0,59	11,79
67							-0,6	11,8	7,86	17,95
68	7,9	18,0							1,20	13,68
69	1,2	13,7							10,74	26,23
70	10,7	26,2							-0,71	12,29
71							-0,7	12,3	0,72	13,81
72	0,7	13,8							15,60	24,93
73	15,6	24,9							12,32	23,03
74	12,3	23,0							22,66	21,29
75	22,7	21,3							5,16	27,95
76	5,2	28,0							3,11	15,79
77	3,1	15,8							2,72	15,55
78	2,7	15,6							9,26	15,57
79	9,3	15,6							4,05	15,32
80	4,1	15,3							3,43	14,31
81	3,4	14,3							2,86	14,18
82	2,9	14,2							4,16	14,62
83	4,2	14,6							2,65	14,64
84	2,7	14,6							2,23	14,45
85	2,2	14,5							1,67	13,47
86	1,7	13,5							1,95	14,03
87	2,0	14,0							2,00	17,14
88	2,0	17,1							3,35	16,36
89	3,4	16,4							2,79	13,31
90	2,8	13,3							4,18	14,18
91	4,2	14,2							1,63	12,95
92	1,6	13,0							6,11	14,28
93	6,1	14,3							-1,23	10,52
94							1,2	10,5	-0,37	6,99
95							-0,4	7,0	-3,40	6,93
96							-3,4	6,9	-2,71	8,56
97							-2,7	8,6	-2,37	9,00
98							-2,4	9,0	-2,07	10,34
99							-2,1	10,3	-2,18	10,07
100							-2,2	10,1	2,31	9,31
101	2,3	9,3							-0,34	8,01
102							-0,3	8,0	-1,03	6,88
103							-1,0	6,9	-2,61	8,01
104							-2,6	8,0	-2,94	6,55
105							2,9	6,6	-3,17	8,36
106							-3,2	6,4	-0,35	8,38
107							-0,4	8,4	-3,34	6,79
108							-3,3	6,8	-1,90	6,75
109							-1,9	6,8	-3,43	6,84
110							-3,4	6,8	-3,68	7,69
111							-3,7	7,7	-3,83	6,04
112							-3,8	6,0	2,08	11,71
113	2,1	11,7							10,87	19,04
114	10,9	19,0							12,16	20,53
115	12,2	20,5							12,58	21,16
116	12,0	21,2							13,15	34,47
117	13,2	34,5							9,36	17,39
118	8,4	17,4							-1,35	7,26
119							-1,4	7,3	1,60	10,78
120	1,6	10,8							15,56	27,04
120	15,6	27,0								

256						-3.5	4.7	-3.54	4.68	
257						-1.7	7.2	-1.72	7.19	
258						-2.5	5.4	-2.54	5.40	
259	0.1	5.8						0.09	5.81	
260						-3.5	4.4	-3.46	4.42	
261						-1.8	4.1	-1.79	4.12	
262						-3.6	5.4	-3.63	5.37	
263						-1.5	4.4	-1.52	4.36	
264						-2.1	6.3	-2.07	6.29	
265						-1.5	5.8	-1.54	5.00	
266	0.3	8.0						0.31	8.01	
267						-2.7	8.0	-2.70	5.96	
268						-1.0	7.3	-0.96	7.27	
269	2.1	6.7						2.06	6.73	
270						-2.9	5.7	-2.85	5.68	
271						-1.6	6.1	-1.61	6.14	
272						-2.9	5.2	-2.93	5.17	
273						-2.7	6.1	-2.65	6.14	
274						-3.4	6.6	-3.37	6.59	
275						-2.2	6.2	-2.16	6.17	
276						-3.3	6.9	-3.28	6.85	
277						-2.1	5.1	-2.05	5.14	
278						-3.4	4.7	-3.36	4.68	
279						-3.3	4.7	-3.32	4.66	
280						-3.3	6.0	-3.33	5.96	
281	1.3	4.2						1.29	4.17	
282						-2.8	5.1	-2.84	5.08	
283	1.0	4.6						1.03	4.56	
284	1.6	7.0						1.59	7.01	
285	0.3	4.3						0.27	4.28	
286						-3.5	4.7	-3.47	4.66	
287						-1.8	6.0	-1.80	5.99	
288						-2.0	5.0	-1.95	5.03	
289						-1.5	6.9	-1.51	6.85	
290	0.7	5.4						0.72	5.35	
291						-0.5	5.8	-0.49	5.79	
292	1.7	5.4						1.67	5.42	
293						-1.8	5.9	-1.84	5.87	
294	2.1	6.3						2.11	6.25	
295						-2.1	6.1	-2.08	6.06	
296						-0.4	6.3	-0.39	6.26	
297						-3.1	5.3	-3.06	5.33	
298						-3.3	7.5	-3.30	7.46	
299						-3.1	5.9	-3.07	5.88	
300	0.5	6.4						0.54	6.38	
301						-3.0	4.7	-3.04	4.73	
302						-0.1	4.6	-0.07	4.64	
303	0.2	5.7						0.17	5.74	
304						-1.6	4.5	-1.56	4.52	
305						-1.0	4.6	-0.96	4.63	
306						-3.4	5.5	-3.36	5.54	
307						-2.6	8.2	-2.56	6.24	
308						-0.8	4.8	-0.75	4.78	
309						-3.0	6.4	-3.03	6.36	
310						-3.2	4.7	-3.23	4.70	
311						-2.0	5.2	-1.99	5.23	
312						-3.0	6.9	-3.00	6.87	
313						-3.3	6.0	-3.33	6.03	
314						-3.5	5.0	-3.51	4.95	
315						-3.1	5.4	-3.11	5.37	
316						-1.8	5.2	-1.82	5.24	
317						-3.4	5.9	-3.41	5.86	
318						-3.0	6.5	-3.00	6.51	
319						-1.2	7.1	-1.19	7.11	
320						-2.3	5.3	-2.32	5.30	
321						-3.5	6.0	-3.52	5.97	
322						-3.4	4.9	-3.40	4.88	
323						-3.4	5.6	-3.35	5.64	
324						-1.9	4.3	-1.91	4.29	
325						-3.5	4.3	-3.48	4.29	
326						-0.7	4.0	-0.74	3.95	
327						-2.1	5.2	-2.11	5.23	
328						-3.6	4.2	-3.55	4.20	
329						-3.3	6.0	-3.32	5.95	
330						-2.9	4.1	-1.95	4.08	
331						-3.1	5.5	-3.12	5.46	
332						-2.5	4.2	-2.54	4.19	
333						-3.4	8.2	-3.43	6.15	
334						-2.0	4.3	-2.02	4.28	
335						-3.3	4.3	-3.34	4.27	
336						-1.9	6.5	-1.91	6.52	
337						-3.4	4.2	-3.37	4.16	
338						-2.1	5.6	-2.12	5.58	
339						-3.5	4.7	-3.46	4.69	
340						-1.3	7.5	-1.27	7.53	
341						-3.4	4.6	-3.39	4.63	
342						-2.4	4.7	-2.44	4.74	
343						-3.7	6.8	-3.67	6.63	
344						-3.2	6.6	-3.21	6.55	
345						-3.6	4.8	-3.56	4.63	
346						-3.4	4.7	-3.40	4.70	
347						0.0	4.9	-0.04	4.94	
348						-3.3	5.2	-3.33	5.15	
349						-3.4	4.8	-3.44	4.75	
350						-3.6	5.2	-3.55	5.17	
351						-0.6	6.0	-0.59	6.04	
352						-3.8	5.0	-3.57	4.96	
353						-3.3	3.9	-3.27	3.92	
354						-1.3	5.2	-1.25	5.19	
355						-0.9	5.1	-0.93	5.10	
356						-3.4	7.1	-3.36	7.10	
357						-3.5	5.7	-3.50	5.67	
358						-2.3	6.4	-2.33	6.39	
359	1.1	6.9						1.05	6.91	
360						-0.4	8.5	-0.35	6.51	
361						-2.8	4.9	-2.81	4.93	
362						-3.4	4.3	-3.44	4.30	
363						-1.7	4.4	-1.70	4.35	
364						-2.0	3.9	-2.04	3.87	
365						-1.0	4.5	-0.97	4.53	
366						-3.1	4.0	-3.08	3.98	
367						-3.2	4.6	-3.15	4.57	
368	1.5	6.8						1.49	5.96	
369						-3.1	4.8	-3.06	4.82	
370						3.3	7.6	-3.31	7.57	
371	0.6	4.4						0.60	4.39	
372						3.1	5.3	-3.12	5.26	
373						-2.7	4.6	-2.72	4.56	
374						-2.9	4.9	-2.91	4.91	
375						-3.1	7.4	-3.12	7.41	
376						-3.2	4.5	-3.22	4.48	
průměr	6.29	14.70	0.00	0.00	0.00	0.00	2.50	5.99	0.21	8.68
mV m-1	1.26	2.94	0.00	0.00	0.00	0.00	-0.50	1.20	0.04	1.74
procent	30.85		0.00		0.00		68.15		100	
Ep	-3.197		0.000		0.000		1.299			
úhel st.	66.9		0.0		0.0		112.7			

Měřeni v bodě M2

tab.3 Záznam údajů dU1 a dU2 v bodě M3 - AC
Lávka pro pěší přes kolejiště nádraží v Chebu

máří č	Stanoviště M3		údaje v mV					
	29.05.2018		10					
	délka úpalu [m]		pro dU1		pro dU2		10	
	dU1	dU2	dU1	dU2	dU1	dU2	dU1	dU2
	+	-	+	-	+	-	+	-
1	10,5	15,2					10,52	15,24
2	11,1	19,0					11,05	18,97
3	10,8	19,5					10,83	19,53
4	11,0	19,4					11,04	19,41
5	11,7	19,3					11,71	19,32
6	11,0	19,1					11,94	19,14
7	11,3	18,5					11,27	18,50
8	10,9	17,9					10,93	17,93
9	10,6	15,6					10,58	15,57
10	10,4	15,7					10,43	15,71
11	12,6	17,4					12,57	17,39
12	12,3	18,0					12,25	18,02
13	12,1	17,4					12,05	17,39
14	12,5	18,3					12,46	18,26
15	12,9	17,9					12,87	17,90
16	12,5	17,7					12,45	17,74
17	12,0	17,2					11,98	17,23
18	11,5	17,1					11,48	17,09
19	11,4	16,5					11,42	16,50
20	11,4	16,4					11,35	16,35
21	11,2	16,4					11,19	16,41
22	10,8	16,1					10,84	16,13
23	11,0	15,8					11,03	15,78
24	10,8	16,2					10,80	16,19
25	10,7	16,2					10,73	16,17
26	10,6	15,4					10,62	15,39
27	10,5	16,5					10,50	16,53
28	10,5	16,6					10,46	16,59
29	10,5	16,6					10,48	16,80
30	11,5	16,9					11,53	16,94
31	10,7	16,8					10,74	16,80
32	11,2	16,5					11,16	16,48
33	11,2	19,0					11,21	19,04
34	11,4	19,1					11,44	19,12
35	11,0	18,6					11,01	18,75
36	10,8	18,8					10,84	18,80
37	10,7	18,8					10,71	18,75
38	10,6	18,8					10,64	18,83
39	10,6	19,2					10,60	19,20
40	10,6	16,6					10,59	16,63
41	11,2	17,7					11,18	17,69
42	11,1	17,0					11,11	16,96
43	10,7	16,4					10,69	16,39
44	10,8	17,0					10,78	16,95
45	10,4	15,8					10,39	15,83
46	10,4	15,8					10,43	15,81
47	10,5	16,0					10,45	16,01
48	10,5	16,0					10,47	15,98
49	10,5	16,1					10,53	16,10
50	10,3	16,0					10,34	16,03
51	10,6	15,8					10,60	15,82
52	10,5	15,8					10,50	15,81
53	10,5	16,0					10,54	16,03
54	10,6	16,1					10,56	16,07
55	10,6	15,7					10,59	15,72
56	10,6	15,7					10,55	15,67
57	10,7	15,8					10,70	15,76
58	10,7	15,6					10,66	15,58
59	11,3	18,3					11,30	18,28
60	12,3	17,7					12,30	17,74
61	12,6	17,9					12,58	17,93
62	14,2	19,0					14,18	19,04
63	13,5	19,4					13,46	19,42
64	14,1	21,8					14,13	21,77
65	10,8	18,0					10,80	18,04
66	10,4	18,3					10,38	18,32
67	10,4	18,9					10,39	18,93
68	12,3	20,9					12,33	20,92
69	14,1	23,2					14,06	23,23
70	13,4	22,8					13,36	22,84
71	14,4	20,6					14,38	20,61
72	12,1	18,7					12,10	18,66
73	11,9	17,3					11,89	17,31
74	12,6	18,3					12,57	18,31
75	11,8	17,4					11,84	17,38
76	11,6	18,8					11,61	16,79
77	11,0	15,1					11,03	15,07
78	10,8	15,3					10,59	15,32
79	10,6	15,1					10,60	15,08
80	10,7	15,2					10,65	15,17
81	10,8	15,4					10,55	15,35
82	10,6	14,9					10,62	14,85
83	10,6	15,2					10,62	15,24
84	10,5	15,1					10,54	15,13
85	10,6	15,3					10,62	15,31
86	10,6	17,7					10,56	17,72
87	10,6	17,7					10,59	17,73
88	10,5	17,7					10,53	17,69
89	10,5	17,7					10,52	17,67
90	10,6	17,8					10,56	17,84
91	12,3	20,5					12,26	20,50
92	14,8	22,3					14,63	22,34
93	13,7	18,6					13,70	18,58
94	14,3	20,1					14,33	20,08
95	12,4	18,4					12,44	18,35
96	10,7	15,8					10,70	15,63
97	11,0	16,2					11,01	16,21
98	10,7	15,6					10,68	15,64
99	10,8	16,1					10,78	16,10
100	10,8	15,4					10,79	15,41
101	12,5	17,9					12,51	17,92
102	13,8	19,5					13,62	19,49
103	13,6	19,0					13,55	18,97
104	11,7	16,5					11,72	16,53
105	11,8	16,9					11,83	16,85
106	11,6	16,0					11,61	15,96
107	10,8	15,2					10,82	15,23
108	11,1	15,8					11,08	15,84
109	11,1	16,0					11,11	15,98
110	10,7	15,0					10,73	14,99
111	10,5	15,3					10,47	15,28
112	10,7	16,7					10,72	16,71
113	10,6	15,7					10,55	15,70
114	10,5	15,9					10,50	15,94
115	10,6	15,6					10,63	15,60
116	10,7	15,9					10,74	15,85
117	10,8	16,2					10,77	16,19
118	10,9	15,9					10,90	15,90
119	10,8	16,8					10,78	16,00
120	10,9	16,2					10,89	16,19

256	10,8	22,8					10,84	21,95
257	10,8	18,9					10,78	18,88
258	10,9	18,7					10,86	18,70
259	10,9	19,0					10,86	18,96
260	10,8	17,3					10,82	17,26
261	10,6	16,7					10,62	16,70
262	10,5	16,5					10,51	16,48
263	10,6	16,0					10,62	16,03
264	10,7	16,2					10,67	16,20
265	10,5	15,6					10,50	15,57
266	10,6	16,0					10,57	16,01
267	10,6	15,7					10,59	15,69
268	10,6	15,8					10,56	15,83
269	10,3	16,1					10,34	16,07
270	10,6	15,8					10,58	15,82
271	11,0	15,6					11,01	15,59
272	11,0	15,5					11,04	15,48
273	10,7	15,5					10,67	15,53
274	10,8	15,5					10,78	15,52
275	10,7	15,4					10,67	15,44
276	11,1	16,0					11,11	15,99
277	10,8	15,7					10,76	15,73
278	10,7	15,3					10,65	15,31
279	10,7	15,4					10,65	15,42
280	10,6	15,5					10,58	15,48
281	10,5	16,1					10,46	16,09
282	10,6	15,8					10,58	15,79
283	10,5	15,9					10,48	15,85
284	10,6	16,4					10,56	16,38
285	10,5	16,0					10,53	15,99
286	10,5	15,7					10,52	15,69
287	10,6	15,3					10,57	15,30
288	10,8	16,0					10,59	16,03
289	10,6	15,7					10,57	15,68
290	10,6	15,8					10,57	15,76
291	10,6	15,8					10,59	15,78
292	10,7	15,9					10,68	15,93
293	10,6	15,8					10,61	15,78
294	10,9	16,2					10,89	16,17
295	10,6	15,3					10,63	15,29
296	10,6	15,6					10,62	15,59
297	10,6	15,8					10,62	15,78
298	10,7	16,1					10,68	16,14
299	10,6	16,1					10,63	16,11
300	10,8	16,0					10,62	16,01
301	10,8	16,1					10,56	16,11
302	10,5	15,9					10,54	15,91
303	13,8	16,3					13,81	16,25
304	21,0	49,6					21,04	49,57
305	30,0	79,1					30,01	79,10
306	21,5	62,4					21,51	62,40
307	18,1	48,0					18,09	46,04
308	14,8	34,2					14,79	34,21
309	13,8	29,7					13,79	29,73
310	13,2	27,4					13,24	27,35
311	13,3	26,2					13,29	26,20
312	12,8	28,1					12,80	28,13
313	21,5	18,8					21,45	18,81
314	48,1	114,0					48,11	114,00
315	43,0	147,9					42,96	147,90
316	26,9	118,1					26,88	118,10
317	15,7	118,1					15,67	118,10
318	11,2	38,9					11,24	38,87
319	11,3	24,9					11,25	24,04
320	11,5	24,2					11,47	24,21
321	11,2	24,4					11,17	24,44
322	11,2	21,2					11,20	21,22
323	11,3	18,8					11,28	18,75
324	11,3	18,8					11,25	18,62
325	11,3	19,2					11,30	19,22
326	11,2	18,7					11,18	18,69
327	11,3	18,8					11,28	18,76
328	11,2	18,4					11,21	18,43
329	11,2	19,0					11,24	19,03
330	11,4	19,5					11,37	19,48
331	11,3	19,9					11,34	18,97
332	11,5	18,3					11,48	18,30
333	11,4	18,9					11,41	18,94
334	11,8	19,0					11,55	18,95
335	11,6	18,4					11,62	18,35
336	11,9	19,2					11,86	19,21
337	12,8	19,9					12,82	19,87
338	14,1	26,2					14,08	26,19
339	15,1	34,9					15,10	34,89
340	11,7	39,3					11,67	39,26
341	11,5	18,7					11,46	18,65
342	12,0	18,0					11,96	18,02
343	11,7	18,6					11,69	18,81
344	11,5	18,4					11,54	18,43
345	11,5	18,1					11,46	18,06
346	11,5	18,1					11,49	18,12
347	11,4	18,0					11,40	17,95
348	11,4	18,3					11,37	18,26
349	21,1	17,6					21,09	17,59
350	36,1	60,3					36,07	60,27
351	50,6	112,7					50,56	112,70
352	49,4	160,6					49,42	160,60
353	37,7	155,7					37,68	155,70
354	18,0	109,5					18,03	109,50
355	11,2	48,9					11,22	48,85
356	15,1	17,8					15,09	17,78
357	11,3	30,0					11,29	30,03
358	11,3	24,8					11,27	24,57
359	11,3	17,3					11,25	17,32
360	11,3	18,0					11,27	17,95
361	11,4	17,5					11,42	17,51
362	11,5	18,1					11,50	18,13
363	11,5	18,5					11,51	18,52
364	11,6	18,5					11,58	18,45
365	11,5	18,4					11,45	18,36
366	11,5	18,8					11,53	18,77
367	12,0	18,5					11,95	18,49
368	11,9	19,3					11,89	19,31
369	11,5	19,5					11,47	19,50
370	11,2	19,1					11,17	19,10
371	11,5	19,8					11,47	19,80
372	11,5	19,5					11,52	19,52
373	11,6	19,5					11,59	19,48
374	12,5	21,8					12,46	21,82
375	12,4	20,0					12,41	20,04
376	12,6	19,7					12,55	19,72
průměr	12,07	21,01	0,00	0,00	0,00	0,00	12,07	21,01
mV m-1	1,21	2,10	0,00	0,00	0,00	0,00	1,21	2,10
práci	100,00		0,00		0,00		100	
Ep	2,423		0,000		0,000			
whel st.	60,1		0,0		0,0			

Měření v bodě MO

tab.4 Záznam údajů dU1 a dU2 v bodě M4 - AC
Lávka pro pěší přes kolejiště nádraží v Chebu

má/ č	Stanoviště M4 29.05.2018		údaje v mV		5		5	
	délka dipolu [m]		pro dU1		pro dU2		pro dU2	
	dU1	dU2	dU1	dU2	dU1	dU2	dU1	dU2
1			8,7	-3,5			8,66	-3,46
2			8,5	-3,3			8,51	-3,33
3			8,2	-3,5			8,24	-3,53
4			8,6	-3,2			8,55	-3,24
5			8,6	-2,9			8,62	-2,89
6			8,9	-2,7			8,86	-2,66
7			8,8	-2,6			8,77	-2,61
8			9,4	-2,6			9,37	-2,56
9			8,1	-3,1			8,14	-3,08
10			9,1	-2,6			9,11	-2,58
11			9,3	-2,7			9,32	-2,65
12			9,4	-2,7			9,39	-2,66
13			9,0	-2,8			9,03	-2,75
14			8,8	-2,7			8,76	-2,73
15			8,6	-2,7			8,58	-2,74
16			8,9	-2,7			8,86	-2,70
17			9,4	-2,5			9,39	-2,51
18			9,4	-2,5			9,38	-2,54
19			9,2	-2,9			9,24	-2,59
20			8,6	-2,5			8,61	-2,53
21			8,7	-2,6			8,69	-2,60
22			8,5	-2,7			8,53	-2,66
23			8,6	-2,6			8,58	-2,63
24			9,0	-2,6			8,96	-2,57
25			9,2	-2,5			9,21	-2,48
26			9,3	-2,5			9,29	-2,51
27			11,9	-2,3			11,89	-2,26
28			11,1	-2,4			11,08	-2,41
29			11,8	-2,4			11,78	-2,38
30			11,4	-2,5			11,40	-2,46
31			12,0	-2,5			12,03	-2,48
32			12,1	-2,4			12,13	-2,40
33			10,2	-2,6			10,18	-2,56
34			9,9	-2,6			9,87	-2,55
35			9,1	-2,7			9,11	-2,66
36			10,7	-2,6			10,69	-2,55
37			11,1	-2,6			11,06	-2,59
38			11,2	-2,5			11,17	-2,47
39			9,6	-2,5			9,60	-2,53
40			9,7	-2,6			9,70	-2,55
41			9,5	-2,6			9,52	-2,59
42			9,3	-2,6			9,29	-2,62
43			9,1	-2,6			9,06	-2,62
44			9,2	-2,6			9,18	-2,59
45			9,4	-2,5			9,43	-2,54
46			9,6	-2,5			9,54	-2,54
47			9,5	-2,5			9,52	-2,50
48			9,6	-2,5			9,57	-2,50
49			9,2	-2,5			9,22	-2,49
50			9,6	-2,5			9,60	-2,54
51			9,6	-2,5			9,56	-2,50
52			9,5	-2,5			9,52	-2,50
53			9,3	-2,6			9,30	-2,58
54			9,2	-2,6			9,22	-2,60
55			9,4	-2,5			9,37	-2,52
56			9,3	-2,6			9,27	-2,55
57			9,1	-2,6			9,12	-2,63
58			8,1	-3,0			8,05	-3,04
59			8,2	-3,2			8,19	-3,24
60			8,6	-3,4			8,55	-3,39
61			9,9	-3,5			9,90	-3,50
62			12,9	-3,1			12,85	-3,07
63			16,8	-2,6			16,80	-2,62
64			14,7	-2,7			14,66	-2,65
65			17,1	-2,4			17,11	-2,41
66			10,5	-3,0			10,48	-2,95
67			8,7	-3,0			8,67	-3,01
68			8,6	-2,9			8,61	-2,90
69			10,9	-2,9			10,90	-2,92
70			11,4	-3,0			11,38	-2,95
71			11,1	-2,9			11,09	-2,91
72			11,5	-2,9			11,50	-2,94
73			11,8	-3,0			11,84	-2,98
74			12,3	-3,0			12,29	-3,02
75			12,4	-3,0			12,39	-3,03
76			11,9	-3,0			11,87	-3,01
77			12,8	-3,0			12,79	-3,04
78			12,8	-3,1			12,81	-3,10
79			12,8	-3,1			12,78	-3,11
80			12,2	-3,1			12,23	-3,11
81			12,6	-3,0			12,60	-3,02
82			11,5	-3,0			11,53	-3,04
83			11,1	-3,2			11,06	-3,18
84			10,5	-3,0			10,51	-3,03
85			10,5	-3,1			10,53	-3,06
86			10,3	-3,0			10,28	-3,02
87			22,5	-3,4			22,50	-3,44
88			42,5	-2,1			42,53	-2,08
89			50,1	-1,0			50,14	-1,00
90			54,4	-0,7			54,40	-0,74
91			53,1	-1,2			53,06	-1,15
92			48,9	1,4			48,89	-1,38
93			29,0	-2,5			29,00	-2,45
94			18,1	-2,8			18,10	-2,82
95			14,6	-3,0			14,59	-2,98
96			10,7	-2,9			10,73	-2,88
97			11,0	-2,9			11,01	-2,91
98			11,2	-2,9			11,21	-2,92
99			10,8	-2,9			10,75	-2,94
100			10,9	-3,0			10,87	-2,95
101			10,9	-2,9			10,87	-2,94
102			10,9	-3,0			10,89	-3,02
103			10,6	-3,0			10,61	-3,00
104			14,4	-3,1			14,42	-3,11
105			15,7	-2,8			15,66	-2,82
106			17,1	-2,8			17,05	-2,79
107			23,0	-2,8			23,01	-2,75
108			29,5	-2,2			29,50	-2,22
109			30,1	-2,4			30,09	-2,36
110			27,7	-2,5			27,73	-2,48
111			26,1	-2,2			26,14	-2,16
112			26,4	-2,5			26,40	-2,54
113			24,1	-2,9			24,09	-2,85
114			22,6	-3,0			22,55	-2,95
115			24,9	-2,9			24,94	-2,89
116			27,7	-2,9			27,71	-2,86
117			27,2	-2,9			27,23	-2,92
118			28,1	-2,9			28,14	-2,90
119			27,9	-2,9			27,91	-2,89
120			26,3	-2,9			26,28	-2,89

256	9.2	-2.3	9.24	-2.32
257	9.2	-2.4	9.16	-2.35
258	9.1	-2.3	9.09	-2.30
259	9.1	-2.3	9.06	-2.30
260	9.2	-2.3	9.19	-2.32
261	8.9	-2.5	8.87	-2.47
262	8.7	-2.4	8.68	-2.39
263	8.7	-2.4	8.70	-2.44
264	10.1	-2.4	10.09	-2.42
265	11.3	-2.3	11.31	-2.32
266	11.7	-2.3	11.70	-2.33
267	12.0	-2.4	12.01	-2.37
268	12.8	-2.3	12.75	-2.27
269	12.0	-2.4	12.04	-2.38
270	12.1	-2.3	12.06	-2.34
271	11.4	-2.3	11.35	-2.31
272	10.3	-2.4	10.25	-2.42
273	12.2	-2.3	12.17	-2.30
274	11.4	-2.4	11.43	-2.37
275	11.0	-2.4	11.01	-2.39
276	10.1	-2.5	10.07	-2.45
277	10.1	-2.4	10.12	-2.39
278	9.0	-2.4	8.95	-2.40
279	10.6	-2.4	10.64	-2.38
280	9.1	-2.4	9.10	-2.35
281	9.5	-2.3	9.52	-2.30
282	9.3	-2.2	9.32	-2.19
283	9.5	-2.4	9.48	-2.35
284	9.7	-2.5	9.72	-2.45
285	9.8	-2.3	9.79	-2.28
286	9.7	-2.3	9.68	-2.28
287	9.5	-2.3	9.49	-2.30
288	9.9	-2.3	9.89	-2.28
289	9.7	-2.2	9.68	-2.20
290	9.9	-2.3	9.91	-2.25
291	9.5	-2.3	9.52	-2.25
292	9.8	-2.2	9.83	-2.22
293	9.3	-2.2	9.31	-2.15
294	9.5	-2.3	9.56	-2.28
295	9.6	-2.2	9.59	-2.20
296	9.7	-2.2	9.71	-2.24
297	9.1	-2.2	9.12	-2.24
298	9.7	-2.3	9.71	-2.25
299	9.5	-2.3	9.54	-2.28
300	9.5	-2.2	9.49	-2.23
301	9.6	-2.2	9.59	-2.16
302	9.0	-2.2	8.99	-2.24
303	9.6	-2.3	9.63	-2.25
304	9.7	-2.3	9.66	-2.31
305	9.7	-2.3	9.71	-2.32
306	9.8	-2.4	9.77	-2.35
307	9.2	-2.3	9.24	-2.28
308	9.8	-2.3	9.77	-2.34
309	9.8	-2.3	9.80	-2.28
310	9.6	-2.3	9.55	-2.26
311	9.7	-2.2	9.70	-2.22
312	9.6	-2.4	9.56	-2.42
313	9.2	-2.4	9.17	-2.42
314	9.8	-2.4	9.75	-2.40
315	9.9	-2.4	9.94	-2.36
316	9.8	-2.5	9.80	-2.45
317	9.5	-2.5	9.53	-2.49
318	9.6	-2.5	9.58	-2.50
319	9.1	-2.5	9.10	-2.53
320	9.7	-2.5	9.73	-2.49
321	9.7	-2.5	9.65	-2.48
322	9.8	-2.5	9.62	-2.47
323	9.7	-2.5	9.66	-2.53
324	9.5	-2.5	9.46	-2.50
325	9.3	-2.5	9.30	-2.49
326	9.9	-2.5	9.86	-2.46
327	9.8	-2.5	9.78	-2.47
328	9.6	-2.4	9.78	-2.44
329	9.6	-2.5	9.59	-2.47
330	9.9	-2.3	9.89	-2.31
331	9.8	-2.4	9.82	-2.42
332	9.4	-2.4	9.36	-2.43
333	9.9	-2.4	9.90	-2.43
334	9.7	-2.4	9.66	-2.41
335	9.7	-2.4	9.74	-2.41
336	9.8	-2.4	9.75	-2.41
337	9.7	-2.4	9.67	-2.44
338	9.7	-2.5	9.71	-2.49
339	9.3	-2.5	9.31	-2.45
340	9.7	-2.5	9.67	-2.45
341	9.2	-2.4	9.18	-2.44
342	9.7	-2.4	9.71	-2.38
343	9.5	-2.4	9.53	-2.44
344	9.7	-2.5	9.70	-2.45
345	9.2	-2.5	9.16	-2.49
346	9.7	-2.5	9.69	-2.48
347	9.7	-2.4	9.65	-2.36
348	9.7	-2.4	9.73	-2.41
349	9.4	-2.4	9.43	-2.37
350	9.8	-2.4	9.84	-2.41
351	9.7	-2.4	9.71	-2.40
352	9.5	-2.4	9.49	-2.39
353	9.3	-2.4	9.28	-2.44
354	9.7	-2.4	9.71	-2.44
355	9.6	-2.5	9.63	-2.46
356	9.5	-2.5	9.50	-2.45
357	9.3	-2.4	9.25	-2.38
358	9.3	-2.4	9.30	-2.39
359	9.6	-2.4	9.59	-2.40
360	9.5	-2.3	9.46	-2.34
361	9.6	-2.4	9.55	-2.41
362	9.4	-2.4	9.42	-2.36
363	9.5	-2.4	9.51	-2.38
364	9.6	-2.4	9.55	-2.38
365	9.6	-2.4	9.56	-2.40
366	9.6	-2.4	9.56	-2.44
367	9.1	-2.4	9.11	-2.43
368	9.6	-2.5	9.63	-2.49
369	9.7	-2.5	9.65	-2.48
370	9.5	-2.5	9.50	-2.50
371	9.6	-2.5	9.57	-2.47
372	9.5	-2.4	9.45	-2.44
373	9.7	-2.5	9.65	-2.45
374	9.5	-2.4	9.46	-2.41
375	10.2	-2.6	10.16	-2.59
376	10.4	-2.6	10.36	-2.61
průměr	59.09	0.86	15.57	-2.48
mV m-1	11.82	0.17	3.11	-0.50
procent	1.06	98.94	0.00	0.00
Ep	11.819	3.153	0.000	0.000
úhel st	0.8	350.9	0.0	0.0

tab.5 Záznam údajů dU1 a dU2 v bodě M5 - AC
Lávka pro pěší přes kolejiště nádraží v Chebu

míst. č.	Stavová M5 29.05.2018		údaje v mV					
	délka úseku [m]		pro dU1		pro dU2		dU1	dU2
	dU1	dU2	dU1	dU2	dU1	dU2		
	+	-	+	-	+	-		
1	9,8	0,4					9,76	0,44
2	9,5	0,8					9,51	0,77
3	9,4	0,6					9,42	0,59
4	10,0	0,8					9,96	0,77
5	9,8	0,4					9,78	0,36
6	9,3	0,2					9,32	0,20
7	9,3	0,2					9,34	0,15
8	9,3	0,7					9,25	0,69
9	9,1	1,1					9,13	1,09
10	9,4	1,0					9,36	0,95
11	9,4	0,6					9,39	0,64
12	9,2	0,5					9,21	0,50
13	9,2	1,2					9,23	1,18
14	9,2	0,9					9,17	0,86
15	9,7	1,0					9,66	1,02
16	9,6	1,2					9,62	1,22
17	9,6	0,9					9,58	0,91
18	10,2	1,8					10,24	1,76
19	10,2	1,7					10,23	1,67
20	9,8	1,6					9,77	1,55
21	10,2	1,8					10,16	1,78
22	10,2	2,0					10,15	1,99
23	10,0	1,7					10,02	1,71
24	9,9	1,7					9,91	1,65
25	9,4	1,3					9,40	1,33
26	9,9	1,4					9,88	1,37
27	9,8	1,2					9,82	1,23
28	9,4	1,0					9,41	1,02
29	9,6	1,1					9,64	1,14
30	9,8	1,7					9,79	1,69
31	9,9	2,5					9,91	2,50
32	9,4	2,1					9,39	2,09
33	9,3	1,9					9,31	1,92
34	9,4	1,8					9,38	1,79
35	9,3	1,9					9,26	1,93
36	10,5	2,0					10,49	1,95
37	9,0	1,9					9,00	1,93
38	9,1	1,7					9,12	1,66
39	9,0	1,5					9,02	1,45
40	9,6	1,5					9,60	1,50
41	9,1	1,4					9,08	1,36
42	9,1	1,1					9,06	1,11
43	9,0	1,1					8,95	1,12
44	8,9	1,2					8,87	1,15
45	9,1	1,4					9,12	1,40
46	9,2	1,2					9,22	1,19
47	9,6	1,1					9,60	1,14
48	9,6	1,1					9,60	1,07
49	9,1	1,1					9,13	1,06
50	9,3	1,5					9,33	1,49
51	9,5	1,4					9,54	1,36
52	9,4	1,0					9,41	0,96
53	9,8	1,3					9,77	1,31
54	9,5	1,1					9,45	1,06
55	9,2	0,8					9,23	0,79
56	9,2	0,9					9,21	0,93
57	9,1	1,2					9,05	1,18
58	9,1	1,3					9,08	1,25
59	9,1	1,3					9,08	1,25
60	9,1	1,6					9,06	1,56
61	8,7	1,3					8,65	1,34
62	9,1	1,2					9,10	1,21
63	9,0	1,1					8,96	1,05
64	8,7	1,2					8,74	1,20
65	8,9	0,9					8,85	0,93
66	9,2	0,7					9,17	0,65
67	9,2	0,8					9,19	0,79
68	9,0	1,0					9,03	1,04
69	9,1	1,1					9,14	1,10
70	9,1	0,9					9,14	0,89
71	9,0	1,0					9,02	0,96
72	9,8	0,8					9,75	0,57
73	9,8	0,5					9,80	0,49
74	9,7	0,5					9,73	0,49
75	10,4	0,4					10,35	0,37
76	10,1	0,5					10,10	0,50
77	9,8	0,5					9,75	0,50
78	9,6	0,9					9,58	0,89
79	10,1	0,8					10,11	0,83
80	9,7	1,0					9,68	0,98
81	9,5	0,3					9,49	0,32
82	9,7	1,3					9,69	1,30
83	9,2	1,0					9,21	0,99
84	9,6	0,9					9,57	0,93
85	9,2	1,4					9,21	1,40
86	9,2	1,4					9,23	1,41
87	10,1	1,1					10,09	1,13
88	9,8	1,2					9,76	1,18
89	9,5	1,4					9,46	1,39
90	10,0	0,9					10,00	0,89
91	9,1	1,2					9,08	1,16
92	9,0	1,0					9,03	1,02
93	12,0	0,0					11,98	0,01
94	12,2	0,1					12,20	0,11
95			12,5	-0,1			12,49	-0,09
96	12,7	0,2					12,70	0,16
97	13,0	0,0					12,97	0,05
98	12,8	0,5					12,76	0,49
99	12,3	0,6					12,28	0,60
100	12,2	0,7					12,18	0,66
101	12,8	0,2					12,79	0,22
102	13,3	0,4					13,34	0,39
103	13,2	0,3					13,23	0,30
104	13,2	0,2					13,15	0,22
105	13,2	0,3					13,24	0,31
106	13,2	0,5					13,20	0,57
107	12,7	0,3					12,74	0,31
108	12,6	0,3					12,55	0,34
109	13,1	0,1					13,10	0,11
110	13,1	0,1					13,08	0,07
111	13,8	0,4					13,77	0,35
112	12,8	0,4					12,78	0,35
113	13,0	0,6					13,04	0,55
114	13,9	0,8					13,85	0,79
115	13,6	0,5					13,58	0,53
116	14,2	0,6					14,18	0,61
117	14,4	0,6					14,36	0,60
118	12,1	2,0					12,08	2,03
119	12,7	1,1					12,73	1,12
120	13,9	1,2					13,89	1,15

256			16.8	-0.7			16.83	-0.65
257			17.2	-0.8			17.21	-0.77
258			17.2	-0.7			17.21	-0.72
259			17.0	-0.8			16.96	-0.84
260			15.5	-0.7			15.45	-0.73
261			15.3	-0.6			15.33	-0.62
262			15.6	-0.6			15.58	-0.59
263			15.0	-0.8			15.03	-0.77
264			16.5	-0.7			16.48	-0.72
265			16.1	-1.0			16.07	-1.02
266			15.7	-0.6			15.71	-0.59
267			16.2	-0.7			16.18	-0.71
268			16.1	-0.1			16.09	-0.10
269			16.3	-0.1			16.27	-0.07
270			17.6	-0.1			17.62	-0.10
271	18.3	0.3					18.34	0.31
272	17.6	0.1					17.78	0.12
273			17.0	-0.4			17.01	-0.38
274			14.7	-0.6			14.68	-0.63
275			15.6	-0.8			15.55	-0.82
276			15.6	-0.5			15.59	-0.51
277			15.6	-0.7			15.56	-0.65
278			14.9	-0.5			14.91	-0.46
279			14.9	-0.5			14.94	-0.48
280			14.6	-0.8			14.60	-0.76
281			14.8	-0.7			14.77	-0.71
282	16.3	0.2					16.33	0.19
283	17.1	0.1					17.11	0.10
284			15.9	0.0			15.91	-0.04
285			15.9	-0.3			15.93	-0.33
286			16.1	-0.3			16.10	-0.26
287			16.7	-0.1			16.70	-0.06
288			16.3	-0.3			16.31	-0.28
289			16.4	-0.6			16.36	-0.64
290			16.4	-0.7			16.42	-0.67
291			16.6	-0.6			16.56	-0.58
292			16.9	-0.4			16.91	-0.36
293			16.9	-0.7			16.89	-0.69
294			16.6	-0.8			16.64	-0.77
295			17.0	-0.6			17.00	-0.64
296			17.0	-0.6			16.99	-0.59
297			15.9	-0.6			15.87	-0.62
298			15.8	-0.7			15.84	-0.73
299			15.2	-0.8			15.16	-0.83
300			15.7	1.0			15.67	-0.95
301			16.1	-0.8			16.12	-0.79
302			16.0	-0.9			16.04	-0.86
303			16.6	-0.6			16.60	-0.81
304			16.5	1.0			16.48	-0.99
305			15.8	-0.6			15.81	-0.57
306			16.0	-0.6			15.99	-0.64
307			15.6	-0.8			15.81	-0.78
308			16.7	-0.8			16.70	-0.78
309			16.3	-0.9			16.25	-0.89
310			16.4	-0.6			16.37	-0.81
311			17.3	-0.9			17.30	-0.86
312			17.9	-0.7			17.86	-0.68
313			17.6	-0.7			17.55	-0.73
314			17.2	-0.8			17.16	-0.80
315			17.0	-0.6			17.04	-0.60
316			17.1	-0.7			17.06	-0.70
317			17.0	-0.9			16.95	-0.90
318			17.2	-0.7			17.20	-0.73
319			17.0	-1.1			17.04	-1.11
320			16.2	-0.8			16.22	-0.76
321			15.6	-0.8			15.80	-0.79
322			16.3	-0.7			16.29	-0.65
323			16.4	-0.0			16.39	-0.85
324			17.7	-0.4			17.72	-0.36
325			17.2	-0.8			17.19	-0.78
326			17.5	-0.5			17.54	-0.54
327			17.9	-0.6			17.87	-0.61
328			17.8	-0.3			17.75	-0.30
329			17.6	-0.5			17.63	-0.49
330			17.9	-0.4			17.94	-0.36
331			18.2	-0.5			18.20	-0.54
332			18.1	-0.3			18.06	-0.32
333			15.3	-0.7			15.32	-0.74
334			15.3	-0.7			15.27	-0.73
335			15.5	-0.8			15.46	-0.77
336			15.7	-0.5			15.73	-0.53
337			15.6	-0.6			15.62	-0.59
338			16.1	-0.6			16.05	-0.59
339			15.5	-0.8			15.53	-0.77
340			15.6	-0.6			15.57	-0.58
341			15.4	-0.5			15.41	-0.52
342			15.0	-0.7			15.04	-0.71
343			15.1	-0.6			15.11	-0.63
344			15.1	-0.6			15.12	-0.56
345			15.3	-0.7			15.25	-0.69
346			15.5	-0.6			15.45	-0.56
347			15.9	-0.8			15.87	-0.81
348			16.1	-0.3			16.12	-0.33
349			16.4	-0.8			16.42	-0.76
350			15.7	-0.8			15.74	-0.76
351			15.5	-0.6			15.45	-0.58
352			15.3	-0.6			15.27	-0.57
353			15.1	-0.4			15.14	-0.43
354			13.4	-0.6			13.37	-0.58
355			13.7	-0.6			13.65	-0.55
356			13.9	-0.5			13.85	-0.49
357			14.3	-0.5			14.31	-0.54
358			14.5	-0.6			14.48	-0.64
359			14.3	-0.4			14.31	-0.40
360			14.0	-0.2			14.02	-0.23
361			14.3	-0.4			14.31	-0.35
362			14.0	-0.3			13.96	-0.31
363			14.2	-0.5			14.18	-0.47
364			13.8	-0.7			13.83	-0.67
365			13.9	-0.7			13.94	-0.67
366			14.7	-0.1			14.74	-0.13
367			14.2	-0.6			14.18	-0.51
368			14.9	-0.8			14.86	-0.84
369			15.0	-0.9			15.01	-0.86
370			16.2	0.0			16.24	-0.04
371			16.6	-0.1			16.75	-0.08
372			15.5	-0.1			15.51	-0.06
373			15.6	-0.2			15.56	-0.23
374	12.7	2.6					12.72	2.60
375	11.7	0.9					11.65	0.89
376	11.9	1.5					11.90	1.49
průměr	11,91	0,97	15,62	-0,54	0,00	0,00	13,26	0,42
mV m-1	1,19	0,10	1,56	-0,05	0,00	0,00	1,33	0,04
procent	63,56		36,44		0,00	0,00	100	
Ep	1,195		1,563		0,000	0,000		
schůl st	4,7		358,0		0,0	0,0		

tab. 6 Zdanlivý měrný odpor půdy v místech M1 až M5

podmínky: jasno, teplota +20 °C, zem suchá, hlinitá, šterkovitá
datum měření: 29.5.2018

Lávka pro pěší přes kolejiště nádraží v Chebu

bod M1 SONEL MRU 200					
vzdál elektrod [m]	R [ohm]	koeficient	ρ ₀ [ohm.m]	stupeň agresivity	
1	16,97	1,3	138,6	I	
3	1,27	1,3	31,1	III	
5	0,38	1,3	15,4	IV	

bod M2 SONEL MRU 200					
vzdál elektrod [m]	R [ohm]	koeficient	ρ ₀ [ohm.m]	stupeň agresivity	
1	12,80	1,3	104,6	I	
3	2,90	1,3	71,1	II	
5	1,70	1,3	69,4	II	

bod M3 SONEL MRU 200					
vzdál elektrod [m]	R [ohm]	koeficient	ρ ₀ [ohm.m]	stupeň agresivity	
1	9,91	1,3	80,9	II	
3	3,28	1,3	80,4	II	
5	1,73	1,3	70,5	II	

bod M4 SONEL MRU 200					
vzdál elektrod [m]	R [ohm]	koeficient	ρ ₀ [ohm.m]	stupeň agresivity	
1	37,79	1,3	308,7	I	
3	6,44	1,3	157,8	I	
5	1,92	1,3	78,4	II	

bod M5 SONEL MRU 200					
vzdál elektrod [m]	R [ohm]	koeficient	ρ ₀ [ohm.m]	stupeň agresivity	
1	22,56	1,3	184,3	I	
3	4,59	1,3	112,5	I	
5	1,91	1,3	78,0	II	

tab. 7 Výpočet pole bludných proudů v bodech M1 až M5 - AC

	četnost [%]	E _p [mV m-1]	směr [st.]	ρ ₀ [ohm.m]	I [A m-2]	stupeň agresivity
M1 I.kv. ++	100,0	5,0	61,8	15,4	3,25E-04	IV
	0,0	0,0	0,0	15,4	0,00E+00	-
	0,0	0,0	0,0	15,4	0,00E+00	-
	0,0	0,0	0,0	15,4	0,00E+00	-
M2 I.kv. ++	30,9	3,2	66,9	69,4	4,60E-05	III
	69,1	1,3	112,7	69,4	1,87E-05	III
	0,0	0,0	0,0	69,4	0,00E+00	-
	0,0	0,0	0,0	69,4	0,00E+00	-
M3 I.kv. ++	100,0	2,4	60,1	70,5	3,44E-05	III
	0,0	0,0	0,0	70,5	0,00E+00	-
	0,0	0,0	0,0	70,5	0,00E+00	-
	0,0	0,0	0,0	70,5	0,00E+00	-
M4 I.kv. ++	1,1	11,8	0,8	78,4	1,51E-04	IV
	0,0	0,0	0,0	78,4	0,00E+00	-
	0,0	0,0	0,0	78,4	0,00E+00	-
	98,9	3,2	350,9	78,4	4,02E-05	III
M5 I.kv. ++	63,6	1,2	4,7	78,0	1,53E-05	III
	0,0	0,0	0,0	78,0	0,00E+00	-
	0,0	0,0	0,0	78,0	0,00E+00	-
	36,4	1,6	358,0	78,0	2,00E-05	III

tab. 8 Průběh potenciálu vůči elektrodě Cu/CuSO₄ (E_{Cu}) - AC
akce: Lávka pro pěší přes kolejíště nádraží v Chebu
29.05.2018

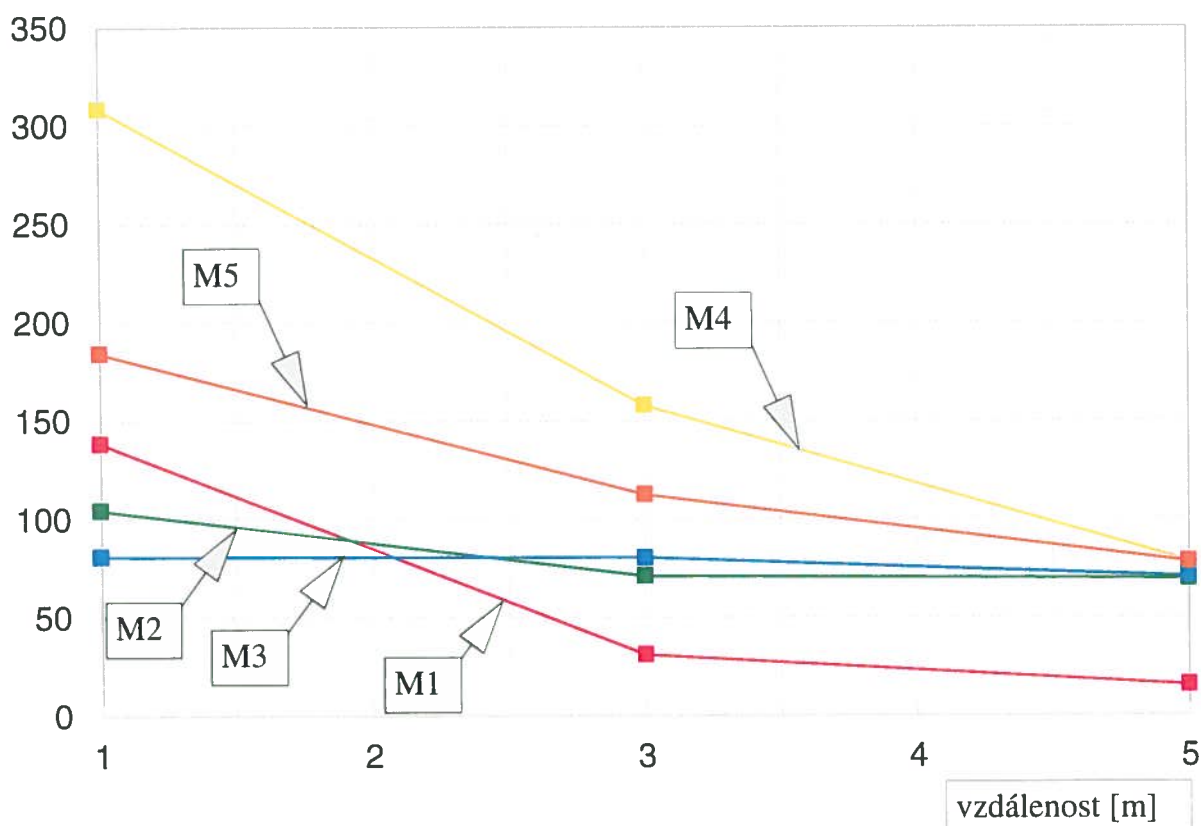
	kolej 5 mV	kolej 29 mV	uzem. rozvaděč mV
1	798,00	252,00	83,50
2	821,00	251,00	83,10
3	814,00	251,00	83,60
4	812,00	253,00	83,10
5	801,00	251,00	82,40
6	798,00	249,00	82,40
7	785,00	249,00	82,60
8	825,00	250,00	81,50
9	903,00	249,00	81,70
10	953,00	249,00	81,20
11	1064,00	249,00	81,10
12	1030,00	251,00	80,80
13	917,00	250,00	81,70
14	924,00	248,00	81,20
15	814,00	247,00	80,20
16	725,00	246,00	81,10
17	721,00	244,00	77,50
18	720,00	246,00	86,60
19	726,00	247,00	75,20
20	746,00	248,00	74,50
21	753,00	248,00	74,60
22	758,00	253,00	75,10
23	753,00	251,00	74,90
24	758,00	261,00	74,90
25	792,00	261,00	74,20
26	921,00	269,00	74,30
27	1022,00	270,00	74,50
28	1073,00	273,00	74,70
29	1093,00	277,00	75,10
30	1104,00	276,00	75,20
31	1105,00	282,00	74,50
32	1100,00	280,00	73,50
33	1072,00	279,00	73,50
34	1056,00	278,00	73,40
35	1037,00	276,00	72,80
36	1024,00	276,00	72,90
37	1010,00	275,00	73,00
38	983,00	277,00	72,80
39	956,00	276,00	72,50
40	943,00	286,00	72,70
41	882,00	291,00	73,40
42	902,00	292,00	75,00
43	834,00	292,00	74,90
44	825,00	290,00	74,90
45	821,00	287,00	74,10
46	814,00	287,00	74,70
47	821,00	283,00	74,70
48	842,00	284,00	73,50
49	848,00	283,00	74,30
50	862,00	284,00	74,20
51	853,00	290,00	74,00
52	838,00	292,00	89,40
53	832,00	293,00	90,80
54	828,00	293,00	74,30
55	841,00	293,00	74,80
56	846,00	295,00	75,00
57	845,00	294,00	75,60
58	843,00	293,00	75,00
59	837,00	294,00	74,90
60	833,00	294,00	75,20
61	830,00	293,00	75,20
62	803,00	294,00	75,00
63	786,00	297,00	75,10
64	785,00	297,00	77,50
65	784,00	297,00	77,30
66	785,00	297,00	86,20
67	783,00	297,00	98,90
68	785,00	295,00	86,30
69	785,00	294,00	85,80
70	801,00	294,00	82,10
71	804,00	268,00	79,80
72	801,00	268,00	81,40
73	798,00	267,00	81,40
74	797,00	276,00	81,40
75	799,00	297,00	81,70
76	805,00	298,00	81,40
77	807,00	302,00	80,90
78	804,00	304,00	81,00
79	805,00	307,00	80,80
80	781,00	311,00	80,70
81	781,00	314,00	81,30
82	775,00	313,00	80,90
83	714,00	312,00	80,70
84	780,00	313,00	80,90
85	782,00	316,00	80,80
86	783,00	317,00	80,70
87	778,00	317,00	86,50
88	769,00	317,00	84,80
89	766,00	313,00	80,70
90	771,00	306,00	77,20
91	756,00	325,00	77,50
92	754,00	321,00	77,50
93	739,00	321,00	77,20
94	746,00	323,00	76,20
95	748,00	331,00	76,50
96	734,00	333,00	77,30
97	748,00	333,00	77,10
98	747,00	327,00	74,90
99	750,00	326,00	76,30
100	756,00	326,00	76,30
101	758,00	326,00	76,90
102	767,00	333,00	77,10
103	769,00	335,00	77,20
104	763,00	340,00	77,80
105	765,00	338,00	78,00
106	758,00	339,00	79,50
107	754,00	340,00	80,30
108	756,00	341,00	83,10
109	768,00	345,00	83,10
110	780,00	348,00	82,50
111	786,00	349,00	81,10
112	787,00	359,00	79,50
113	784,00	369,00	79,80
114	789,00	365,00	82,10
115	788,00	344,00	81,90
116	775,00	344,00	81,70
117	764,00	351,00	81,90
118	752,00	353,00	80,60
119	747,00	340,00	82,70
120	738,00	338,00	81,00
121	738,00	333,00	80,80
122	759,00	337,00	83,30

Pokračování tab. 8 Průběh potenciálu vůči elektrodě Cu/CuSO₄ (E_{Cu}) - AC
akce: Lávka pro pěší přes kolejíště nádraží v Chebu
29.05.2018

	kolej 5 mV	kolej 29 mV	uzem. rozvaděč mV
181		431,00	89,10
182		434,00	88,70
183		440,00	101,40
184		443,00	110,70
185		446,00	109,30
186		468,00	108,20
187		457,00	109,70
188		462,00	105,70
189		469,00	99,60
190		471,00	95,50
191		468,00	93,50
192		471,00	86,10
193		475,00	96,10
194		491,00	93,90
195		506,00	94,50
196		507,00	90,30
197		503,00	91,10
198		502,00	87,70
199		495,00	88,50
200		487,00	90,90
201		479,00	90,40
202		480,00	87,90
203		473,00	89,00
204		470,00	89,60
205		471,00	88,50
206		467,00	91,80
207		466,00	86,00
208		451,00	95,00
209		472,00	87,20
210		481,00	99,70
211		478,00	102,00
212		477,00	103,90
213		476,00	104,20
214		480,00	105,10
215		470,00	105,40
216		479,00	105,20
217		484,00	105,60
218		485,00	105,40
219		484,00	102,60
220		486,00	86,30
221		487,00	88,60
222		491,00	88,60
223		500,00	88,80
224		501,00	89,30
225		504,00	91,00
226		503,00	83,80
227		505,00	93,50
228		504,00	92,60
229		507,00	92,00
230		508,00	91,70
231		509,00	91,90
232		513,00	93,40
233		516,00	93,20
234		515,00	95,60
235		517,00	94,40
236		520,00	96,20
237		512,00	97,90
238		513,00	99,20
239		514,00	105,00
240		521,00	99,70
241		522,00	100,00
242		522,00	101,20
243		523,00	103,60
244		527,00	101,70
245		530,00	99,30
246		528,00	101,40
247		528,00	90,40
248		534,00	90,70
249		524,00	90,80
250		523,00	90,80
251		508,00	90,70
252		524,00	89,60
253		527,00	90,40
254		527,00	91,80
255		527,00	87,00
256		529,00	86,40
257		532,00	88,00
258		533,00	88,60
259		535,00	93,80
260		537,00	87,40
261		541,00	90,30
262		545,00	92,80
263		547,00	89,60
264		548,00	87,80
265		553,00	91,20
266		555,00	91,50
267		556,00	87,40
268		556,00	89,00
269		558,00	90,70
270		561,00	89,90
271		560,00	89,80
272		558,00	91,00
273		557,00	87,00
274		561,00	90,30
275		565,00	90,20
276		568,00	90,20
277		568,00	89,40
278		569,00	89,30
279		570,00	89,40
280		581,00	89,60
281		625,00	88,50
282		616,00	89,90
283		618,00	86,30
284		600,00	87,30
285		607,00	87,20
286		601,00	86,20
287		591,00	88,30
288		598,00	88,50
289		575,00	89,00
290		573,00	89,00
291		614,00	89,10
292		624,00	90,30
293		632,00	89,70
294		633,00	83,90
295		658,00	83,90
296		621,00	88,80
297		627,00	89,00
298		627,00	89,60
299		629,00	90,20
300		622,00	92,30
301		606,00	92,40
průměr		618,37	85,09

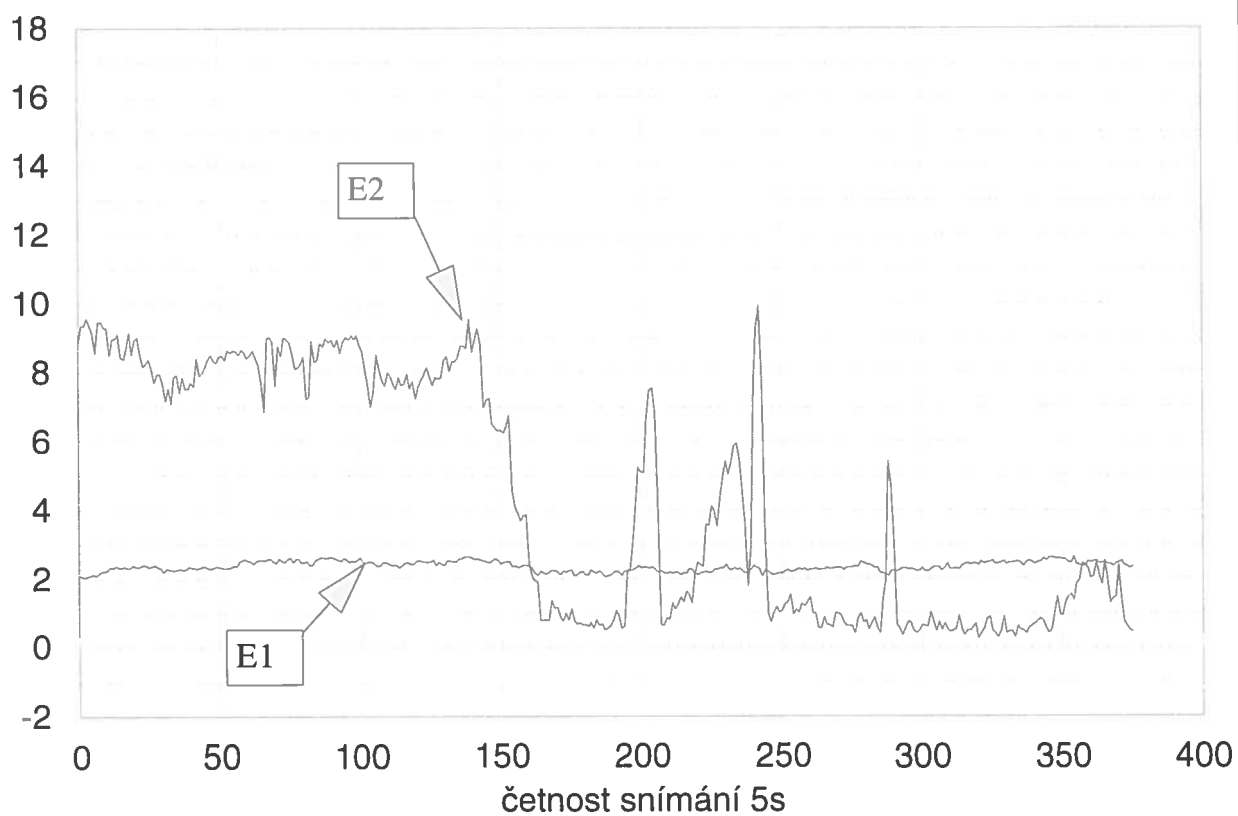
Graf č. 1
Grafický záznam hodnot měrného odporu
Lávka pro pěší přes kolejiště nádraží v Chebu
29.5.2018
body M1 až M5

r_o [ohm.m]



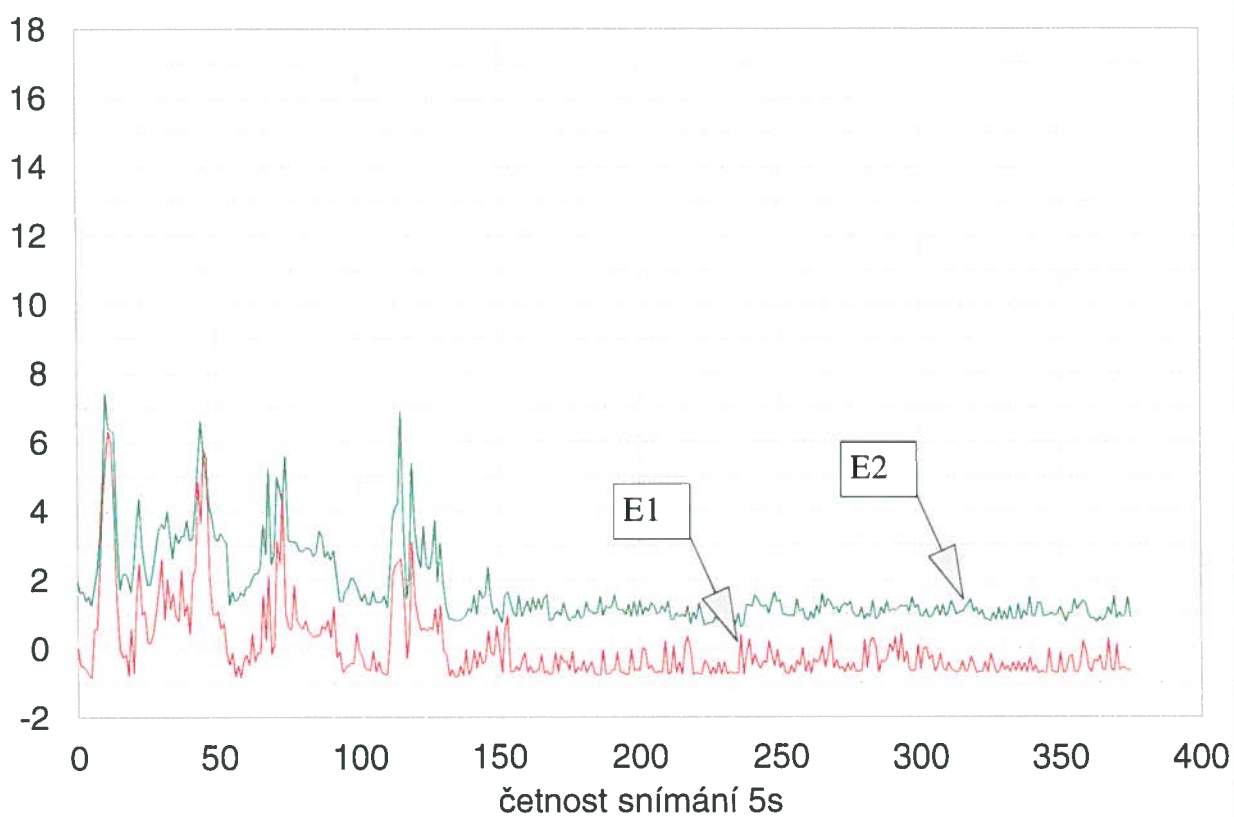
E
[mV/m]

Graf č. 2
Záznam údajů M1, 29.5.2018, AC
Intenzita elektrického pole v zemi
(přepočteno z naměřených hodnot na mV/m)
Lávka pro pěší přes kolejiště nádraží v Chebu



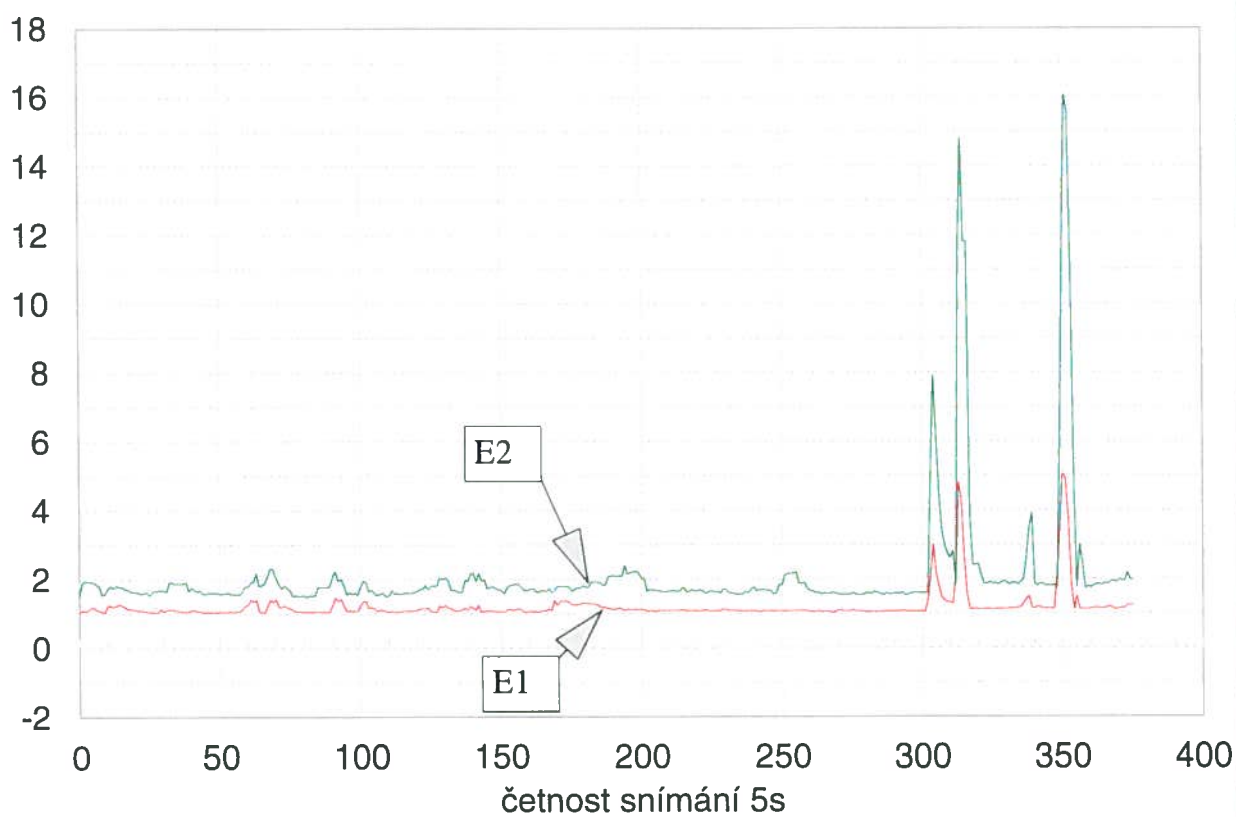
E
[mV/m]

Graf č. 3
Záznam údajů M2, 29.5.2018, AC
Intenzita elektrického pole v zemi
(přepočteno z naměřených hodnot na mV/m)
Lávka pro pěší přes kolejiště nádraží v Chebu



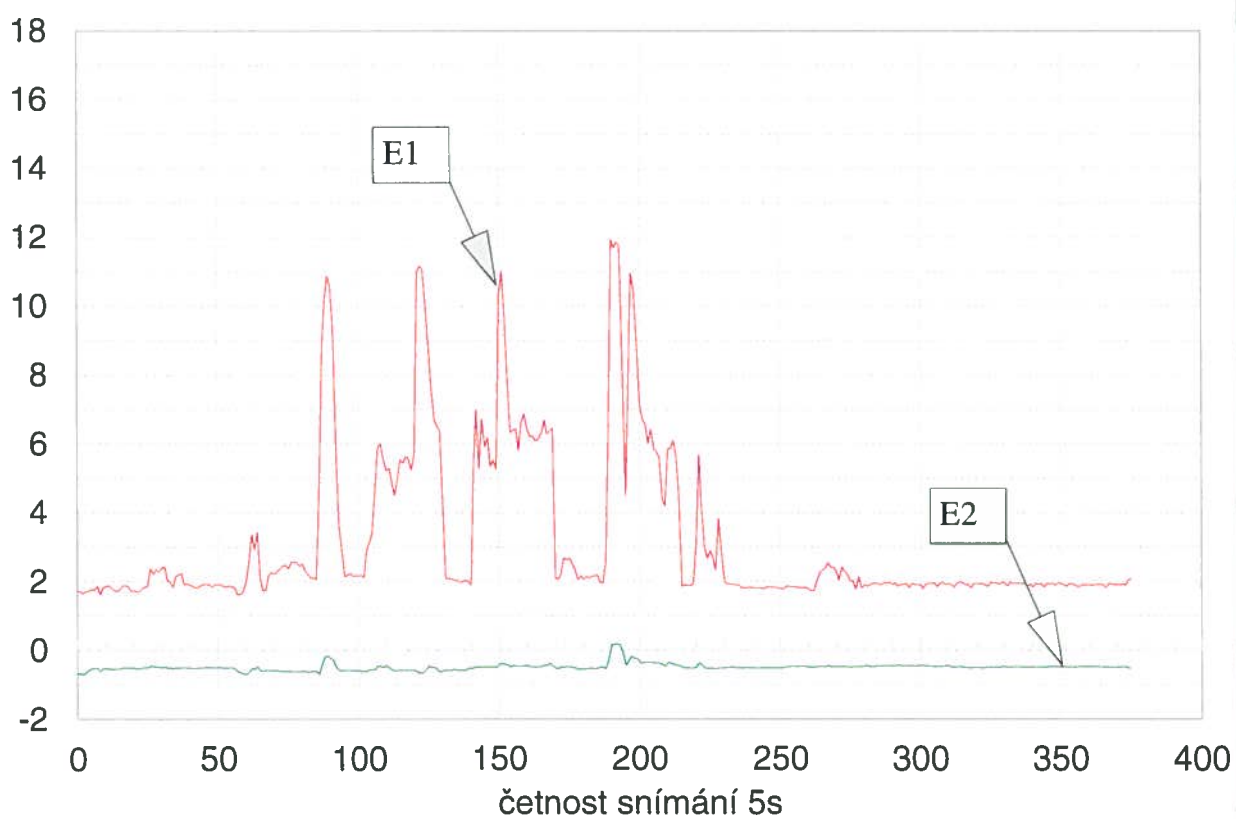
E
[mV/m]

Graf č. 4
Záznam údajů M3, 29.5.2018, AC
Intenzita elektrického pole v zemi
(přepočteno z naměřených hodnot na mV/m)
Lávka pro pěší přes kolejiště nádraží v Chebu



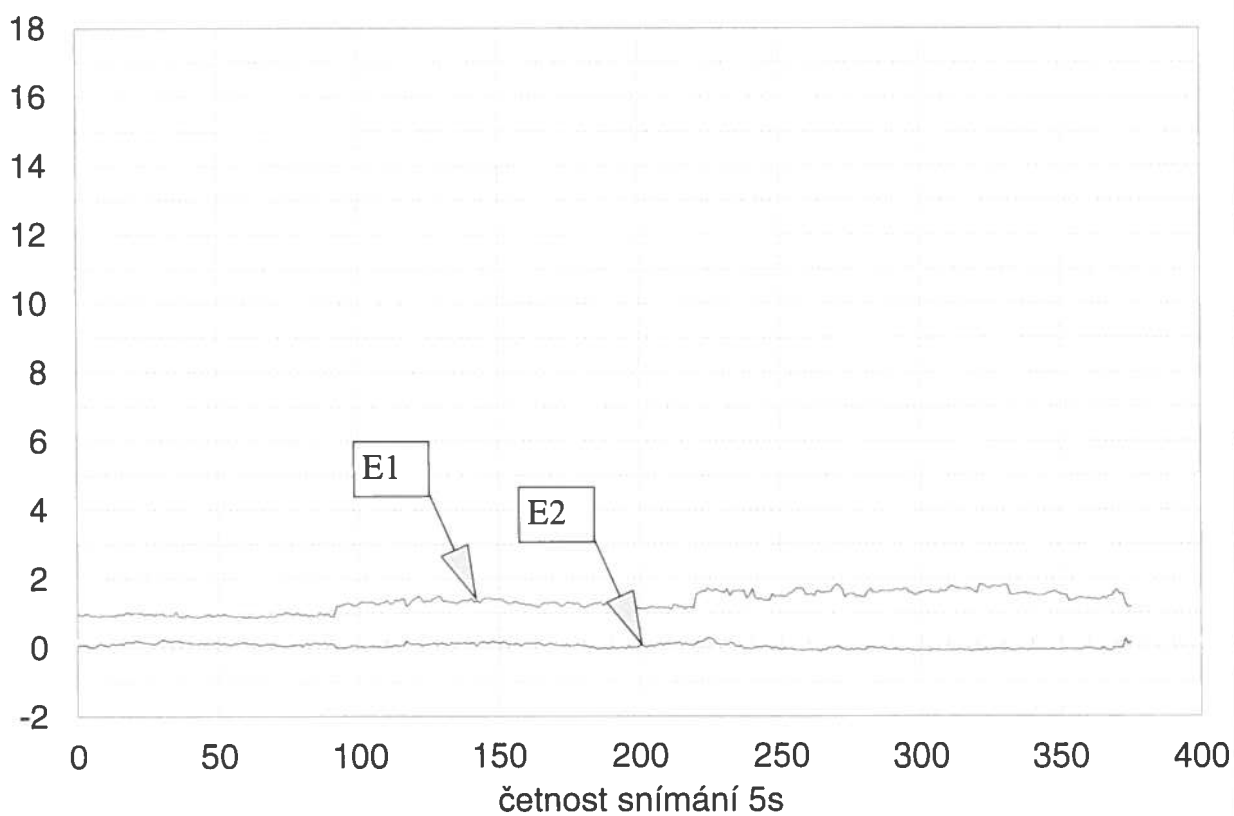
E
[mV/m]

Graf č. 5
Záznam údajů M4, 29.5.2018, AC
Intenzita elektrického pole v zemi
(přepočteno z naměřených hodnot na mV/m)
Lávka pro pěší přes kolejiště nádraží v Chebu

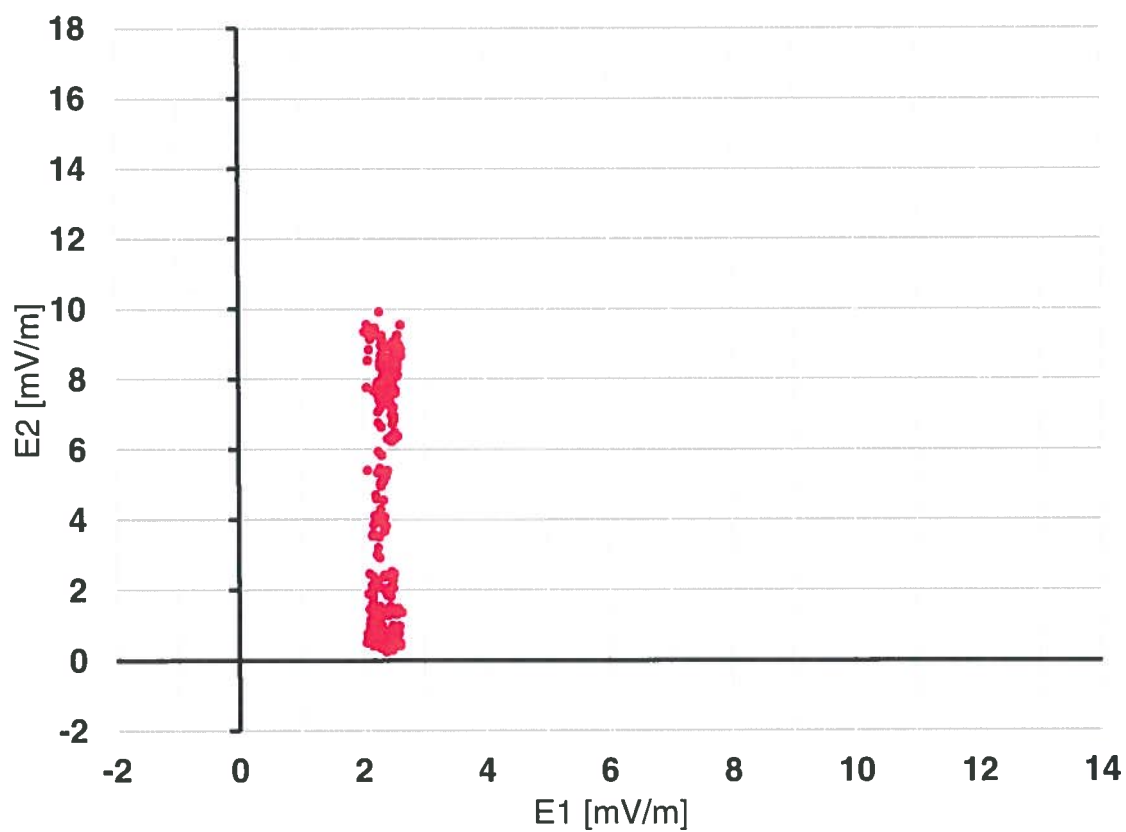


E
[mV/m]

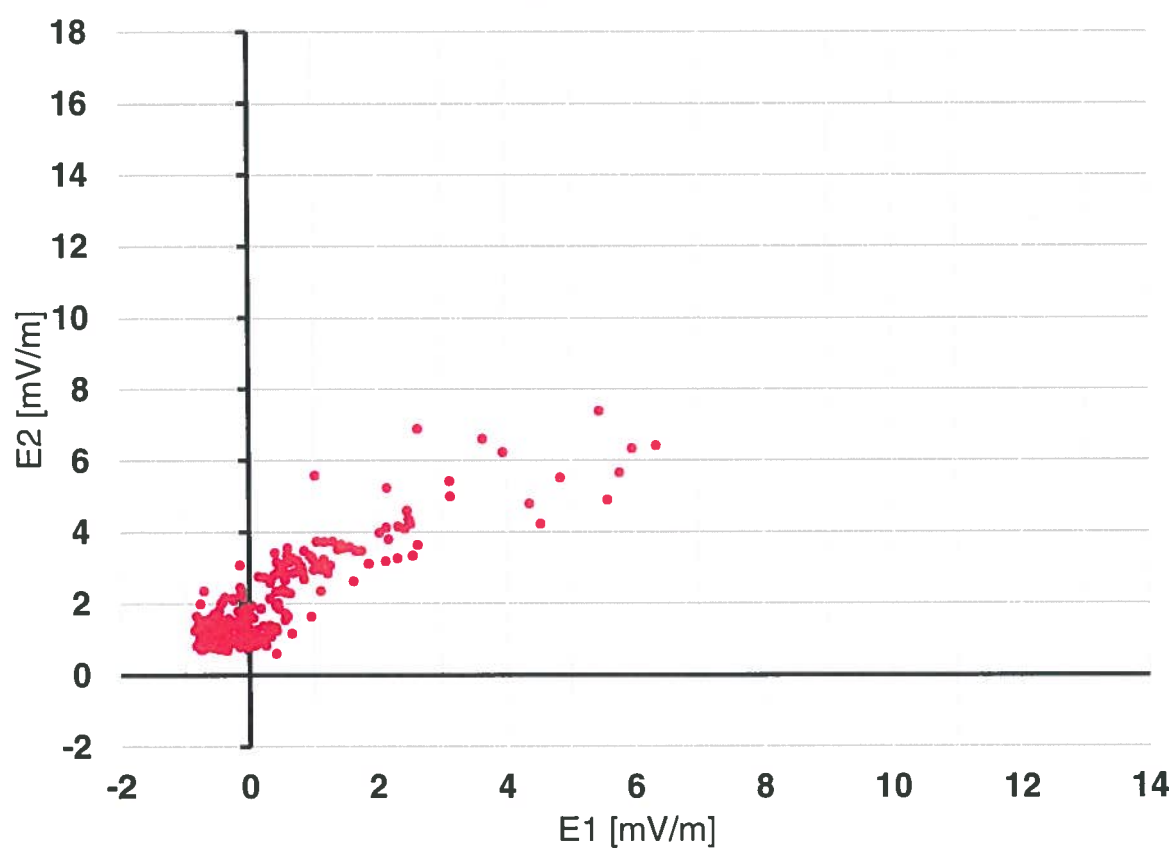
Graf č. 6
Záznam údajů M5, 29.5.2018, AC
Intenzita elektrického pole v zemi
(přepočteno z naměřených hodnot na mV/m)
Lávka pro pěší přes kolejiště nádraží v Chebu



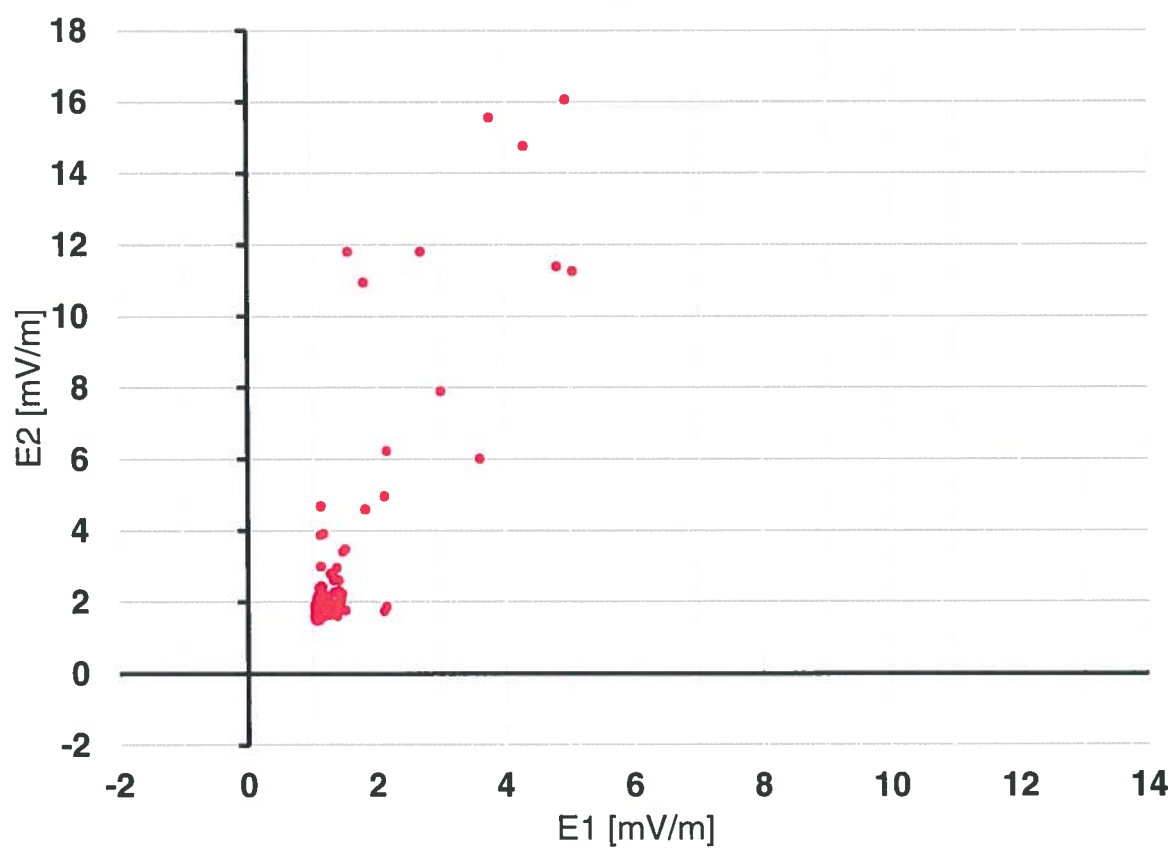
Graf č. 7
Histogram měřených hodnot v bodě M1, AC
Lávka pro pěší přes kolejiště nádraží v Chebu
29.5.2018



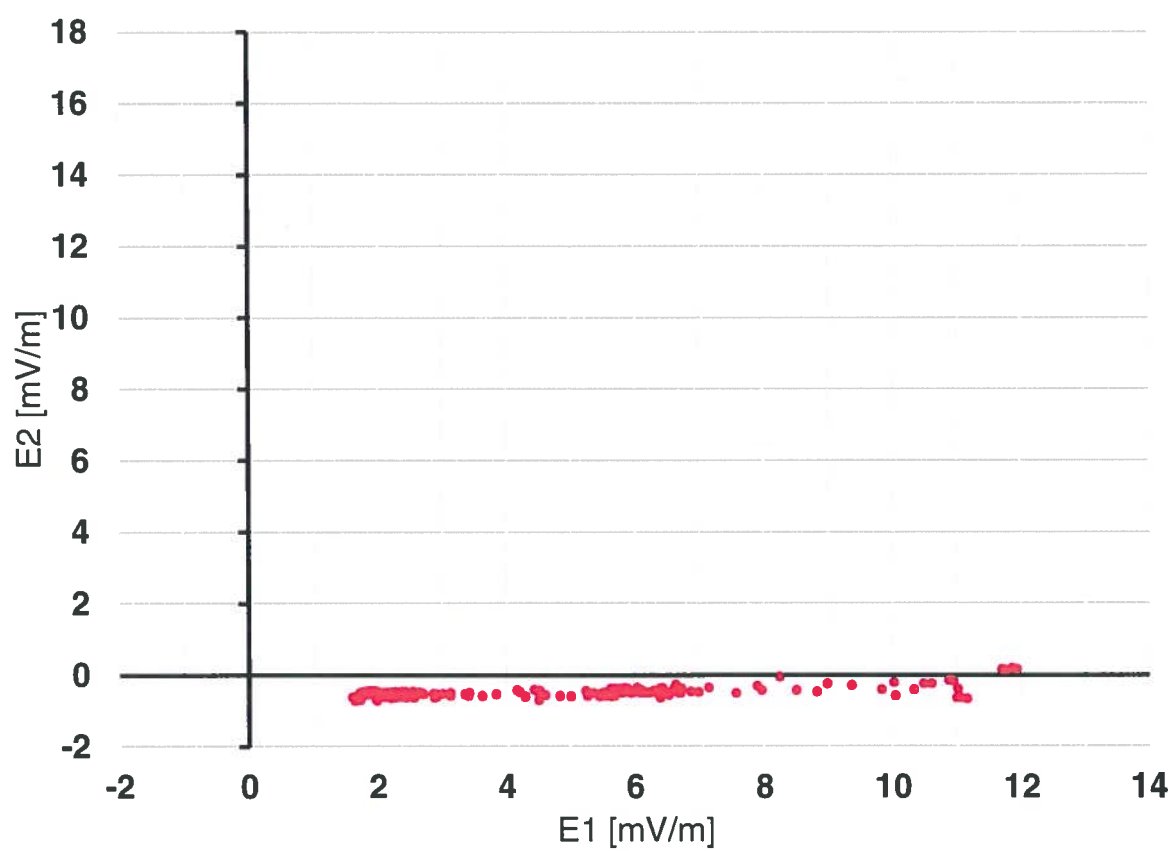
Graf č. 8
Histogram měřených hodnot v bodě M2, AC
Lávka pro pěší přes kolejiště nádraží v Chebu
29.5.2018



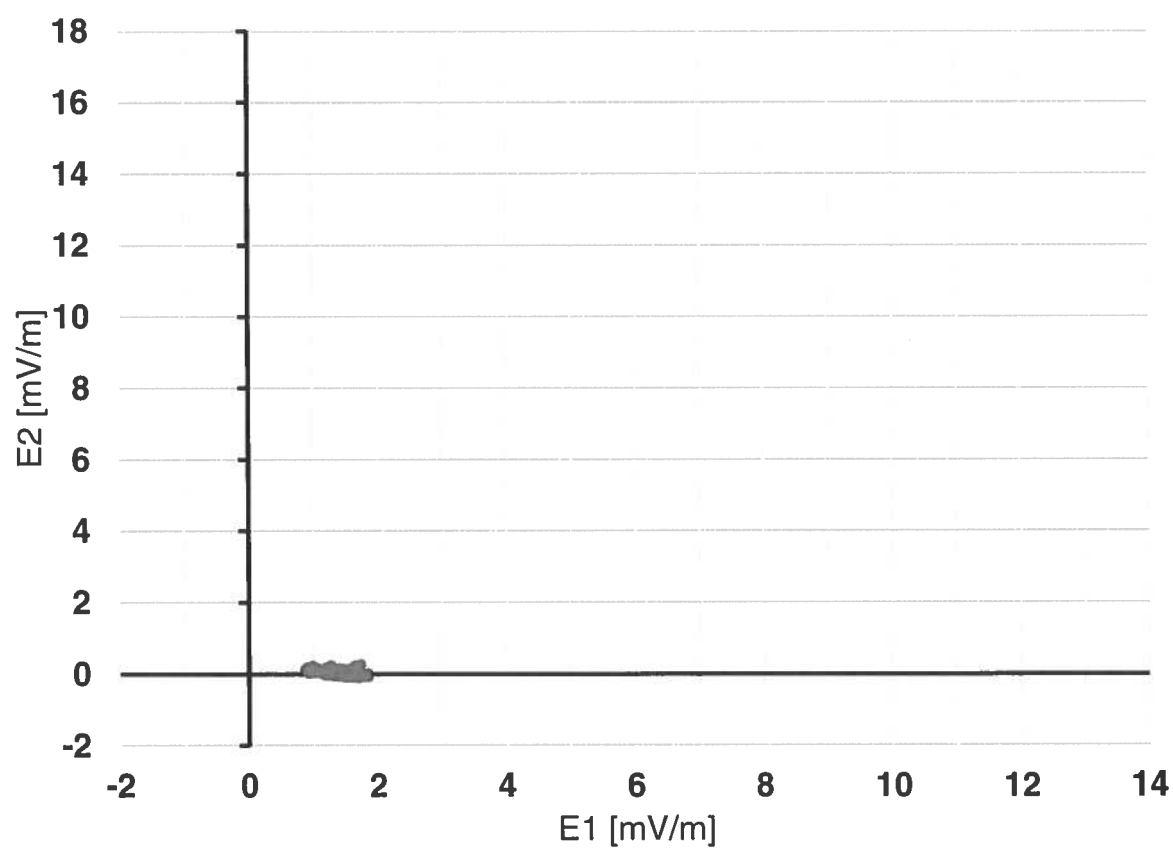
Graf č. 9
Histogram měřených hodnot v bodě M3, AC
Lávka pro pěší přes kolejiště nádraží v Chebu
29.5.2018



Graf č. 10
Histogram měřených hodnot v bodě M4, AC
Lávka pro pěší přes kolejiště nádraží v Chebu
29.5.2018



Graf č. 11
Histogram měřených hodnot v bodě M5, AC
Lávka pro pěší přes kolejiště nádraží v Chebu
29.5.2018



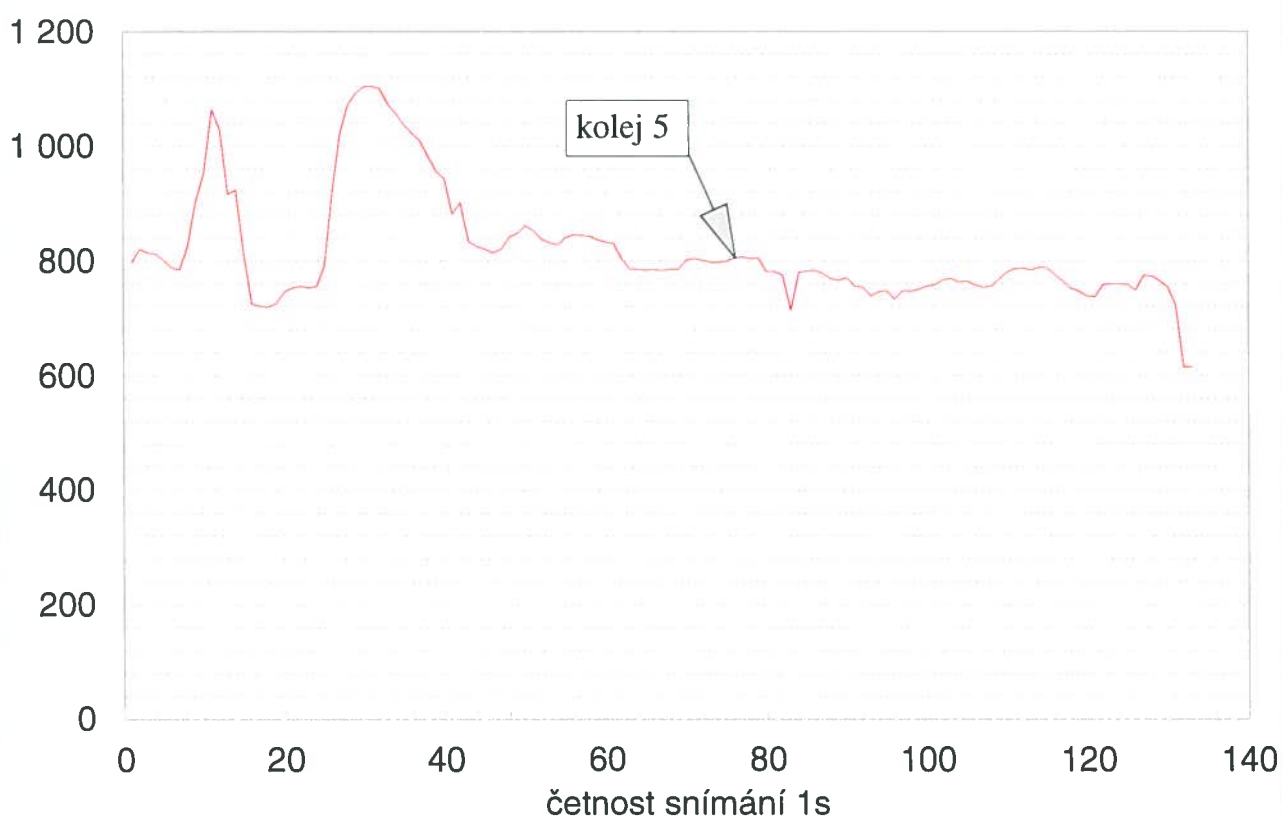
Graf č. 12
Průběh potenciálu vůči elektrodě Cu/CuSO_4

Lávka pro pěší přes kolejiště nádraží v Chebu

AC

29.5.2018

E_{Cu}
[mV]



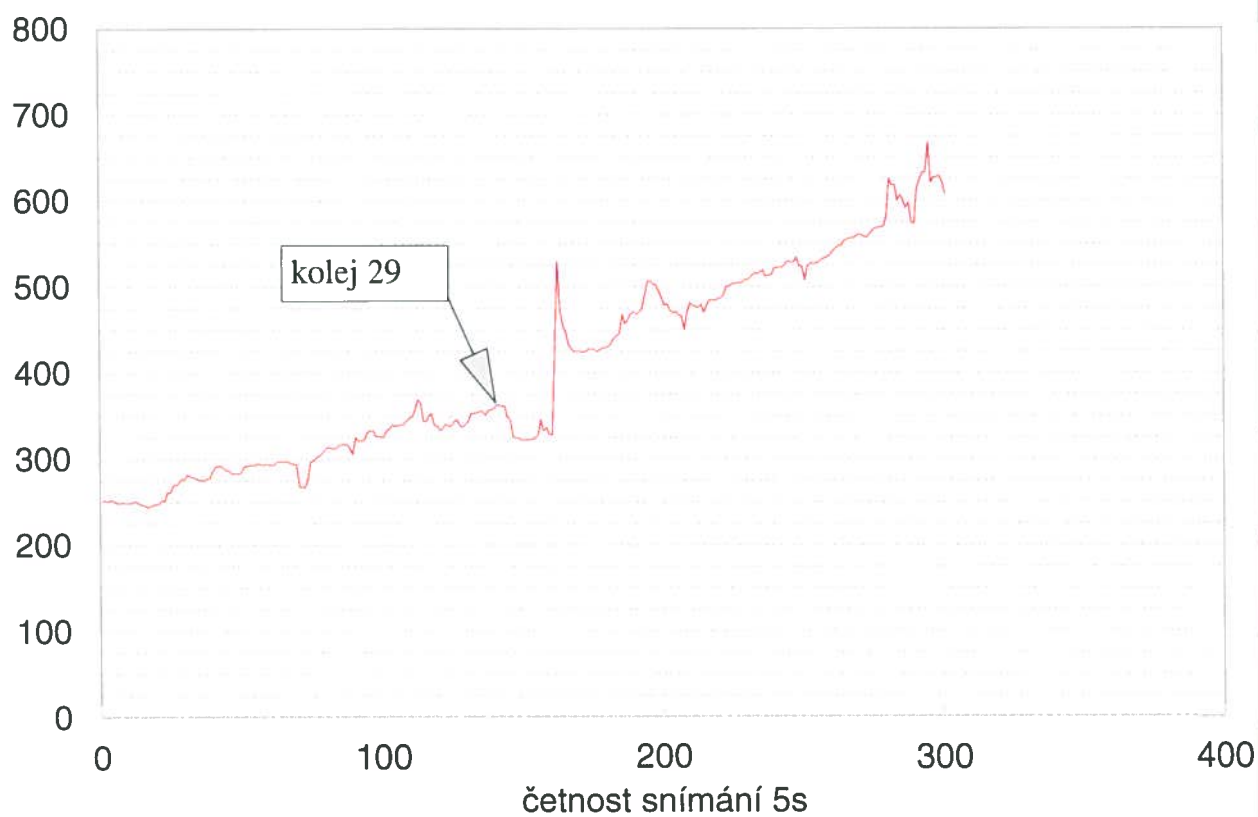
Graf č. 13
Průběh potenciálu vůči elektrodě Cu/CuSO₄

Lávka pro pěší přes kolejiště nádraží v Chebu

AC

29.5.2018

E_{Cu}
[mV]



Graf č. 14
Průběh potenciálu vůči elektrodě Cu/CuSO_4

Lávka pro pěší přes kolejiště nádraží v Chebu

AC

29.5.2018

E_{Cu}
[mV]

